

สำนักหอสมุด มหาวิทยาลัยบูรพา
ต.แสนสุข อ.เมือง จ.ชลบุรี 20131

รายงานโครงการวิจัย

ทุนอุดหนุนการวิจัยงบประมาณรายได้ (เงินอุดหนุนจากรัฐบาล)

ประจำปีงบประมาณ 2554 (ปีที่ 2)

เรื่อง

อัตราการติดเชื้อและผลของพราวอลลิสต่อการติดเชื้อ *Nosema ceranae* ของทางเดินอาหารส่วนกลางและต่อมไข่ไฟฟาริงค์ของผึ้งในประเทศไทย

Infection Ratio and Effect of propolis on the infectivity of *Nosema ceranae* of Midgut and Hypopharyngeal Glands of Honeybees in Thailand.

โดย

๐๖๐๑๔๓๓๔๙

๑๗ เม.ย. ๒๕๕๕

๑๖ ๐๐ ๘๔๗๑๓

เริ่มบริการ

๓๐๑๕๐๙

๒๘ พ.ค. ๒๕๕๕

ผู้ช่วยศาสตราจารย์ ดร. กันทิมา สุวรรณพงศ์

ภาควิชาชีววิทยา คณะวิทยาศาสตร์

มหาวิทยาลัยบูรพา

๒๕๕๔

อภินันทนาการ

กิตติกรรมประกาศ

โครงการวิจัยเรื่องนี้สำเร็จได้ด้วยดี โดยได้รับการสนับสนุนเงินทุนสนับสนุนงานวิจัยทุนอุดหนุนการวิจัยงบประมาณรายได้ (เงินอุดหนุนจากรัฐบาล) ประจำปีงบประมาณ ๒๕๕๔ ปีที่ 2 จากโครงการวิจัยต่อเนื่อง 3 ปี คณะผู้วิจัย ขอขอบคุณ ภาควิชาชีววิทยา คณะวิทยาศาสตร์ มหาวิทยาลัยบูรพา ที่ให้การสนับสนุนอุปกรณ์เครื่องมือต่าง ๆ ขอขอบคุณเจ้าหน้าที่จากสภาวิจัยแห่งชาติที่กรุณาให้คำแนะนำในการเสนอโครงการวิจัยเจ้าหน้าที่ฝ่ายวิจัย มหาวิทยาลัยบูรพาที่กรุณาให้ความสำคัญในการดำเนินการโครงการวิจัย ผู้วิจัยหวังเป็นอย่างยิ่งว่ารายงานฉบับนี้จะเป็นประโยชน์สำหรับผู้อ่าน หากมีข้อผิดพลาดประการใดคณะผู้วิจัยขอภัยมา ณ ที่นี่ด้วยและยินดีรับข้อเสนอแนะด้วยความยินดี

กันทิมา สุวรรณพงศ์
หัวหน้าโครงการ
สิงหาคม 2554

บทคัดย่อ

งานวิจัยนี้เป็นการศึกษาผลของ *Nosema ceranae* ที่มีต่อผึ้งหลังติดเชื้อและสารสกัดพroyolitisจากชันโรง *Trigona apicalis* ที่เก็บรวมมาจากจังหวัดจันทบุรี ต่อการติดเชื้อในเชื้ามะพิมาน เชื้อต่อตัว ร้อยละการติดเชื้อในเซลล์ อัตราการรอดชีวิต ปริมาณโปรตีนของต่อมไฮโปฟาริงค์ในผึ้งงานของผึ้งสองชนิดคือ ผึ้งโพรง (*Apis cerana*) และผึ้งมีม (*Apis florea*) โดยให้สารสกัดพroyolitistระดับความเข้มข้นต่างๆ คือ ร้อยละ 50 (50P) และ ร้อยละ 70 (70P) หลังจากป้อนเชื้อในเชื้ามะพิมานที่ละลายในสารละลายน้ำตาลซูโครักร้อยละ 50 (w/v) ด้วยเข้มข้น (Dose) 40,000 สปอร์ ปริมาตร 2 มิลลิลิตรต่อตัว นำมาเลี้ยงในตู้บ่มเชื้ออุณหภูมิ $33 \pm 2^{\circ}\text{C}$ ความชื้นสัมพัทธ์ 50 ± 5 พบร่วมกับการติดเชื้อร้อยละการติดเชื้อภายในเซลล์ อัตราการตายของผึ้งทั้งสองชนิดในกลุ่มทดลองที่ป้อนเชื้อในเชื้ามะพิมานไม่ได้รับสารสกัดพroyolitisc คือ กลุ่ม OP และกลุ่ม CE สูงกว่าเมื่อเทียบกับกลุ่มควบคุม CO CP และกลุ่มที่ป้อนเชื้อแต่ได้รับสารสกัดพroyolitisc คือ กลุ่ม 50P และ 70P แต่จากการศึกษาพบว่าระดับความเข้มข้นของพroyolitist ที่ร้อยละ 50 และ ร้อยละ 70 ให้ผลไม่แตกต่างกัน นอกจากนี้จากการศึกษามะพิมานโปรตีนจากต่อมไฮโปฟาริงค์ของผึ้งทั้งสองชนิดหลังจากป้อนเชื้อในเชื้ามะพิมานและให้สารสกัดพroyolitisc พบว่าเชื้อในเชื้ามะพิมานส่งผลให้ปริมาณโปรตีนจากต่อมไฮโปฟาริงค์ในผึ้งทั้งสองชนิดลดลงอย่างเห็นได้ชัดเมื่อเปรียบเทียบกับกลุ่มที่ไม่ได้รับเชื้อ (กลุ่มควบคุม CO CP) และกลุ่มที่ป้อนเชื้อแต่ได้รับสารสกัดพroyolitisc นอกจากนี้อัตราการติดเชื้อยังเพิ่มขึ้นตามระยะเวลาหลังได้รับเชื้อด้วย จากการศึกษานี้สามารถสรุปได้ว่าสารสกัดพroyolitisจากชันโรงชนิด *T. apicalis* ทำให้ลดอัตราการติดเชื้อร้อยละการติดเชื้อในเซลล์ทางเดินอาหารส่วนกลางและลดอัตราการตายของผึ้งทั้งสองชนิด นอกจากนี้ทำให้ปริมาณโปรตีนจากต่อมไฮโปฟาริงค์สูงขึ้นเมื่อเทียบกับกลุ่มที่ป้อนเชื้อแต่ไม่ได้รับสารสกัดพroyolitisc

สารบัญ

หน้า

กิตติกรรมประกาศ	๑
บทคัดย่อ.....	๑
สารบัญ.....	๔
สารบัญภาพ.....	๕-๙
สารบัญตาราง.....	๙
บทที่ 1 บทนำ.....	1
บทที่ 2 เอกสารและงานวิจัยที่เกี่ยวข้อง.....	4
บทที่ 3 วัสดุอุปกรณ์และขั้นตอนการวิจัย.....	12
บทที่ 4 ผลการศึกษา.....	24
บทที่ 5 สรุปและอภิปรายผลการศึกษา.....	58
บรรณานุกรม	60
ภาคผนวก	71

สารบัญภาพ

หัวที่	หน้า
4.1 แสดงอัตราการรอดชีวิตผึ้งมีมิ้น (<i>A. florea</i>) หลังจากทำการป้อนสปอร์ของเชื้อในซีมาที่สกัดมาจากผึ้งโพรง (<i>A. cerana</i>) ด้วยความเข้มข้นของสปอร์ 80,000 สปอร์ต่อตัว และให้สารละลายพrhoพอลิสที่ระดับความเข้มข้นต่างๆ.....	24
4.2 ค่าเฉลี่ยการรอดชีวิตคิดเป็นร้อยละ $\pm SD$ ของผึ้งมีมิ้น (<i>A. florea</i>) หลังจากทำการป้อนสปอร์ของเชื้อในซีมาที่สกัดมาจากผึ้งโพรง (<i>A. cerana</i>) ด้วยความเข้มข้นของสปอร์ 80,000 สปอร์ต่อตัวและให้สารละลายพrhoพอลิสที่ระดับความเข้มข้นต่างๆ.....	25
4.3 แสดงค่าเฉลี่ยการติดเชื้อคิดเป็นร้อยละ $\pm SD$ ของผึ้งมีมิ้น (<i>A. florea</i>) หลังจากทำการป้อนสปอร์ของเชื้อในซีมาที่สกัดมาจากผึ้งโพรง (<i>A. cerana</i>) ด้วยความเข้มข้นของสปอร์ 80,000 สปอร์ต่อตัว และให้สารละลายพrhoพอลิสที่ ระดับความเข้มข้นต่างๆ.....	26
4.4 ค่าเฉลี่ยจำนวนสปอร์ต่อตัวของผึ้งมีมิ้น (<i>A. florea</i>) หลังจากทำการป้อนสปอร์ของเชื้อในซีมาที่สกัดมาจากผึ้งโพรง (<i>A. cerana</i>) ด้วยความเข้มข้นของสปอร์ 80,000 สปอร์ต่อตัว และให้สารละลายพrhoพอลิสที่ ระดับความเข้มข้นต่างๆ.....	27
4.5 แสดงร้อยละของเซลล์ทางเดินอาหารส่วนกลางของผึ้งมีมิ้น (<i>A. florea</i>) หลังจากทำการป้อนสปอร์ของเชื้อในซีมา (วันที่ 14) ที่สกัดมาจากผึ้งโพรง (<i>A. cerana</i>) ด้วยความเข้มข้นของสปอร์ 80,000 สปอร์ต่อตัว และให้สารละลายพrhoพอลิสที่ ระดับความเข้มข้นต่างๆ.....	34
4.6 แสดงทางเดินอาหารส่วนกลางของผึ้งงานของผึ้งมีมิ้นกลุ่มควบคุมวันที่ 14 หลังจากการทดลอง 400x	35
4.7 แสดงทางเดินอาหารส่วนกลางของผึ้งงานของผึ้งมีมิ้นกลุ่มควบคุมวันที่ 14 หลังจากการทดลอง 1,000x	35
4.8 แสดงทางเดินอาหารส่วนกลางของผึ้งงานของผึ้งมีมิ้นกลุ่ม CP ในวันที่ 14 หลังจากการทดลอง 400x	36
4.9 แสดงทางเดินอาหารส่วนกลางของผึ้งงานของผึ้งมีมิ้นกลุ่ม CP ในวันที่ 14 หลังจากการทดลอง 1000x.....	36
4.10 แสดงทางเดินอาหารส่วนกลางของผึ้งงานของผึ้งมีมิ้นกลุ่ม CE ในวันที่ 14 หลังจากการทดลอง 400x.....	37

4.11	แสดงทางเดินอาหารส่วนกลางของผึ้งงานของผึ้งมีมิกลุ่ม CE ในวันที่ 14 หลังจาก การทดลอง 1000x.....	37
4.12	แสดงทางเดินอาหารส่วนกลางของผึ้งงานของผึ้งมีมิกลุ่ม OP ในวันที่ 14 หลังจาก การทดลอง 400x.....	38
4.13	แสดงทางเดินอาหารส่วนกลางของผึ้งงานของผึ้งมีมิกลุ่ม OP ในวันที่ 14 หลังจาก การทดลอง 400x.....	38
4.14	แสดงทางเดินอาหารส่วนกลางของผึ้งงานของผึ้งมีมิกลุ่ม OP ในวันที่ 14 หลังจาก การทดลอง 1000x.....	39
4.15	แสดงทางเดินอาหารส่วนกลางของผึ้งงานของผึ้งมีมิกลุ่ม OP ในวันที่ 14 หลังจาก การทดลอง 1000x.....	39
4.16	แสดงทางเดินอาหารส่วนกลางของผึ้งงานของผึ้งมีมิกลุ่ม 50P ในวันที่ 14 หลังจาก การทดลอง 400x.....	40
4.17	แสดงทางเดินอาหารส่วนกลางของผึ้งงานของผึ้งมีมิกลุ่ม 50P ในวันที่ 14 หลังจาก การทดลอง 1000x.....	40
4.18	แสดงทางเดินอาหารส่วนกลางของผึ้งงานของผึ้งมีมิกลุ่ม 70P ในวันที่ 14 หลังจาก การทดลอง 400x.....	41
4.19	แสดงทางเดินอาหารส่วนกลางของผึ้งงานของผึ้งมีมิกลุ่ม 70P ในวันที่ 14 หลังจาก การทดลอง 400x.....	41
4.20	ค่าเฉลี่ยความเข้มข้นโปรตีน (มิลลิกรัมต่อตัว) จากต่อมไฮโปฟาริงค์ของผึ้งมีมิ้นใน วันที่ 14 หลังจากทำการป้อนสปอร์ของเชื้อในชีมาที่สกัดมาจากผึ้งโพรงด้วยความ เข้มข้นของสปอร์ 80,000 สปอร์ต่อตัว และให้สารละลายพราวพอลิสที่ ระดับความ เข้มข้นต่างๆ.....	42
4.21	แสดงอัตราการรอดชีวิตผึ้งโพรง (<i>A. cerana</i>) หลังจากทำการป้อนสปอร์ของเชื้อใน ชีมาที่สกัดมาจากผึ้งโพรง (<i>A. cerana</i>) ด้วยความเข้มข้นของสปอร์ 80,000 สปอร์ ต่อตัว และให้ สารละลายพราวพอลิสที่ ระดับความเข้มข้นต่างๆ.....	43
4.22	แสดงค่าเฉลี่ยการรอดชีวิตคิดเป็นร้อยละ \pm SD ของผึ้งโพรง (<i>A. cerana</i>) หลังจาก ทำการป้อน สปอร์ของเชื้อในชีมาที่สกัดมาจากผึ้งโพรง (<i>A. cerana</i>) ด้วยความ เข้มข้นของสปอร์ 80,000 สปอร์ต่อตัว และให้ สารละลายพราวพอลิสที่ ระดับ ความเข้มข้นต่างๆ.....	44

4.23 แสดงค่าเฉลี่ยการติดเชื้อคิดเป็นร้อยละ $\pm SD$ ของผึ้งพวง (<i>A. cerana</i>) หลังจากทำการป้อนสปอร์ของเชื้อโนซีมาที่สกัดมาจากผึ้งพวง (<i>A. cerana</i>) ด้วยความเข้มข้นของสปอร์ 80,000 สปอร์ต่อตัว และให้สารละลายพรอพอลิสที่ระดับความเข้มข้นต่างๆ.....	45
4.24 ค่าเฉลี่ยจำนวนสปอร์ต่อตัวของผึ้งพวง (<i>A. cerana</i>) หลังจากทำการป้อนสปอร์ของเชื้อโนซีมาที่สกัดมาจากผึ้งพวง (<i>A. cerana</i>) ด้วยความเข้มข้นของสปอร์ 80,000 สปอร์ต่อตัว และให้สารละลายพรอพอลิสที่ระดับความเข้มข้นต่างๆ.....	46
4.25 ค่าเฉลี่ยความเข้มข้นโปรดีน (มิลลิกรัมต่อตัว) จากต่อมไฮโปฟาริงค์ของผึ้งพวงในวันที่ 6 10 และ 14 หลังจากทำการป้อนสปอร์ของเชื้อโนซีมาที่สกัดมาจากผึ้งพวง (<i>A. cerana</i>) ด้วยความเข้มข้นของสปอร์ 80,000 สปอร์ต่อตัว และให้สารละลายพรอพอลิสที่ระดับความเข้มข้นต่างๆ.....	54
5.1 แสดงอัตราการรอดชีวิตผึ้งมีมและผึ้งพวง หลังจากการป้อนสปอร์ของเชื้อโนซีมาที่สกัดมาจากผึ้งพวง ด้วยความเข้มข้นของสปอร์ 80,000 สปอร์ต่อตัว.....	59

สารบัญตาราง

ตารางที่	หน้า
4.1 ตารางแสดงจำนวนสปอร์ตอtotัวของผึ้งมีมในกลุ่ม CO.....	28
4.2 ตารางแสดงจำนวนสปอร์ตอtotัวของผึ้งมีมในกลุ่ม CP.....	29
4.3 ตารางแสดงจำนวนสปอร์ตอtotัวของผึ้งมีมในกลุ่ม CE.....	30
4.4 ตารางแสดงจำนวนสปอร์ตอtotัวของผึ้งมีมในกลุ่ม OP.....	31
4.5 ตารางแสดงจำนวนสปอร์ตอtotัวของผึ้งมีมในกลุ่ม 50P.....	32
4.6 ตารางแสดงจำนวนสปอร์ตอtotัวของผึ้งมีมในกลุ่ม 70P.....	33
4.7 ตารางแสดงจำนวนสปอร์ตอtotัวของผึ้งโพรงในกลุ่ม CO.....	47
4.8 ตารางแสดงจำนวนสปอร์ตอtotัวของผึ้งโพรงในกลุ่ม CP.....	48
4.9 ตารางแสดงจำนวนสปอร์ตอtotัวของผึ้งโพรงในกลุ่ม CE.....	49
4.10 ตารางแสดงจำนวนสปอร์ตอtotัวของผึ้งโพรงในกลุ่ม OP.....	50
4.11 ตารางแสดงจำนวนสปอร์ตอtotัวของผึ้งโพรงในกลุ่ม 50P.....	51
4.12 ตารางแสดงจำนวนสปอร์ตอtotัวของผึ้งโพรงในกลุ่ม 70P.....	52
5.1 ผลของ <i>N. ceranae</i> ต่อผึ้งมีม <i>A. florea</i> วรรณะผึ้งงาน.....	58
5.2 ผลของ <i>N. ceranae</i> ต่อผึ้งโพรง <i>A. cerana</i> วรรณะผึ้งงาน.....	59

บทที่ 1

บทนำ (Introduction)

1.1 ความสำคัญและที่มาของปัญหาที่ทำการวิจัย

Nosema apis และ *N. ceranae* เป็นปรสิตภายในเซลล์ที่ก่อความเสียหายอย่างรุนแรง ในผึ้งงานระยะตัวเต็มวัยที่พบการระบาดอยู่ทั่วโลก โดยมีรายงานว่าก่อให้เกิดความเสียหายอย่างเห็นได้ชัด กับผึ้งที่มีการติดเชื้อ โดยทำให้ผึ้งห้องเสียอย่างรุนแรง มีอายุสั้นลง ผลงานต่อพุทธิกรรมต่างๆ ภายในรังผึ้ง เช่น การหากาหารลดลง การเลี้ยงดูตัวอ่อนลดลงเนื่องจากผลิตนมผึ้ง (royal jelly) ได้น้อยลง ตลอดจนการวางไข่ของนางพญา ซึ่งลดจำนวนหรือหยุดวางไข่ เป็นต้น ซึ่งลักษณะต่าง ๆ เหล่านี้เป็นสาเหตุทำให้จำนวนประชากรของผึ้งภายในรังลดลง ผลงานให้ได้ผลิตภัณฑ์ผึ้ง (bee products) ลดลง และที่สำคัญทำให้ประชากรของเมล็ดที่ทำหน้าที่ถ่ายละอองเกสร (pollinators) ลดจำนวนลงด้วย ผลกระทบตามมาคือ พืชผลทางการเกษตรที่ต้องการผึ้งเป็นแมลงถ่ายละอองเกสรให้ผลผลิตต่ำลง นอกจากนี้ ยังไม่มีรายงานการศึกษาการระดับสากลถึงแพร์รับบาดของเชื้อสองชนิดนี้ ในผึ้งชนิดต่าง ๆ ในประเทศไทย ดังนั้น การศึกษาสำรวจการแพร์รับบาด การแยกชนิดสายพันธุ์และการติดเชื้อในเชิงแต่ละชนิดที่มีในประเทศไทย จะเป็นข้อมูลที่สำคัญ ต่ออุตสาหกรรมเลี้ยงผึ้ง การอนุรักษ์ผึ้งพันธุ์พื้นเมืองที่นับวันลดน้อยลง เนื่องจากปัญหาการใช้สารเคมีตัดถอน การนำไปประยุกต์ใช้เป็นข้อมูลโรคของเมล็ดกลุ่มนี้ ๆ ที่ใกล้เคียง ผึ้ง เช่นผีเสื้อหนอนไหมที่เลี้ยงเป็นอุตสาหกรรมและเมล็ดอื่น ๆ ที่มีรายงานการระบาดของเชื้อ *Nosema* นอกจากนี้โรคชนิดนี้ยังเป็นโรคที่นักวิทยาศาสตร์ทั่วโลกมีความตื่นตัวและให้ความสำคัญในการศึกษาวิจัย กียงกับ *Nosema* หากเนื่องจาก เชื่อกันว่าเชื้อชนิดนี้ อาจเป็นสาเหตุหนึ่งที่ทำให้เกิด CCD (colony collapse disorder) ซึ่งเป็นปรากฏการณ์ที่ประชากรของผึ้งหายไปจากรัง จำนวนมาก ทำให้ประชากรภายในรังลดลงอย่างกะทันหัน โดยไม่ทราบสาเหตุ ประกอบกับข้อมูลรายงานการติดเชื้อข้ามสายพันธุ์ผึ้ง (*Apis mellifera*) ระหว่างเชื้อ *Nosema apis* ซึ่งเดิมพบในผึ้งพันธุ์ สามารถเข้าไประบาดในผึ้งพวง (*A. cerana*) และในทางกลับกัน *N. ceranae* ซึ่งเดิมพบเป็นเชื้อที่ระบาดในผึ้งพวง สามารถเข้าไประบาดในเซลล์ของผึ้งพันธุ์ได้เข่นกันและก่อให้เกิดความเสียหายกับเซลล์ และประชากรโดยรวมของผึ้งภายในรังมากกว่า *N. apis* อายุชั้ดเจน ทำให้นักวิจัยผึ้งทั่วโลก รวมทั้งเกษตรกรผู้เลี้ยงผึ้งมีความกังวล กียงกับการระบาดของเชื้อ *N. ceranae* ที่อาจทำให้ประชากรของผึ้งพันธุ์เสียหายจำนวนมากหรืออาจส่งผลให้ประชากรของผึ้งชนิดนี้ถังกล่าวในฟาร์มหายไปจนไม่สามารถนำไปใช้ในถ่ายละอองเกสรในส่วนผลไม้หรือพืช ที่ต้องการผึ้งชนิดนี้ถ่ายละอองเกสรได้ ประกอบกับผึ้งพันธุ์เป็นผึ้งที่ใช้เลี้ยงในอุตสาหกรรมการเลี้ยงผึ้งทั่วโลก ดังนั้นการศึกษาวิจัยกียงกับโรคที่เกิดจากเชื้อ *Nosema* จึงเป็นที่สนใจศึกษาแก้ไขมากทั่วโลก

นอกจากนี้มีรายงานเกี่ยวกับผึ้งที่ได้รับเชื้อ *Nosema* จะทำให้การเลี้ยงดูตัวอ่อนของผึ้งพยาบาลลดลงเนื่องจากผลิตนมผึ้งได้ลดลงทั้งนี้เนื่องจากสปอร์ของโนเรมา เข้าไปทำลายเซลล์ในหน่วยสร้างสารของต่อมไฮโพฟาริงค์ (hypopharyngeal glands) ที่มีหน้าที่หลักในการผลิตนมผึ้ง (royal jelly) ซึ่งเป็นอาหารหลักของตัวอ่อนของผึ้งงานอายุ 1-3 วัน และผึ้งนางพญาตลดอายุขัย ดังนั้นผู้วิจัยจึงสนใจที่จะศึกษาต่อมไฮโพฟาริงค์ เมื่อมีการติดเชื้อชนิดนี้ว่ามีอัตราการติดเชื้อเป็นอย่างไร และส่งผลต่อการเจริญของต่อมอย่างไร มีผลต่อปริมาณโปรตีนที่ผลิตออกมายังส่วนผสมของนมผึ้งอย่างไร ดังนั้นถ้าหากการติดเชื้อของผึ้งงานกลุ่มพยาบาลแล้วส่งผลให้มีความเสียหายต่อตัวต่อม ตลอดจนทำให้ความสามารถในการผลิตนมผึ้งลดลงหรือต้องอยู่คุณภาพลงจะส่งผลเสียหายต่อคุณภาพของอาหารของตัวอ่อนซึ่งมีผลต่อการเจริญและพัฒนาการของตัวอ่อนเพื่อพัฒนาต่อเพื่อเจริญไปเป็นตัวเด็กแต่ตัวเต็มวัย อาจทำให้ได้ผึ้งงานที่ไม่แข็งแรงไม่มีคุณภาพ ส่งผลเสียหายต่อกิจกรรมการหาอาหาร ป้องกันรังหรือกิจกรรมอื่น ๆ ภายในรัง นอกจากนี้ที่สำคัญคืออาจส่งผลให้อาหารที่นำไปป้อนนางพญาคุณภาพต่ำ ทำให้นางพญาวางแผนไข่ลดลง หรืออาจส่งผลต่อการผลิต queen pheromone ออกมายังส่วนต่อประสานคุณภาพต่ำ ทำให้ตัวเด็กต้องมีการติดเชื้อ จะทำให้มีผลเสียหายรุนแรงเกิดขึ้นในรังผึ้งและทำให้อุดตันกระบวนการผลิตนมผึ้งเพื่อจำหน่ายมีความเสียหายได้เนื่องจากผึ้งพยาบาลไม่สามารถผลิตหรือผลิตได้น้อยหรือผลิตโปรตีนออกมาน้อยมีผลต่อกุณภาพของนมผึ้งด้วย ดังนั้นการศึกษาวิจัยการติดเชื้อและผลของเชื้อต่อตัวต่อมชนิดนี้จึงมีความสำคัญเป็นอย่างมาก

การศึกษาการติดเชื้อโนเรมาที่ทางเดินอาหารส่วนกลาง (midgut) ของเชื้อ *N. ceranae* ในผึ้งชนิดต่าง ๆ ในประเทศไทย มีความสำคัญมาก เช่นเดียวกัน เนื่องจากมีรายงานการติดเชื้อในทางเดินอาหารส่วนกลางในผึ้งพันธุ์ โดยผึ้งที่ได้รับเชื้อปริมาณมาก ๆ จะเกิดอาการท้องร่วงและตายในที่สุด มีกลิ่นเน่าเหม็น เนื่องจากเมื่อเชื้อเข้าสู่ร่างกายจะเข้าไปเจริญและแพร่พันธุ์ในทางเดินอาหารส่วนกลาง ทำให้เซลล์เยื่อบุทางเดินอาหารส่วนกลางเสียหาย ไม่สามารถผลิตเอนไซม์ และย่อยอาหารได้ ผลทำให้อาหารที่ผึ้งกินเข้าไปไม่สามารถย่อยได้ โดยเฉพาะอาหารพวกโปรตีนที่ผึ้งได้จากการกินเกสรของดอกไม้ (pollen grains) นอกจากนี้พฤติกรรมการหาอาหารของผึ้งเป็นปัจจัยหนึ่งที่มีความสำคัญต่อการแพร่กระจายและรับเชื้อ *Nosema* เนื่องจากผึ้งที่อาศัยอยู่ในบริเวณใกล้กันที่มีความหลากหลายทางชีวภาพ เช่น ผึ้งมักมีการใช้แหล่งอาหารเหล่านี้ร่วมกัน ดังนั้นผึ้งงานหาอาหารที่มีเชื้อ *Nosema* มีโอกาสปล่อยเชื้อไว้ตามแหล่งอาหารต่าง ๆ ขณะหาอาหาร ทำให้สปอร์ของเชื้อสามารถแพร่ไปยังผึ้งจากรังอื่น ๆ หรือผึ้งชนิดอื่น ๆ ที่มาหาอาหารในดอกไม้ดอกเดียวกันหรือแหล่งอาหารอื่นที่ใช้ร่วมกันได้ การศึกษาวิจัยครั้งนี้ต้องการศึกษาอัตราการติดเชื้อโนเรมาของผึ้งชนิดที่มีในประเทศไทยทั้ง 5 ชนิดเมื่อให้เชื้อในระดับที่กำหนดระดับต่าง ๆ ว่า มีอัตราการติดเชื้อเท่าไร เริ่มติดเชื้อเมื่อไหร่ (โดยตรวจนับและศึกษาตำแหน่งของสปอร์ภายในเซลล์เยื่อบุทางเดินอาหารส่วนกลาง) ระยะเวลาที่เมื่อผึ้งได้รับเชื้อจนกระทั่งผึ้งตาย และเปรียบเทียบความแตกต่างระหว่างอัตราการติดเชื้อ *N. ceranae* ในผึ้งแต่ละชนิดในประเทศไทยเมื่อทดสอบด้วยการให้พrhoพอลิส

(propolis) แตกต่างกันหรือไม่ ทั้งนี้เพื่อศึกษาความสามารถในการรับสาร ความรุนแรงของเชื้อชนิดนี้ เพื่อนำไปสู่การทำนายความเป็นไปได้ของการรับสารไปยังแมลงถ่ายละอองเกรษชนิดอื่น ๆ ที่หากาหารในพีชชนิดเดียวกันกับผึ้ง รวมทั้งสัตว์กลุ่มอื่นที่มีโอกาสสัมผัสกับเชื้อด้วยวิธีการต่าง ๆ ตามกลไกทางธรรมชาติ หรืออื่น ๆ ซึ่งจะเป็นประโยชน์โดยรวมต่อการควบคุม กำจัด หรือประยุกต์นำมาใช้ในการศึกษาวิจัยด้านอื่น ๆ ของเชื้อชนิดนี้ต่อไป

จะเห็นได้ว่าการรับสารของเชื้อ *Nosema* นี้ส่งผลให้เกิดความเสียหายหลักด้าน เช่น ทางเศรษฐกิจ อย่างเห็นได้ชัดเนื่องจากเป็นสาเหตุหลักในการทำให้ประชากรผึ้งลดจำนวนลง และไม่มีคุณภาพ นอกจากรายได้จากการเป็นสาเหตุหลักในการทำให้ประชากรผึ้งลดจำนวนลง ดังนั้น ข้อมูลที่ได้จากการศึกษาครั้งนี้ จะเป็นประโยชน์ต่อผู้เลี้ยงผึ้งและนักวิทยาศาสตร์ที่ทำงานวิจัยเกี่ยวกับผึ้ง และศึกษาวิทยาของผึ้ง เพื่อเป็นข้อมูลในการศึกษาและหาวิธีการป้องกันกำจัดที่เหมาะสมต่อไป

1.2 วัตถุประสงค์หลักของแผนงานวิจัย

- 1.2.1 ศึกษาอัตราการติดเชื้อ *Nosema ceranae* ของเซลล์เยื่อบุทางเดินอาหารส่วนกลาง (midgut) และต่อมไฮโปฟาริงค์ (hypopharyngeal glands) ของผึ้งงานของผึ้ง 5 ชนิดในประเทศไทยคือ ผึ้งมีมีลีก (*Apis andreniformis*) ผึ้งโพรง (*A. cerana*) ผึ้งหลวง (*A. dorsata*) ผึ้งมีมี (*A. florea*) และผึ้งพันธุ์ (*A. mellifera*) ความเข้มข้นของสปอร์ระดับต่าง ๆ
- 1.2.2 ศึกษาผลของเชื้อ *N. ceranae* ต่ออัตราการตาย (mortality) ของผึ้ง และการเปลี่ยนแปลง โครงสร้างของเซลล์ในเซลล์เยื่อบุทางเดินอาหารส่วนกลางและต่อมไฮโปฟาริงค์ ของผึ้ง 5 ชนิดในประเทศไทย
- 1.2.3 ศึกษาผลของพรอพอลิส (propolis) ต่ออัตราการตายของผึ้งที่ได้รับเชื้อ *N. ceranae* อัตรา การติดเชื้อและการเปลี่ยนแปลงโครงสร้างของเซลล์เยื่อบุทางเดินอาหารส่วนกลางและ ต่อมไฮโปฟาริงค์ของผึ้ง 5 ชนิดในประเทศไทย

บทที่ 2

บทสอบสวนเอกสารและงานที่เกี่ยวข้อง (Literature reviews)

2.1 เชื้อโนเซมา (*Nosema*)

Nosema จัดเป็น Microsporidia ซึ่งถือเป็นปรสิตภายในเซลล์กลุ่มใหญ่ที่แพร่กระจายอยู่ในธรรมชาติและพบได้ทั่วโลก (Matheson, 1996) ซึ่งปัจจุบันมีมากกว่า 150 ชนิด (species) เป็นเชื้อที่ก่อให้เกิดโรคในสัตว์ที่ไม่มีกระดูกสันหลัง (invertebrates) รวมถึงแมลง (insects) อย่างน้อย 12 อันดับ (orders) มักจะพบบ่อยในแมลงที่อยู่ในอันดับ Lepidoptera และ Hymenoptera (Higes, 2007a) โดยก่อให้เกิดโรคที่มีชื่อว่า Nosema disease (Bailey and Ball, 1991; Fries, 1989) เชื้อชนิดนี้จะทำให้ระบบทางเดินอาหารส่วนกลางของเจ้าบ้าน (hosts) เสียหาย ทำให้เกิดอาการท้องร่วงและ เชื้อมีความสามารถต้านทานต่อระบบภูมิคุ้มกันของตัวเจ้าบ้านที่เข้าไปอาศัยอยู่ (de Graaf et al., 1994; Higes et al., 2006) สำหรับ *Nosema* ที่ก่อให้เกิดโรคในผึ้ง (honeybees) ที่รายงานมี 2 ชนิด คือ *N. apis* (Zander, 1909) และ *N. ceranae* (Fries et al., 1996) โดย *N. apis* เป็นปรสิตในผึ้งพันธุ์ (*Apis mellifera*) ซึ่งเป็นผึ้งพื้นเมืองของยุโรปปัจจุบันถูกนำมาเลี้ยงเป็นอุดสาಹกรรมทั่วโลก ถูกค้นพบครั้งแรกโดย Zander ในปี 1909 ในผึ้งพันธุ์ โดยเชื้อชนิดนี้จะติดเชื้อในเนื้อเยื่อบุผิวของทางเดินอาหารส่วนกลาง (midgut) ของผึ้งงานตัวเต็มวัยเป็นสาเหตุทำให้ระบบย่อยอาหารผิดปกติ อาหารไม่ย่อยและเกิดอาการท้องเสียทำให้ผึ้งมีอายุสั้นและส่งผลให้จำนวนประชากรรายในรังลดลงอย่างรวดเร็ว (Anderson and Giacon, 1992; Hassanein, 1953; Rinderer and Elliott, 1977; Higes et al., 2007a) ในอดีตพบโรคโนเซมาเฉพาะในยุโรปและเกิดจากเชื้อ *N. apis* เพ่านั้น (Chen et al., 2008; Ellis and Munn, 2005) ต่อมาได้มีผู้ศึกษาพบว่าโรคโนเซมา มีการระบาดทั่วในภูมิภาคเอเชียและยุโรป โดยพบ *Nosema* ในผึ้งพวง (*A. cerana*) ซึ่งเกิดจากเชื้อ *N. ceranae* ถูกค้นพบครั้งแรกโดย Fries และคณะ ในปี 1996 (Fries et al., 1996; Higes et al., 2006) ซึ่งเชื้อทั้งสองชนิดมีความแตกต่างกันหลายประการ เช่น SSUrRNA sequences (โดยใช้เทคนิค PCR เพื่อแยกความแตกต่างของ 16S rRNA ของทั้งสองชนิด) (Fries et al., 1996; Higes et al., 2006; Huang et al., 2007; Williams et al., 2007) ขนาดของสปอร์ ซึ่งพบว่าสปอร์ของ *N. ceranae* สั้นกว่าสปอร์ของ *N. apis* (Williams et al., 2007) จำนวน polar filament coils ของ *N. ceranae* มีจำนวน 20-23 filaments ในขณะที่ *N. apis* มีจำนวน 30-44 filaments (Fries, 1989) โดยเชื้อชนิดนี้เข้าไปติดและทำความเสียหายบริเวณกระเพาะอาหาร (ventriculus) ของผึ้งพวง ทำให้บริเวณดังกล่าวมีลักษณะสีขาวขุ่นและบวมโป่งออก (Fries et al., 1996) นอกจากนี้มีรายงานการแพร่กระจายของเชื้อ *N. ceranae* จากผึ้งพวง (*A. cerana*) ผู้ผึ้งพันธุ์ (*A. mellifera*) ที่อยู่ในเอเชีย ยุโรป อเมริกา

เหนือ อเมริกา拉丁 และอเมริกาใต้ (Higes et al., 2006; Huang et al., 2007; Klee et al., 2007; Martin et al., 2007; Williams et al., 2008)

2.2 วงชีวิตของ *Nosema* (Life cycle of *Nosema*) และการแพร่เชื้อ (Spread)

การติดต่อของโรคหรือการติดเชื้อ เกิดได้โดยการป้อนอาหารโดยส่งต่อจากปากของผึ้งงานตัวหนึ่งสู่ผึ้งอีกตัวหนึ่งที่เรียกว่า trophallaxis (Webster, 1993) รวมทั้งการนำเอาส่วนของรังที่มีสปอร์ของเชื้อปนอยู่เข้าปาก (ingestion of infected comb) หรือมาจากการแหล่งน้ำที่ผึ้งนำเข้ามาให้ในรัง (Bailey and Ball, 1991) เมื่อสปอร์ของเชื้อ *Nosema* เข้าสู่ร่างกายทางปาก สปอร์จะเริ่มพัฒนาภายใน 30 นาที ในกระเพาะอาหาร (ventriculus) และทางเดินอาหารส่วนกลาง (mid gut) โดยเฉพาะที่บริเวณเยื่อบุผิว (epithelium) ของ ventricular fold โดยการยื่น polar tube ที่เป็นตัวนำเอา sporoplasm ของเชื้อ เข้าไปในเซลล์เยื่อบุผิวของทางเดินอาหารส่วนกลาง โดยเชื้อจะเพิ่มจำนวนอย่างรวดเร็ว ภายในเวลา 6-10 วัน (Bailey and Ball, 1991) สปอร์ของโนเสมาสามารถเจาะผ่านหلامระหว่างเซลล์ไปยังเซลล์ข้างเคียงทำให้เซลล์ปกติดเชื้อได้ (Bailey and Ball, 1991; de Graaf et al., 1994; Goodman, 2007) เชื้อที่แพร่พันธุ์ และเพิ่มจำนวนในร่างกายจะบ่มและพักตัวในร่างกายของผึ้งงานที่ยังมีชีวิตอยู่ นอกจากนี้สปอร์ของเชื้อยังอาจอยู่ที่ไข่ผึ้งที่เป็นส่วนประกอบของรัง ปนอยู่ในน้ำผึ้ง และส่วนอื่น ๆ ในรังผึ้ง (Canwell and Shimanuki, 1970) สปอร์ที่อยู่ที่เซลล์เยื่อบุผิวของทางเดินอาหารส่วนกลางจะถูกกำจัดออกจากทางเดินอาหาร โดยการขจัดเนื้อเยื่อผิวของทางเดินอาหารปกติ พร้อมกับการขับน้ำย่อยออกอยู่แล้ว ทำให้สปอร์สามารถเข้าสู่เซลล์อื่น ๆ ของทางเดินอาหารได้และมีสปอร์บางส่วนผ่านต่อไปยังลำไส้ (intestine) และหลุดออกมากับอุจจาระ (feces) ของผึ้งสูงแวดล้อมภายนอกและสามารถเข้าสู่ผึ้งตัวต่อไปได้ใหม่ เมื่อผึ้งมาสัมผัสบริเวณที่มีอุจจาระที่มีสปอร์ปนต่อไป (Goodman, 2007; Malone et al., 1995; Matheson, 1993) พบรากะบาดของโรคในช่วงฤดูหนาวและฤดูใบไม้ร่วง มักมีการระบาดหน้อยในฤดูร้อน (summer) ช่วงฤดูนี้ผึ้งจะมีสปอร์อยู่ภายในร่างกายเล็กน้อย ทำให้ไม่แสดงอาการของโรคและไม่ก่อให้เกิดความเสียหายต่อประชากรภายในรังผึ้ง นอกจากนี้สปอร์บางส่วนยังติดอยู่ที่รังและจะแพร่พันธุ์ใหม่อย่างรวดเร็วอีกครั้งเมื่อเริ่มเข้าฤดูใบไม้ร่วง (autumn) ซึ่งส่งผลให้สูญเสียประชากรผึ้งเป็นจำนวนมากอย่างรวดเร็ว (Goodman, 2007; Malone et al., 1995) และเสียหายหนักมากในฤดูหนาว (winter) และจะลดลงอีกครั้งเมื่อฤดูหนาวมิถุนายนขึ้น ในช่วงหน้าร้อน

ปัจจุบันมีรายงานการแพร่ระบาดของเชื้อชนิดนี้ในผึ้ง พันธุ์ ผึ้งไฟ ผึ้งมีมี ผึ้งหลวง โดยเฉพาะในผึ้งพันธุ์ที่เลี้ยงกันเป็นอุดสาหกรรมทั่วโลกและมีรายงานการได้รับความเสียหายอย่างมาก ในทั่วโลกเนื่องจากเป็นสาเหตุหลักในการทำให้ผึ้งตายที่ละมาก ๆ ประชากรภายในรังลดลงอย่างกระทันหัน ส่งผลเสียหายหนักกับรังที่ได้รับเชื้อ และส่งผลต่อเนื่องต่อผู้เลี้ยง ตลอดจนพืชที่օอาสัยผึ้งเป็นตัวช่วยถ่ายละอองเรณู

2.3 ผลของเชื้อโนเซมาต่อผึ้ง (Effect of Nosema on bees)

ไม่พบการติดเชื้อในผึ้งระยะตัวหนอน (larvae) แต่สามารถพบรูปได้ในผึ้งตัวเต็มวัย (adult) บางครั้งผึ้งที่ติดเชื้อจะไม่แสดงอาการเฉพาะของโรคแต่สามารถตรวจสืบพันธุ์โดยการตรวจดูทางเดินอาหารส่วนกลางของผึ้งโดยจะพบสปอร์ของ Nosema ในกรณีที่ได้รับเชื้อปริมาณมาก ๆ ทำให้ผึ้งที่ได้รับเชื้อก็สามารถห้องร่วงและตายในที่สุดเนื่องจากเชื้อเข้าไปทำลายเซลล์ ทำให้เซลล์เยื่อบุผิวของทางเดินอาหารส่วนกลางเสียหาย ไม่สามารถผลิตเอนไซม์มาย่อยเกรสรที่กินเข้าไปได้ (de Graaf et al., 1994; Goodman, 2007; Malone et al., 1995; Matheson, 1993) ตัวอย่างในผึ้งหาอาหารของผึ้งพันธุ์ เมื่อได้รับเชื้อจำนวน 100,000 สปอร์ต่อตัว โดยป้อนปนกับสารละลายน้ำตาลบริมาร์ 1 ไมโครลิตร จะมีผลทำให้ทางเดินอาหารส่วนกลางผลิตโปรตีโอลิติกเอนไซม์ (proteolytic enzyme) ได้น้อยลง (Malone and Gatehouse, 1997) และส่งผลให้ผึ้งมีอายุสั้นลง (Ritter, 2001) ส่งผลทำให้ลดจำนวนประชากรภายในรังอย่างรวดเร็ว (Hassanein, 1953; Rinderer and Sylvester, 1978; Malone et al., 1995) การติดเชื้อในผึ้งงานกลุ่มหาอาหาร (foragers) จะทำให้การเก็บเกรสรอกไม้และนำหวานลดลง ทำให้รังขาดแคลนอาหาร สุขภาพโดยรวมของประชากรภายในรังก่อนแล้วทำให้ผึ้งเกิดอาการห้องร่วง ตายในที่สุดประชากรภายในรังลดลงอย่างรวดเร็ว ทำให้ผลผลิตภายในรัง (bee products) ลดลงรวมทั้งผลผลิตทางการเกษตร (crop production) เนื่องจากขาดแมลงถ่าย粉 (pollen) (Anderson and Giacon, 1992; Fries et al., 19984; Goodwin et al., 1990) หากผึ้งพยาบาล (nurse bees) ได้รับเชื้อชนิดนี้ ส่งผลให้การเจริญของต่อมไฮโปฟาริงค์ (hypopharyngeal glands) ลดลง หรือหยุดชะงัก ซึ่งมีผลต่อการผลิตนมผึ้ง (royal jelly) ได้ไม่เต็มที่ ส่งผลทำให้ผึ้งพยาบาลสูญเสียความสามารถในการเลี้ยงดูตัวอ่อน (Clark, 1980) จากการศึกษาการใช้เชื้อ Nosema apis จำนวน 5,000 สปอร์ ต่อตัว แก่ผึ้งงานของผึ้งพันธุ์อายุ 1 วัน พบร่วงต่อมไฮโปฟาริงค์ไม่เจริญและฟ้อไปในที่สุด (Wang and Moeller, 1971) ส่งผลต่อเนื่องถึงคุณภาพของประชากรผึ้งภายในรังเนื่องจากได้ปรตีนคุณภาพต่ำและไม่เพียงพอต่อการเจริญเติบโต (Anderson and Giacon, 1992; Clark, 1980; Fries et al., 19984; Goodwin et al., 1994) จากการศึกษาการใช้เชื้อ Nosema apis จำนวน 5,000 สปอร์ ต่อตัว แก่ผึ้งงานของผึ้งพันธุ์อายุ 1 วัน พบร่วงต่อมไฮโปฟาริงค์ไม่เจริญและฟ้อไปในที่สุด (Wang and Moeller, 1971) ส่งผลต่อเนื่องถึงคุณภาพของประชากรผึ้งภายในรัง และหากผึ้งนางพญา (queen) ติดเชื้อจะมีผลทำให้การวางไข่ลดลงและตายภายใน 2-3 สัปดาห์ (Goodman, 2007; Hassanein, 1953; Malone et al., 1995; Rinderer and Sylvester, 1978; Webster et al., 2004) ผลเสียหายโดยรวมทำให้ประชากรผึ้งลดน้อยลงและไม่มีคุณภาพ ผลคือให้ผลิตภัณฑ์ผึ้งชนิดต่าง ๆ ลดลงอย่างมาก หรืออาจตายยกตัว นอกจากนี้ทำให้ระบบนิเวศน์ขาดแคลน แมลงถ่าย粉ของเกรสรที่สำคัญ โดยเฉพาะในพืชเศรษฐกิจทั้งหลาย ส่งผลให้การติดผลลดลง ตลอดจนทำให้ความหลากหลายของชนิดพืชลดลงไปด้วย โดยเฉพาะถ้าหากมีการระบาดต่อเนื่องและยาวนาน (Wang and Moeller, 1969, 1971)

2.4 ต่อมไฮโปฟาริงค์ (Hypopharyngeal glands)

ต่อมไฮโปฟาริงค์ (hypopharyngeal glands) เป็นต่อมมีท่อ (exocrine glands) มีอยู่หนึ่งคู่ตั้งอยู่บนส่วนหัว เรียงตัวเป็นสายยาว ข้างตาประกอบ (compound eyes) หั้งสองข้าง โครงสร้างต่อมมีลักษณะเป็นกระเพาะที่แตกแขนงซับซ้อน (compound alveolar glands) ทำหน้าที่ผลิตนมผึ้ง (royal jelly) ที่มีองค์ประกอบหลักเป็นสารอาหารประเภทโปรตีนและคาร์บอไฮเดรต เพื่อเลี้ยงดูตัวอ่อนของผึ้งงาน (workers) อายุ 1-3 วันและนางพญา (queen) ตลอดอายุชีวิตร (Brouwers, 1982) ถ้าต่อมเจริญดีจะสามารถผลิตนมผึ้งที่มีคุณภาพดี คือมีคุณค่าทางอาหารสูงโดยเฉพาะพวกโปรตีนและกรดอะมิโน สงผลให้ตัวอ่อนมีความแข็งแรงและเมื่อได้อาหารที่สมบูรณ์ จะได้ผึ้งงานตัวเต็มวัยที่แข็งแรง ทำให้รังแข็งแรง (strong colony) นอกจากนี้จะทำให้นางพญาได้รับอาหารที่ดี มีคุณภาพสูง ทำให้รังมีสุขภาพดี 旺ไฟได้มาก ผลิตเพื่อโรมนควบคุมรังได้ดี ทำให้ควบคุมกิจกรรมต่าง ๆ ภายในรังได้ปกติ (Graham, 1992; Otani et al., 1985; Otis, 1991; Seeley, 1985)

ต่อมไฮโปฟาริงค์ในผึ้งที่อายุน้อยจะยังไม่เจริญดีและจะเจริญเต็มที่เมื่อผึ้งเข้าสู่ระยะผึ้งพยาบาล (nurse bees) และยังคงเจริญดีในระยะผึ้งงานระยะหาอาหารซึ่งเป็นกลุ่มผึ้งที่มีอายุมากกว่าผึ้งพยาบาล ต่อมนี้จะเปลี่ยนไปทำหน้าที่ผลิตเอนไซม์อินเวอร์เทส (invertase) และกลูโคซิเดส (glucosidase) แทนซึ่งมีบทบาทสำคัญต่อการผลิตน้ำผึ้ง (honey) จากน้ำหวาน (nectar) จากดอกไม้ และต่อมนี้จะเริ่มเสื่อมถลาย เมื่อผึ้งเข้าสู่ระยะผึ้งทหาร (guardian bees) (Brouwers, 1982; Huang and Otis, 1989; Otani et al., 1985; Simpson, 1968; Suwannapong et al., 2007; 2010a) และเนื่องจากผึ้งเป็นแมลงสังคมแท้ชั้นสูง (highly eusocial insect) ที่แบ่งหน้าที่การทำงานออกเป็นวรรณะต่าง ๆ ซึ่งได้แก่ วรรณะผึ้งงาน (workers) ผึ้งนางพญา (queen) และผึ้งตัวผู้ (drones) ในขณะเดียวกันในกลุ่มของวรรณะผึ้งงานยังแบ่งหน้าที่การทำทำงานออกเป็นกลุ่มย่อยอีกได้แก่ ผึ้งทำความสะอาดรัง (house cleansing bees) มีอายุตั้งแต่โอล่ากมาจากเซลล์ของตักแด๊กแล้ว 3 วัน ผึ้งพยาบาลมีอายุในช่วง 3-16 วัน มีหน้าที่ผลิตนมผึ้งเพื่อเลี้ยงดูตัวอ่อนและนางพญา ผึ้งงานกลุ่มอาหารมีอายุ 16-28 วัน มีหน้าที่หาอาหาร เช่นการเก็บเกสรจากไม้เพื่อผลิตน้ำผึ้ง และกลุ่มผึ้งป้องกันรัง เป็นผึ้งที่มีอายุมากที่สุด (Seeley, 1985)

ทอกซิน (toxin) หรือสารพิษจากเชื้อ *Noosema* สามารถทำลายโครงสร้างของเซลล์หน่วยสร้างสาร (secretory cells) ของต่อมไฮโปฟาริงค์ สงผลให้ผึ้งพยาบาลผึ้งพันธุ์สามารถผลิตนมผึ้งได้ลดลง (Hassanein, 1952; Wand and Muller, 1969; 1979; 1971) หากผึ้งที่มีอายุน้อยได้รับเชื้อจะทำให้ต่อมดังกล่าวไม่เจริญและไม่สามารถผลิตนมผึ้งได้ (Wand and Muller, 1969).

จากเหตุผลข้างต้นทำให้คณะผู้วิจัยสนใจศึกษาการเปลี่ยนแปลงโครงสร้างทางจุลกายวิภาค ชั้ตตัวรักษาเจอร์และอัตราร้อยละการติดเชื้อ ปริมาณโปรตีนของต่อมนี้ ระหว่างผึ้งได้รับเชื้อของ *N. ceranae* ความเข้มข้นที่กำหนดระดับต่าง ๆ กับผึ้งปกติ ในผึ้งทั้ง 5 ชนิดที่มีในประเทศไทย

2.5 ทางเดินอาหารส่วนกลางของผึ้ง (Honeybee midgut)

ผึ้งประกอบด้วยท่อทางเดินอาหาร (digestive tract) ซึ่งแบ่งออกเป็น 3 ส่วนคือ ทางเดินอาหารส่วนต้น (foregut) ทางเดินอาหารส่วนกลาง (midgut) และทางเดินอาหารส่วนท้าย (hindgut) โดยทางเดินอาหารส่วนต้น (foregut) เริ่มจากช่องปาก (cibarium) ตัดลงไปเป็นส่วนที่แคบเข้าและมีกล้ามเนื้อหนาเรียกว่า คอหอย (pharynx) ซึ่งถัดจากคอหอยไปเป็นท่อทางยาวแคบเรียกหลอดอาหาร (esophagus) ซึ่งเริ่มจากส่วนอกยาวไปจนถึงส่วนหน้าของช่องท้องเชื่อมติดต่อกับกระเพาะเก็บน้ำผึ้ง (honey) ที่มีการพัฒนาขยายใหญ่ พบรูปในผึ้งงานเท่านั้น กระเพาะเก็บน้ำผึ้งยังทำหน้าที่เปลี่ยนน้ำหวานจากดอกไม้ให้เป็นน้ำผึ้ง ได้ด้วยการปล่อยเอนไซม์อินเวอร์เตส (invertase) จากต่อมน้ำลาย มาเพื่อย่อย ซูโคส (sucrose) ให้ได้เป็นกลูโคส (glucose) และฟรุกโตส (fructose) ขณะที่ผึ้งบินกลับรัง (ศิริวัฒน์, 2532; Snodgrass, 1935) ทางเดินอาหารส่วนนี้เป็นทางผ่านของเชื้อ Nosema เพื่อลำเลียงเชื้อส่งต่อไปที่ทางเดินอาหารส่วนถัดไป ยังไม่มีรายงานการแพร่กระจายหรือความเสียหายของทางเดินอาหารส่วนนี้จากโรค Nosema ทางเดินอาหารส่วนกลาง (midgut) เริ่มต้นจากส่วนโปรเวนติคิวลัส (proventriculus) ซึ่งเชื่อมต่อจากกระเพาะเก็บน้ำผึ้งเป็นท่อสัน และแคบ ท่อนี้ยื่นเข้าไปในกระเพาะเก็บน้ำหวานมีลักษณะเป็นรูปตัววู (U-shape) มีขนาดยาวที่สุดของทางเดินอาหาร ภายในเวนติคิวลัสเคลื่อนตัวโดยเยื่อเมือก (gelatinous mass) ซึ่งเป็นไขมันที่สร้างขึ้นมาจากการเซลล์บุผิว (epithelial cells) และจะหลังออกจากเยื่อเมือกเมื่อมีอาหารอยู่ภายในเวนติคิวลัส โดยเฉพาะอาหารประเภทโปรตีน ที่สำคัญคือพวงละอองเรณู (pollen grains) และทำหน้าที่ดูดซึมอาหารที่ย่อยแล้วทั้งหมดเข้าเซลล์ (ศิริวัฒน์, 2532; Snodgrass, 1935) ผึ้งที่ได้รับเชื้อ Nosema จะทำให้เซลล์ของเยื่อบุผิวบริเวณนี้เสียหาย ไม่สามารถผลิตเอนไซม์ไม่สามารถย่อยพวงละอองเรณูที่ผึ้งกินเข้าไปได้ ผลคือพวงละอองเรณูจำนวนมากในผึ้งที่ติดเชื้อ เมื่อติดเชื้อจำนวนมากจะทำให้ผึ้งท้องเสียและตายในที่สุดเนื่องจากเซลล์บริเวณนี้ถูกทำลายเสียหายหนัก (Anderson and Giaccon, 1992; Hassanein, 1953; Rinderer and Elliott, 1977; Higes et al., 2007a) ทางเดินอาหารส่วนท้าย (hindgut) เริ่มต้นจากลำไส้เล็ก (intestine) ซึ่งเชื่อมต่ออยู่กับเวนติคิวลัส บริเวณที่เชื่อมต่อกันนี้จะมีท่อขับถ่าย มัลพิจีลทูบูล (Malpighian tubules) เป็นท่อเล็กๆ ยาวจำนวนมากทำหน้าที่ขับถ่ายดูดซึมของเสีย เช่น กรดยูริก (uric acid) และเกลือต่างๆ จากเลือดไปยังลำไส้ใหญ่ถัดจากลำไส้เล็กเป็นลำไส้ตรง (rectum) ทำหน้าที่ดูดซึมสารอาหารและน้ำที่ย่อย ขับกากอาหารออกสู่ภายนอกร่างกายทางทวารหนัก (anus) (ศิริวัฒน์, 2532; Snodgrass, 1935) พบรูปผึ้งที่ได้รับเชื้อ *N. apis* ทางเดินอาหารส่วนนี้จะประกอบด้วยเกสร (pollen grains) ที่ไม่ถูกย่อยกระจายอยู่เต็มทางเดินอาหารส่วนท้ายนี้ ทำให้บวม โป่งออกและมีสีน้ำตาลเข้ม (de Graaf et al., 1994; Higes et al., 2006)

2.6 ผึ้งในประเทศไทย (Honeybees of Thailand)

ผึ้งเป็นแมลงสังคมแท้ชั้นสูง (highly eusocial insects) จัดอยู่ในอันดับไฮเมโนฟเทอรา (Order Hymenoptera) สกุลเอปีส (Genus Apis) ในประเทศไทยพบจำนวน 5 ชนิด โดยแบ่งออกเป็น 2 กลุ่ม คือ ผึ้งพื้นเมืองของประเทศไทย (native species) ได้แก่ (*Apis dorsata* Fabricius, 1793) ผึ้งมีมีม (A. florea Fabricius, 1787) ผึ้งมีมีมดำ (A. andreniformis Smith, 1858) และผึ้งโพรง (A. cerana Fabricius, 1793) และผึ้งที่นำเข้ามาจากการต่างประเทศ (introduced species) คือผึ้งพันธุ์ (A. mellifera Linneaus, 1758) (Suwannapong, 2000; Wongsiri et al., 1990; 1996) ผึ้งแต่ละรังประกอบด้วย 3 วรรณะ คือ ผึ้งนางพญา (queen) ผึ้งตัวผู้ (drones) และผึ้งงาน (workers) โดยแต่ละวรรณะมีหน้าที่ภาระในรังแตกต่างกัน โดยผึ้งนางพญา มีหน้าที่วางไข่ เพียงตัวเดียวภายในรัง โดยผลิตสารフェอร์โรมิโนนที่เรียกว่า queen pheromone โดยปล่อยออกมานำเสนอควบคุมพฤติกรรมของผึ้งวรรณะอื่น ๆ ให้ทำงานและกิจกรรมต่าง ๆ ที่สำคัญต่อการดำรงชีวิต ส่วนวรรณะผึ้งงาน ซึ่งมีจำนวนสม雅ชิกหลายพันหรือหลายหมื่นตัว ขึ้นอยู่กับชนิดของผึ้ง ในวรรณะนี้ประกอบด้วยผึ้งงานที่ทำหน้าที่แตกต่างกันหลายกลุ่ม ได้แก่ ผึ้งงานกลุ่มหากหาอาหาร (foraging bees) ทำหน้าที่หาน้ำหวานและเกสรเพื่อมาใช้และเก็บสะสมภายในรัง ผึ้งงานกลุ่มป้องกันรัง (guardian bees) ทำหน้าที่ป้องกันรัง เมื่อมีศัตรูมาบุกรุก ผึ้งพยาบาล (nurse bees) ทำหน้าที่ผลิตนมผึ้ง เพื่อมาเลี้ยงดูตัวอ่อน ที่มีอายุ 1- 3 วัน และนางพญาตลดอายุขัย ผึ้งงานกลุ่มทำความสะอาด (house cleansing bees) เป็นต้น ส่วนวรรณะผึ้งตัวผู้มีประมาณ 200-300 ตัวต่อรัง มีหน้าที่เพียงอย่างเดียวคือ ผสมพันธุ์กับผึ้งนางพญา เมื่อรังไม่ต้องการจะถูกจำกัดทิ้งออกนอกรัง (Ruttner, 1988; Otis, 1991) ซึ่ง กิจกรรมต่าง ๆ ที่เกิดขึ้นภายในรังผึ้งจะใช้สารที่เรียกว่าเฟอร์โรมิโนน ในการสื่อสารระหว่างวรรณะ หรือ แม้กระทั่งในวรรณะเดียวกัน ในกรณีที่ผึ้งมีการติดเชื้อหรือมีพยาธิสภาพ ในร่างกายทำให้สูญเสียการ ทำงานภายในรังและส่งผลโดยรวมต่อスマชิกทุกตัวภายในรัง เนื่องจากผึ้งใช้เฟอร์โรมิโนนในการสื่อสารกันกับ スマชิกทุกตัวภายในรัง ดังนั้นเมื่อผึ้งชนิดต่าง ๆ ทั้ง 5 ชนิดที่มีในประเทศไทย ซึ่งมีลักษณะเชิงวิทยาบาง ประการ ที่แตกต่างกัน เช่น สัณฐานวิทยา การสร้างรัง พฤติกรรมต่าง ๆ การใช้เฟอร์โรมิโนนการสร้าง พร้อมอพอลิส ถินอาศัย เมื่อผึ้งชนิดต่าง ๆ ได้รับเชื้อ *Nosema* ที่ระดับต่าง ๆ ที่กำหนด น่าจะส่งผลต่อการทำ กิจกรรมต่าง ๆ ภายในเซลล์ซึ่งอาจก่อให้เกิดความเสียหายอาจถึงขั้นร้ายแรง ที่น่าจะมีความแตกต่างกัน ซึ่ง ข้อมูลเหล่านี้จะเป็นประโยชน์ในการศึกษาในระดับลึกต่อไป ซึ่งข้อมูลดังกล่าวจะนำไปสู่การพัฒนาการวิจัย เพื่อนำข้อมูลของความแตกต่างจากความหลากหลายของผึ้งมีชีวิตมาใช้ประโยชน์ให้สูงสุด ไม่ว่าจะเป็น เรื่องของคุณภาพ เกษตรกรรมและอุตสาหกรรมที่เกี่ยวข้อง

2.7 พรอพอลลิส (Propolis)

พรอพอลลิส เป็นผลิตภัณฑ์ผึ้งที่ได้จากยางไม้ (resins) ประกอบด้วย ยางไม้ (50-70%), ไข่ผึ้ง (30-50%), เกาลี (10%) และน้ำมันหอมระ夷 (5-10%) นอกจากนี้ยังประกอบด้วยสารต่าง ๆ

มากกว่า 180 ชนิด ทั้งนี้ขึ้นอยู่กับชนิดของพืชและถิ่นที่อยู่อาศัย ตลอดจนถูกกาลที่ผ่านไปเก็บมา ผึ้งที่พบ การสร้างพรอพอลิสได้แก่ ผึ้งพันธุ์ (*Apis mellifera*) ผึ้งมีมีลักษณะ (*A. andreniformis*) ผึ้งมีมี (*A. florea*) ผึ้งหลวง (*A. dorsata*) ส่วนผึ้งโพรงไม่พบการสร้างพรอพอลิส จึงเป็นที่น่าสนใจเป็นอย่างยิ่งว่าผึ้งโพรงน่าจะมีวิธีการหรือผลิตสารที่ผสมอยู่ในไข่ผึ้งหรือผลิตภัณฑ์อื่นที่สามารถทำให้สามารถกำจัดเชื้อโรคหรือพวกแบคทีเรียที่เซลล์ของร่างรังแก่ตัวอ่อนได้ ดังนั้นการศึกษาอัตราการติดเชื้อ *Nosema* ของผึ้งโพรง น้ำข้อมูลที่เป็นประโยชน์อย่างยิ่ง โดยเฉพาะการทดสอบการยับยั้งด้วย พรอพอลิส ในผึ้งชนิดนี้น่าจะให้ผลที่แตกต่างจากผึ้งชนิดอื่นในประเทศไทย รวมทั้งน่าจะให้ผลแตกต่างจากผึ้งต่างประเทศด้วยเช่นกัน พรอพอลิสประกอบด้วย phenolic compounds ที่สำคัญหลายชนิด เช่น quercetin, caffeic acid และ ferueic acid พลาโนนอยด์ (flavonoid) เอสเตอร์ (ester) กรดฟีโนอิก (phenoeic acid) เทอร์ปีน (terpenes) กรดเบนโซอิก (benzoic acid) กรดซินนามิก (cinnamic acid) กรดคาฟีอิก (caffeic acid) กรดซินนาบิก (sinapic acid) กรดไอโซเฟอรูลิก (isoferulic acid) และคริสซิน (chrysins) (Usami et al., 2004) นอกจากนี้ยังประกอบด้วยสารอื่นๆ เช่น แมกนีเซียม ทองแดง แคลเซียม ธาตุเหล็ก สังกะสี และวิตามินต่าง ๆ เช่น วิตามินเอ วิตามินบี วิตามินบีหนึ่ง วิตามินบีสอง วิตามินบีหก วิตามินซี และวิตามินอี เป็นต้น (Castaldo and Capasso, 2002) พรอพอลิสมีสีน้ำตาลจนเกือบดำ หรือบางพื้นที่มีสีเขียวหรือขาวทั้งนี้ขึ้นอยู่กับชนิดของยางไม้ และถูกกาล ดังนั้นชนิดของสาร สัดส่วนของสารที่เป็นองค์ประกอบของพรอพอลิส จะแตกต่างกันในผึ้งแต่ละชนิดด้วยเช่นกัน (Bankova, Castro and Marcucci, 2000) ผึ้งใช้พรอพอลิสในการอุดรอยต่อ (sealing) ต่าง ๆ และยึดรวมกัน บางที่จึงถูกเรียกว่า “การผึ้ง” (bee glue) ใช้ในการซ่อมแซมรังหรือใช้อุดหน้าทางเข้ารัง เพื่อลดขนาดรูเปิดเข้ารังให้พอดีเพื่อสะดวกในการดูแล และป้องกันรังผึ้งจากศัตรู “ไม่ให้เข้ามาในรัง ตลอดจนรักษาความสะอาด และป้องกันการระบาดของเชื้อโรคภายในรังด้วย ใช้หุ้มชากระดกที่มีขนาดใหญ่และตายอยู่ในรังไม่สามารถจะนำออกไปทิ้งนอกรังได้เพื่อไม่ให้เชื้อโรคเจริญและแพร่เข้ามาในรังได้ นอกจากนี้ยังใช้เคลือบวงรังเพื่อให้แต่ละเซลล์ที่นางพญาจะวางไข่มีสภาพสะอาดปลอดจากเชื้อและปกป้องรังจากศัตรูไม่ให้เข้ามาในรัง (Russo, Longo & Vanella, 2008) สารสกัดจากพรอพอลิส สามารถยับยั้งการเจริญของเชื้อแบคทีเรียในช่องปาก ได้มากกว่า 15 ชนิด จากการใช้พรอพอลิสทดสอบการยับยั้งเชื้อ *Staphilococcus aureus* ที่เลี้ยงในห้องปฏิบัติการสามารถยับยั้งได้ดีเมื่อเทียบกับ คลอแรม芬ิคลอ(chloramphenicol) เชฟราดีน (cefradine) และ โพลีเมรีส บี (polymyxis B) (Castaldo and Capasso, 2002) นอกจากนี้ยังมีรายงานการทดสอบคุณสมบัติการต้านอนุมูลอิสระของพรอพอลิสซึ่งสารประกอบในการต้านอนุมูลอิสระของ โดยเฉพาะสารในกลุ่ม flavonoids ที่พบในพรอพอลิสนั้นช่วยป้องกันการเสื่อมสภาพของวิตามินชนิดต่าง ๆ รวมถึงกรดไขมันที่จำเป็นบางชนิดอีกด้วย (Sroka, 2006) สารสกัดจากพรอพอลิสมีผลต่อการยับยั้งการเจริญของเซลล์มะเร็งโดยสารที่มีบทบาทสำคัญในพรอพอลิสที่มีฤทธิ์ในการยับยั้งเซลล์มะเร็งคือ quercetin, caffeic acid, cleerodane diterpendoid โดย cleerodane และ diterpendoid มีฤทธิ์ในการยับยั้งการแพร่กระจายของเซลล์มะเร็ง

มากที่สุด สารอพิจินิน (apigenin) ซึ่งเป็นสารประกอบที่มีอยู่ในน้ำผึ้ง และพרוพอลิส สามารถยับยั้งเนื้อ蛾ได้ (Muñoz et al., 2007; Saforcin, 2007; Yaghoubi et al., 2007)

งานวิจัยในครั้งนี้สนใจนำเอาพרוพอลิสของผึ้งในประเทศไทยมาเพื่อใช้ในการยับยั้งการเจริญของเชื้อ *Nosema* ในผึ้ง 5 ชนิดของประเทศไทย เนื่องจากในพרוพอลิสมีสารที่มีคุณสมบัติในการยับยั้งเชื้อ菊宁ทรีป์และเชื้อราได้หลายชนิด ดังนั้นอาจเป็นไปได้ว่าพרוพอลิสของผึ้งในประเทศไทยบางชนิดอาจสามารถยับยั้งการเจริญของเชื้อ *Nosema* ในผึ้งบางชนิดได้

บทที่ 3

อุปกรณ์และวิธีการทดลอง

Materials and Methods

3.1 อุปกรณ์ (Instruments)

- Camera (Nikon, Japan)
- Freezer (Krungthai, Thailand)
- Incubator (Thermotek, Thailand)
- Incubator (WET binder, US)
- LKB Ultramicrotome Ultratome V (LKB, Sweeden)
- Light Microscope (Nikon, Japan)
- Microcentrifuge
- Microsyrynx 1 μl (Varain, USA)
- Microsyrynx 10 μl (Hewlett-packard, USA)
- Stereo Microscope (Nikon, Japan)
- Transmission Electron Microscope TEM (Phillip, Netherlands)
- Stereomicroscope (Nikon, Japan)
- Spectrophotometer (Shimadzu, Australia)
- Rotary microtome (Leica, Germany)
- Manetic sterer and magnetic bars (Heidolph, Germany)
- Microtome blades (Feather, Japan)
- Warmplate (Fisher, USA)

3.2 วัสดุ (Inventory supplies)

- Beakers 5, 25, 80, 125, 500 and 1,000 ml (Pyrex, Germany)
- Cuvets (VWR international)
- Capsules; Embedding, Size 00, 8 mm I.D (EMS, USA)
- Copper Grid 200 mesh (EMS, USA)
- Bee cages (80 x130x135 mm³)
- Dissecting Scissors CV scissors, 4" (EMS, USA)

- Embedding Capsule Holder (EMS, USA)
- Eppendorf 1 ml
- Filter paper Whatmann No. 4 (Whatmann Internation Ltd., England)
- Forcep No. 4 INOX (Dumont & Fils, Switzerland)
- Glass Knife Boats (EMS, USA)
- Glass Knife Strips Size 6.4 mm × 25 mm × 400 mm (EMS, USA)
- Micropipette 10, 200 and 1,000 p (Gilson, France)
- Mixer Vortex Genies 2 (EMS, USA)
- Parafilm M and Dispenser (EMS, USA)
- Pasteur Pipettes
- Petri Dish (Pyrex, Germany)
- Pipette Tips 10, 200 and 1,000 µl (Axygen-Hayward, USA)
- Sectioning set (Chiron Stainless, Germany)
- Specimen Forceps 4.5" (EMS, USA)
- Staining jars
- Test tube 12 × 75 mm²

3.3 สารเคมี (Chemicals)

3.3.1 สารเคมีสำหรับศึกษาด้วยกล้องจุลทรรศน์อิเล็กตรอนแบบส่องผ่าน (Chemicals for transmission Electron Microscopy)

- Absolute Ethyl Alcohol (Merk, Germany)
- Dodecetyl Succinic Anhydride (Sigma Chemical Company, USA)
- DMP 30 (2, 4, 6 Tridimethyl Amionmethyl Phenol) (EMS, USA)
- Epon 812 (EMS, USA)
- Glutaraldehyde (Sigma Chemical Company, USA)
- Hydrochloric Acid (Merk, Germany)
- Lead Citrate (Sigma Chemical Company, USA)
- Methyl Nadic Anhydride (EMS, USA)
- Osmium Tetroxide, Crystalline, Highest Purity, 99.95% (EMS, USA)
- Paraformaldehyde, EM Grade, Purified (EMS, USA)

- Phosphotungstic acid (Fluka, Switzerland)
- Propylene Oxide, EM grade (EMS, USA)
- Sodiumborate (Fluka, Switzerland)
- Sodium Cacodylate (Sigma Chemical Company, USA)
- Sodium Hydroxide (Fluka, Switzerland)
- Methylene Blue (Fluka, Switzerland)
- Uranyl Acetate (Fluka, Switzerland)

3.3.2 สารเคมีสำหรับศึกษาภายในเด็กกล้องจุลทรรศน์แบบไฟฟ้าแสง

(Chemicals for Light Electron Microscopy)

- Activated charcoal
- Absolated Ethyl Alcohol (J.T Baker, Malaysia)
- Basic Fuchsin (Labchem, Australia)
- Distilled water
- Formaldehyde Sulution (Univar, Australis)
- Glacial Acetic Acid (Analar, England)
- Hydrochloric Acid (J.K Baker, USA)
- Light Green (Fluka, Switzerland)
- Picric Acid (Labchem, Australia)
- Periodic Acid (Merck Chemical,)
- Permount (Fisher Chemical, USA)
- Sodium Bisulfite
- Toluidine blue
- Xylene (Panreac, England)

3.3.3 สารเคมีสำหรับวัดค่าโปรตีนวิธีเบรดฟอร์ด (Chemicals for Bradford Protein Assay)

- BSA (Bovine Serum Albumin; Sigma Chemical Company, USA)
- Coomassie Blue 250 G (C.1# 42655) (Sigma Chemical Company, USA)
- Distilled water
- Glycerine jelly (Ajax, Australia)

- Methanol (Sigma Chemical Company, USA)
- Phosphoric acid (Merck KGaA, Germany)
- Sodium Hydroxide (NSW 2147, Australia)

3.4 ตัวอย่างที่ใช้ศึกษา (Specimens)

- ผึ้งมี้ม (*Apis florea*) วรวณะผึ้งงาน (workers)
- ผึ้งโพรง (*A. cerana*) วรวณะผึ้งงาน (workers)
- *Nosema ceranae*

3.5 สถานที่ศึกษา (Study site)

3.5.1 บริเวณที่ศึกษาการกระจายตัว (การแพร่ระบาดของเชื้อ)

- 3.5.1.1 ภาคเหนือ
- 3.5.1.2 ภาคตะวันออก
- 3.5.1.3 ภาคตะวันออกเฉียงเหนือ

3.5.2 บริเวณที่เก็บตัวอย่างเชื้อเพื่อศึกษาอัตราการติดเชื้อในห้องปฏิบัติการ ตัวอย่างที่ใช้ในการศึกษาครั้งนี้เก็บรวมจากฟาร์มเลี้ยงผึ้งในจังหวัด สมุทรสงคราม

3.5.3 ศึกษาอัตราการติดเชื้อในห้องปฏิบัติการ

การศึกษาทดลองเกี่ยวกับการติดเชื้อในเมืองในผึ้งทั้งสองชนิด ทำการศึกษาทดลอง ณ ห้องทดลองของภาควิชาชีววิทยา ห้อง BS3108 อาคารวิทยาศาสตร์ชีวภาพ คณะวิทยาศาสตร์ มหาวิทยาลัยบูรพา ประเทศไทย

3.6 วิธีการศึกษาทดลอง (Methodology)

3.6.1 ขั้นตอนการศึกษาการแพร่ระบาดของเชื้อ *Nosema ceranae* และการเพิ่มจำนวนเชื้อในห้องปฏิบัติการ

1. ทุ่มเก็บตัวอย่างผึ้งงานระหว่างตัวเต็มวัย ของผึ้งทั้ง 2 ชนิด ในประเทศไทย คือผึ้งโพรง (*Apis cerana*) และผึ้งมี้ม (*A. florea*) จากภาคเหนือ ตะวันออกเฉียงเหนือ ภาคกลางและภาคตะวันออก
2. โดยสูมเก็บผึ้งจำนวน 50 ตัว/รัง/ชนิด/บริเวณ

3. นำผึ้งตัวอย่างใส่ลงในสารละลายกลูโคสความเข้มข้นร้อยละ 50 (W/W) ที่บรรจุอยู่ในขวดที่มีฝาปิดสนิท เพื่อนำกลับไปตรวจนับหาเชื้อละนับจำนวนสปอร์ในห้องปฏิบัติการ (โดยใช้ Haemocytometer)

4. นำตัวอย่างผึ้งมาดึงเอาทางเดินอาหารส่วนกลาง (mid gut) ออก โดยใช้ปากคีบปลายแหลมขนาดเล็ก

5. นำทางเดินอาหารส่วนกลางใส่ลงใน microcentrifuge tube ขนาด 1.5 ml./ทางเดินอาหาร ของผึ้ง 20 ตัว ที่ภายในบรรจุน้ำกลั่นปริมาตร 200 ไมโครลิตร

6. บดด้วย homogenizer ขนาดเล็ก

7. นำไปปั่นด้วยเครื่อง centrifuge ที่ 6,000 g เป็นเวลา 5 นาที

8. ใช้ pasture pipette ดูดเอาส่วนที่เป็นตะกอนสีขาวออกมาแล้วใส่ลงใน microcentrifuge tube ขนาด 1.5 ml อีกอันหนึ่งที่ภายในบรรจุน้ำกลั่นปริมาตร 200 ไมโครลิตร

9. นำเอา microcentrifuge tube ในข้อ 8 ไป vertex ให้เป็นเนื้อเดียวกันแล้วนำไปนับเซลล์ด้วยเครื่อง Hemocytometer (ในการนี้ที่พับสปอร์ของโนซีมา)

10. บันทึกจำนวนสปอร์ต่อ 1 ไมโครลิตร

11. ทำเช่นเดียวกันในผึ้งทุกชนิด และทุกวิวัฒนศึกษา จนได้จำนวนสปอร์เพียงพอต่อความต้องการ

12. นำสปอร์ที่ได้ไปป้อนให้กับผึ้งงานของผึ้งพันธุ์ชาย 1 วัน โดยใช้ 5,000 สปอร์ต่อผึ้ง 1 ตัวแล้วเลี้ยงใน incubator ที่อุณหภูมิ 34 องศาเซลเซียส ความชื้นสัมพัทธ์ 50 % นำผึ้งที่ตายในแต่ละวันมาตรวจนับ ในซีมาเพื่อเก็บไว้สำหรับการทดลองต่อไป

3.6.2 การทดลองให้ติดเชื้อ (Experimental Infection)

3.6.2.1 การเตรียมสปอร์ (Spore preparation)

1. สปอร์ของโนซีมาที่ใช้ในการศึกษาครั้งนี้เตรียมจากรังของผึ้งพวงในจังหวัดสมุทรสงคราม ที่พับว่ามีการติดเชื้อในซีมาอย่างรุนแรง

2. นำผึ้งที่ติดเชื้อมาผ่าแยกเดินอาหารส่วนกลางออก นำทางเดินอาหารส่วนกลางที่ได้ใส่ลงใน microcentrifuge tube ขนาด 1.5 ml ที่มีน้ำกลั่นบรรจุ 200 μl จากนั้นทำการบดทางเดินอาหาร ส่วนกลางให้ละเอียด แล้วนำไปปั่นเหมือนด้วยเครื่อง microcentrifuge ที่ 6,000 g เป็นเวลา 10 นาที

3. แยกเอาส่วนของเหลวที่อยู่ด้านบนทิ้ง เก็บตะกอนที่มีลักษณะสีขาวๆ ที่อยู่บริเวณด้านบนสุดของตะกอนซึ่งเป็นส่วนของสปอร์ในซีมา จากนั้นนำเอาสปอร์ที่ได้มาใส่ในสารละลายซูโคส ความเข้มข้นร้อยละ 50 และทำการนับภายใต้กล้องโดยใช้ hemocytometer เพื่อเตรียมระดับความเข้มข้นของสปอร์ ระดับต่างๆ คือ 5,000, 10,000 และ 20,000 สปอร์ต่อ 1 ไมโครลิตร

3.6.2.2 ศึกษาอัตราการติดเชื้อขั้นต้นโดยใช้ปริมาณสปอร์คือ 5,000 8,000 และ 10,000 สปอร์ต่อตัว

1. นำคอนพิงที่มีตัวอ่อนในระยะตากเด็จากรังที่แข็งแรงและตรวจดูแล้วว่าไม่มีการติดเชื้อในเชิงฟาร์มเลี้ยงผึ้งในจังหวัดสมุทรสงครามมาชนิดละ 3 รัง (ผึ้งไฟ 3 รัง และผึ้งมีมีอก 3 รัง) ทำการศึกษาขั้นตอนต่อไปเมื่อกันในผึ้งห้องชนิด

2. นำคอนพิงที่ได้มาบ่มในตู้บ่ม ที่อุณหภูมิ $34 \pm 2^{\circ}\text{C}$ ความชื้นสัมพัทธ์ 50-55% เพื่อให้ผึ้งฟักออกมากเป็นตัวเต็มวัย

3. นำผึ้งที่ออกมากใหม่จากข้อ 2 ย้ายใส่ในกรงที่เตรียมไว้อย่างระมัดระวัง โดยแบ่งใส่กรงละ 50 ตัว จำนวนน้ำกลับไปใส่ในตู้บ่ม ทึ่งไว้เป็นระยะเวลา 2 วัน โดยไม่ให้อาหาร

4. แบ่งผึ้งจากข้อ 3 ออกเป็น 5 กลุ่มๆ ละ 3 ตัว (กรง) นำผึ้งแต่ละตัวจากแต่ละกลุ่มป้อนด้วยสารละลายน้ำซูโครส 50% ที่มีสปอร์ของโนซีมาละลายอยู่ด้วย โดยป้อนด้วยปริมาตร 2 ml ต่อตัว โดยในกลุ่มที่ 1 ให้เป็นกลุ่มควบคุมป้อนด้วยสารละลายน้ำซูโครสที่ไม่มีสปอร์ของโนซีมา กลุ่มที่ 2 ป้อนด้วยความเข้มข้น 5,000 สปอร์ต่อตัว กลุ่มที่ 3 ป้อนด้วยความเข้มข้น 8,000 และกลุ่มที่ 4 ป้อนด้วยความเข้มข้น 10,000 สปอร์ต่อตัว

5. หลังจากที่ป้อนเชื้อเสร็จแล้วนำขวดที่บรรจุน้ำ และสารละลายน้ำซูโครส 50% มาติดกับแต่ละกรงเพื่อเป็นแหล่งน้ำและพลังงานให้กับผึ้ง เปลี่ยนขวดน้ำและน้ำตาลทุกๆ 5 วัน

6. จากนั้นเตรียมอาหารให้ผึ้งโดยนำเกสรอบแห้ง 60g มาผสมกับสารละลายน้ำซูโครส 50% ปริมาตร 17 ml (w/v) คนให้เข้าเป็นเนื้อเดียวกัน จากนั้นแบ่งใส่จานและนำไปให้กับผึ้งแต่ละกรง

7. ตรวจสอบอัตราการตายของผึ้งในแต่ละวัน ทำการบันทึกจำนวนผึ้งที่ตายในแต่ละวันต่อแต่ละกรง ศึกษาอัตราการตาย (mortality) อัตราการติดเชื้อ (infection ratio) และปริมาณโปรตีนของต่อมไข่ไปฟาร์มคืนผึ้งห้องชนิด

3.6.2.3 การทำให้ผึ้งติดเชื้อโดยใช้ปริมาณสปอร์คือ 10,000 20,000 และ 40,000 สปอร์ต่อตัว

1. ทำการทดลองเช่นเดียวกับข้อ 3.6.2.2.1 โดยเปลี่ยนปริมาณเป็น 10,000 20,000 และ 40,000 สปอร์ต่อตัว

2. ศึกษาอัตราการตาย อัตราการติดเชื้อ ร้อยละของเซลล์ที่ติดเชื้อกับเซลล์ที่ไม่ติดเชื้อของทางเดินอาหารส่วนกลางของผึ้งภายในไดกล้องจุลทรรศน์แบบเข้าแสง (light microscope) และกล้องจุลทรรศน์แบบส่องผ่าน (transmission electron microscope) จำนวนสปอร์ที่ติดในทางเดินอาหารส่วนกลางของผึ้งต่อตัว และปริมาณโปรตีนของต่อมไข่ไปฟาร์มคืนผึ้งห้องชนิด

3.6.2.3.1 ศึกษาอัตราการติดเชื้อต่อผึ้งหนึ่งตัว (Infectivity)

1. ผ่าแยกเอาทางเดินอาหารส่วนกลางจากผึ้งที่ตายในแต่ละวันจากแต่ละกรงมาใส่ใน microcentrifuge tube ขนาด 1.5 ml ที่มีน้ำกลั่นบรรจุอยู่ 100 μl
2. บดให้ละเอียด แล้วนำของเหลวที่ได้ไปนับจำนวนสปอร์ภายในตัวโดยใช้ hemocytometer
3. บันทึกผลที่นับได้เป็นจำนวนสปอร์ต่อตัว ทำการทดสอบเสร็จสิ้นหรือจนกว่าผึ้งในแต่ละกรงจะตายหมด

3.6.2.3.2 ศึกษาอัตราการรอดชีวิต (Survival analysis)

1. ตรวจสอบอัตราการตายของผึ้งในแต่ละกรงเป็นระยะเวลา 30 วัน บันทึกจำนวนผึ้งที่ตายในแต่ละวันต่อกรง นำผึ้งที่ตายออกมากีบแข็งในตู้เย็นเพื่อทำการศึกษาในขั้นต่อไป
2. หลังจากทำการตรวจสอบอัตราการตายของผึ้งและบันทึกครบ 30 วันแล้ว นำผลที่ได้มาเขียนเป็นกราฟโดยใช้วิธี Kaplan-Meier survival curves

3.6.2.3.3 ศึกษาร้อยละของเซลล์ที่ติดเชื้อกับไม่ติดเชื้อภายในเซลล์เยื่อบุทางเดินอาหาร ส่วนกลางของผึ้ง (Infection ratio between infected cells and non-infected cells)

1. นำผึ้งที่ยังมีชีวิตจากแต่ละกรงฯ 3 ตัว ทุกวันที่ 6 10 และวันที่ 14 หลังจากที่ทำการป้อนเชื้อไปแล้วออกมากศึกษาร้อยละของเซลล์ที่ติดเชื้อกับไม่ติดเชื้อ
2. ผ่าแยกทางเดินอาหารส่วนกลางออก นำเนื้อเยื่อบางส่วนไปศึกษาภายในตัวโดยใช้กล้องจุลทรรศน์เพื่อตรวจสอบว่าติดเชื้อนำเนื้อเยื่อที่ได้มาเตรียมในขั้นตอนต่อไปโดยใช้เทคนิคการเตรียมตัวอย่างเพื่อศึกษาภายในตัวโดยใช้กล้องจุลทรรศน์

ขั้นตอนสำหรับการเตรียมการศึกษาภายในตัวโดยใช้กล้องจุลทรรศน์แบบใช้แสง (LM)

(Protocol for studying by light microscopy)

1. นำทางเดินอาหารส่วนกลางของผึ้ง แข็งใน Bouin's fluid solution 24 ชั่วโมง
2. จากนั้นนำเนื้อเยื่อมาล้างในสารละลายแอลกอฮอล์ 70% สามรอบหรือจนกว่าตัวอย่างใส
3. นำเนื้อเยื่อแข็งในแอลกอฮอล์ 70-95% ขั้นละ 6 ชั่วโมง
4. แข็งในแอลกอฮอล์ 100% 1 ชั่วโมง
5. แข็งใน xylene 1 ชั่วโมง
6. แข็งใน ส่วนผสมระหว่าง xylene: melt paraplast อัตราส่วน 2: 1, 1: และ 1: 2 ขั้นละ 1 ชั่วโมง ที่อุณหภูมิ 58 °C
7. หลังจากนั้นนำเข้าตัวอย่างมาฝังในพาราพลาสเคลว
8. ตัดตัวอย่างโดยใช้เครื่องrotary microtome ความหนา 6 μm

9. ย้อมด้วยสี Periodic Acid Schiff's reagent (PAS) นำไปศึกษาภายใต้กล้องจุลทรรศน์แบบใช้แสง
10. ศึกษาร้อยละการติดเชื้อระหว่าง เชลล์ที่ติดเชื้อกับไม่ติดเชื้อและบันทึกผลและถ่ายรูป

ขั้นตอนสำหรับการเตรียมการศึกษาภายใต้กล้องจุลทรรศน์อิเล็กตรอนแบบส่องกราด (*Protocol for studying by Transmission electron microscopy (TEM)*)

1. นำผึ้งจากแต่ละกลุ่มการทดลองลงจากป้อนเชือกไปแล้ว 14วัน มาผ่าแยกระบบทางเดินอาหารส่วนกลางออก
2. ล้างเนื้อเยื่อในน้ำฟเฟอร์ไฮสีคอด แล้วนำไปในน้ำยารักษาสภาพ Karnowsky fixative ทันทีที่อุณหภูมิ 4°C แข็งให้เป็นเวลา 3 ชั่วโมง
3. ล้างด้วย 0.27 M fixing buffer pH 7.4 ที่อุณหภูมิห้อง 2 ครั้ง ๆ ละ 10 นาที
4. แช่ชิ้นตัวอย่างใน 2% osmium tetroxide ที่ละลายใน 0.27 M fixing buffer pH 7.4 เป็นเวลา 1 ชั่วโมง
5. จุ่มตัวอย่างในแอลกอฮอล์ความเข้มข้นต่าง ๆ ตั้งแต่ 30% 50% 70% 90% จนถึง 100% ขั้นละ 10 นาที
6. แช่ชิ้นตัวอย่างในสารละลาย propylene oxide นาน 1 ชั่วโมง
7. แช่ชิ้นตัวอย่างในสารละลาย propylene oxide (ที่มี uranyl acetate และ phosphotungstic acid ละลายอยู่) นาน 12 ชั่วโมง
8. แช่ชิ้นตัวอย่างในส่วนผสมระหว่าง propylene oxide และ embedding media สัดส่วน 2:1, 1:2 และ 2:1 ตามลำดับขั้นละ 1 ชั่วโมง
9. ฝังลงในพลาสติกผสม Epon 812-aradite 502 ใน capsules.
10. นำเนื้อเยื่อที่ฝังอยู่ใน capsules ใส่ในตู้ปั่น ที่อุณหภูมิ 35°C 24 ชั่วโมง 45°C 48 ชั่วโมง และ 65°C เป็นเวลา 72 ชั่วโมง
11. ตัด Semi-thin ให้มีความหนาประมาณ $1\mu\text{m}$ โดยใช้ KB ultramicrotome และย้อมด้วย สี 1% toluidine blue ใน sodium borate solution.
12. ตัด Ultra-thin sections ให้มีความหนา 90 nm
13. เก็บตัวอย่างเนื้อเยื่อที่ถูกอยู่ในน้ำกัลล์ด้วย 200 mesh grids ย้อมสีตัวอย่างด้วย uranyl acetate และเพิ่มความชัดด้วย lead citrate.
14. จากนั้นนำตัวอย่างที่ได้มาศึกษาภายใต้กล้องจุลทรรศน์อิเล็กตรอนแบบส่องผ่าน Jeol 200SX (Tokyo, Japan)

3.6.2.3.4 ศึกษาปริมาณโปรตีนจากต่อมไฮโปฟาริงค์ (Hypopharyngeal gland protein contents: Bradford assay)

1. นำผึ้งที่ยังมีชีวิตอยู่จากแต่ละกรงฯ ละ 3 ตัว ในวันที่ 6-10 และวันที่ 14 หลังจากการป้อนเชื้อแล้ว แข็งแข็งในตู้เย็นจนกว่าจะทำการวัดปริมาณโปรตีน
2. จากนั้นนำผึ้งที่แข็งแข็งมาฝ่าแยกเอาต่อมไฮโปฟาริงค์
3. นำต่อมไฮโปฟาริงค์จากผึ้งแต่ละตัวใส่ใน 1.5 ml microcentrifuge tubes ที่มีสารละลายน้ำ phosphate buffer pH 7.8 ปริมาณ 50 μl บรรจุอยู่
4. บดให้ละลายแล้วนำไปปั่นเดียวเครื่อง microcentrifuge ที่ 1,000 g เป็นเวลา 2 นาที
5. ดูดเอา Supernatant เพื่อนำไปวิเคราะห์ปริมาณโปรตีนจากต่อมไฮโปฟาริงค์ของผึ้งแต่ละตัว โดยใช้วิธี Bradford protein assay (Bradford, 1976).
6. เปรียบเทียบภาพมาตรฐานจาก bovine serum albumin (BSA) ทำการวัดค่าการดูดกลืนแสงของโปรตีนที่ช่วงคลื่น 595 nm โดยใช้เครื่อง Shimadzu uv-visible spectrophotometer (UV-1610).
7. นำค่าการดูดกลืนแสงที่ได้มาคำนวนหาความเข้มข้นของโปรตีน โดยเปรียบจากภาพมาตรฐานที่เตรียมไว้ วิเคราะห์ข้อมูลทางสถิติโดยใช้โปรแกรม SAS ด้วยวิธี one way ANOVA

3.6.2.4 ผลของพรองโอลิสที่มีต่ออัตราการตาย อัตราการติดเชื้อ ร้อยละการติดเชื้อภายในเซลล์ปริมาณโปรตีนของต่อมไฮโปฟาริงค์ (Effect of propolis on honeybee mortality, infectivity and protein contents of hypopharyngeal glands)

3.6.2.4.1 การสกัดพรองโอลิส (Propolis extraction)

1. พรองโอลิสที่นำมาศึกษาครั้งนี้ เป็นพรองโอลิสที่ได้จากชันโรงชนิด *Trigona apicalis* ซึ่งได้มาจากฟาร์มเลี้ยงผึ้งในจังหวัด จันทบุรี นำพรองโอลิสที่ได้มาอบให้แห้งในตู้อบโดยอบที่อุณหภูมิ 80 °C จนกว่าจะแห้ง จากนั้นนำมาสกัดด้วยสารละลายนอก 70% (w/v) โดยชั่งพรองโอลิส 60 มล. ละลายใน 100 ml ของ 70% เอทานอล นำไปปั่นในชุดรูป矩形 ปิดปากชุดด้วยพาราฟินให้สนิท จากนั้นนำไปเยี่ยงโดยใช้เครื่องเยี่ยงเป็นเวลา 2 วัน โดยสารสกัดที่ได้จะคิดเป็นความเข้มข้นของพรองโอลิสเป็น 200%
2. นำสารสกัดที่ได้มาเตรียมให้ได้ความเข้มข้นสามระดับคือ 10% 20% และ 50% โดยนำสารสกัดที่ได้มาละลายในน้ำกลั่น

3.6.2.4.2 ศึกษาการติดเชื้อ (Experimental infection)

1. แบ่งผึ้งที่แข็งแข็งและไม่มีเชื้อในตีม่าออกเป็น 5 กลุ่มดังนี้ คือ
 - ก กลุ่มที่ 1: ป้อนด้วย 50% (w/v) สารละลายน้ำโครสที่ละลายในน้ำกลั่น และให้ pollen mix (โดยผสม 60 g เกสรกับ 17 ml สารละลายน้ำโครส 50% (w/v)) โดยให้กลุ่มนี้เป็นกลุ่ม positive control

กลุ่มที่ 2: กลุ่มควบคุมที่เป็น Negative control โดยป้อนผึ้งด้วย 50% (w/v) 50% (w/v) สารละลายน้ำมันละลายน้ำมัน ผสมเมล็ดพืชในรูปแบบสูตรที่ต้องการ โดยป้อนด้วยความเข้มข้นของสปอร์ 40,000 สปอร์ต่อผึ้งหนึ่งตัว และให้ pollen mix ที่ผสม 60 g ของเกสรกับ 17 ml ของสารละลายน้ำมัน 50% (w/v) ที่ละลายในเอทานอล 17.5% (v/v)

กลุ่มที่ 3: ป้อนด้วยสารละลายน้ำมัน 50% (w/v) ที่ละลายในน้ำมันและเมล็ดพืชในรูปแบบสปอร์ 40,000 สปอร์ต่อผึ้งหนึ่งตัว จากนั้นให้ pollen mix ที่ผสม 60 g ของเกสรกับ 17 ml ของสารละลายน้ำมัน 50% (w/v) ที่ละลายใน 10% propolis (v/v)

กลุ่มที่ 4: ป้อนด้วยสารละลายน้ำมัน 50% (w/v) ที่ละลายในน้ำมันและเมล็ดพืชในรูปแบบสปอร์ 40,000 สปอร์ต่อผึ้งหนึ่งตัว จากนั้นให้ pollen mix ที่ผสม 60 g ของเกสรกับ 17 ml ของสารละลายน้ำมัน 50% (w/v) ที่ละลายใน 20% propolis (v/v)

กลุ่มที่ 5: ป้อนด้วยสารละลายน้ำมัน 50% (w/v) ที่ละลายในน้ำมันและเมล็ดพืชในรูปแบบสปอร์ 40,000 สปอร์ต่อผึ้งหนึ่งตัว จากนั้นให้ pollen mix ที่ผสม 60 g ของเกสรกับ 17 ml ของสารละลายน้ำมัน 50% (w/v) ที่ละลายใน 50% propolis (v/v)

2. ทำการศึกษาทดลองตามข้อที่ 3.6.1.2

3. ตรวจสอบอัตราการตายของผึ้งในแต่ละวัน ทำการบันทึกจำนวนผึ้งที่ตายในแต่ละวันต่อแต่ละกรง

4. ศึกษาอัตราการตาย อัตราการติดเชื้อ ร้อยละของเซลล์ที่ติดเชื้อกับไม่ติดเชื้อและปริมาณโปรตีนของต่อมไฮโปฟาริงค์ตามขั้นตอนที่กล่าวไว้ข้างต้น

5. ทำ เช่นเดียวกันในผึ้งทั้ง 2 ชนิด คือผึ้ง *A. Florea* และ *A. cerana*

3.7 ผลของพรอพอลิสจากจังหวัดจันทบุรีที่มีต่ออัตราการตาย อัตราการติดเชื้อ ร้อยละการติดเชื้อภายในเซลล์ ปริมาณโปรตีนของต่อมไฮโปฟาริงค์ของผึ้งมีมและผึ้งโพรง

สารละลายน้ำมัน ที่ใช้ในการทดลองจะใช้เอทานอลเป็นตัวที่ละลายและปรับความความเข้มข้นโดยใช้น้ำให้ได้ 50% และ 70% โดยเก็บพรอพอลิสจากผึ้งพันธุ์ (*Apis mellifera* Linneaus, 1758) และชันโรง (*Trigona apicalis* Smith, 1875) จากจังหวัดจันทบุรี หลังจากนั้นทำการทดลองดังนี้

3.7.1. นำ colonies ที่ไม่มีการติดเชื้อประคบรด้วยดักแด๊กที่กำลังจะออกมาเป็นตัวเต็มวัย ใส่ในกรงผึ้งแล้วนำไป放入 incubator ที่ตั้งอุณหภูมิที่ 34 องศาเซลเซียส ความชื้นสัมพัทธิ์ 50 % เพื่อให้ผึ้งพักออกมากเป็นตัวเต็มวัย โดยใช้เวลาประมาณ 24-30 ชั่วโมง

3.7.2 นำผึ้งตัวเต็มวัยที่พักออกมาก (ซึ่งถือว่าเป็นผึ้งงานอายุ 1 วัน) จาก incubator แบ่งเป็นกลุ่ม 6 กลุ่ม โดยทำการทดลองกลุ่มละ 3 ขั้นตอนนี้

กลุ่มที่ 1 ป้อนสารละลายน้ำโดยสารละลายน้ำ คือสารละลายน้ำโดยสารละลายน้ำ 50% (น้ำตาลละลายน้ำ) และให้อาหาร คือสารละลายน้ำโดยสารละลายน้ำ 50% (น้ำตาลละลายน้ำ) น้ำกลั่น และ pollen mix เตรียมโดยการซึ้งเกสรผึ้ง 60 กรัม ผสมกับสารละลายน้ำโดยสารละลายน้ำ 50% (น้ำตาลละลายน้ำ) ปริมาตร 17 มิลลิลิตร ให้เป็นกลุ่มควบคุม (CO)

กลุ่มที่ 2 ป้อนสารละลายน้ำโดยสารละลายน้ำ คือสารละลายน้ำโดยสารละลายน้ำ 50% (น้ำตาลละลายน้ำ) และให้อาหาร คือสารละลายน้ำโดยสารละลายน้ำ 50% (น้ำตาลละลายน้ำ) น้ำกลั่น และ pollen mix เตรียมโดยการซึ้งเกสรผึ้ง 60 กรัม ผสมกับสารละลายน้ำโดยสารละลายน้ำ 50% (น้ำตาลละลายน้ำ) ในสารละลายน้ำโดยสารละลายน้ำ 70% ปริมาตร 17 มิลลิลิตร ให้เป็น Negative control (CP)

กลุ่มที่ 3 ป้อนสารละลายน้ำโดยสารละลายน้ำ คือสารละลายน้ำโดยสารละลายน้ำ 50% (น้ำตาลละลายน้ำ) ประกอบด้วยสปอร์ของโนเชีมาปริมาณ 80,000 สปอร์/ตัว และให้อาหาร คือสารละลายน้ำโดยสารละลายน้ำ 50% (น้ำตาลละลายน้ำ) น้ำกลั่น และ pollen mix เตรียมโดยการซึ้งเกสรผึ้ง 60 กรัม ผสมกับสารละลายน้ำโดยสารละลายน้ำ 50% (น้ำตาลละลายน้ำ) ในสารละลายน้ำโดยสารละลายน้ำ 70% ปริมาตร 17 มิลลิลิตร ให้เป็น Positive control (CE)

กลุ่มที่ 4 ป้อนสารละลายน้ำโดยสารละลายน้ำ คือสารละลายน้ำโดยสารละลายน้ำ 50% (น้ำตาลละลายน้ำ) ประกอบด้วยสปอร์ของโนเชีมาปริมาณ 80,000 สปอร์/ตัว และให้อาหาร คือสารละลายน้ำโดยสารละลายน้ำ 50% (น้ำตาลละลายน้ำ) น้ำกลั่น และ pollen mix เตรียมโดยการซึ้งเกสรผึ้ง 60 กรัม ผสมกับสารละลายน้ำโดยสารละลายน้ำ 50% (น้ำตาลละลายน้ำ) ในสารละลายน้ำโดยสารละลายน้ำ 70% ปริมาตร 17 มิลลิลิตร (OP)

กลุ่มที่ 5 ป้อนสารละลายน้ำโดยสารละลายน้ำ คือสารละลายน้ำโดยสารละลายน้ำ 50% (น้ำตาลละลายน้ำ) ประกอบด้วยสปอร์ของโนเชีมาปริมาณ 80,000 สปอร์/ตัว และให้อาหาร คือสารละลายน้ำโดยสารละลายน้ำ 50% (น้ำตาลละลายน้ำ) น้ำกลั่น และ pollen mix เตรียมโดยการซึ้งเกสรผึ้ง 60 กรัม ผสมกับสารละลายน้ำโดยสารละลายน้ำ 50% (น้ำตาลละลายน้ำ) ในสารละลายน้ำโดยสารละลายน้ำ 70% ปริมาตร 17 มิลลิลิตร (5OP)

กลุ่มที่ 6 ป้อนสารละลายน้ำโดยสารละลายน้ำ คือสารละลายน้ำโดยสารละลายน้ำ 50% (น้ำตาลละลายน้ำ) ประกอบด้วยสปอร์ของโนเชีมาปริมาณ 80,000 สปอร์/ตัว และให้อาหาร คือสารละลายน้ำโดยสารละลายน้ำ 50% (น้ำตาลละลายน้ำ) น้ำกลั่น และ pollen mix เตรียมโดยการซึ้งเกสรผึ้ง 60 กรัม ผสมกับสารละลายน้ำโดยสารละลายน้ำ 50% (น้ำตาลละลายน้ำ) ในสารละลายน้ำโดยสารละลายน้ำ 70% ปริมาตร 17 มิลลิลิตร (7OP)

3.7.3. นำผึ้งแต่ละกลุ่มในข้อ 3.7.2 ใส่ในกรงเลี้ยงขนาดเล็ก (bee cage) ขนาด 80x135x130 mm³ (ฝาด้านหน้ามีແเนื่องເລືອນເພື່ອສະດວກຕ່ອງກາງນໍາເຂາຜິ່ງອອກ ຜົນງຳດ້ານໜັງໃນกรงບຽງ queen pheromone ທີ່ຢຶດຕິດກັບກະດາບເຫັນຍືດໄວ້ແນ່ງກັບກຮງ) ໂດຍແກໄສກຈະ 50 ຕ້າວ/treatment นำกรงຜິ່ງທັງໝາດ ใส่ໃນ incubator ທີ່ຕັ້ງອຸນຫຼວມທີ່ 34 °C ຄວາມຊັ້ນສົມພັກ 50%

3.7.4 ศึกษาอัตราการตาย (bee mortality) ໂດຍตรวจนับอัตราการตายของผึ้งแต่ละกลุ่ม ทุกวัน ຈนກະທັງໝາດ 30 ວັນ อัตราการติดເຫຼືອ (infection rate) ໂດຍກາງຈາກຫາເຫຼືອແລະນັບຈຳນວນສປອຣຂອງຜິ່ງແຕ່ລະຕົວໂດຍໃຊ້ Hemocytometer ແລະ ศຶກຫາຮ້ອຍລະຂອງກາງຕິດເຫຼືອຂອງເຫຼືອທີ່ຕິດເຫຼືອ

สำนักหอสมุด มหาวิทยาลัยบูรพา
ศ.แสนสุข อ.เมือง จ.ชลบุรี 20131

23

(infected cells) กับเซลล์ที่ไม่ติดเชื้อ (non infected cells) ของเซลล์เยื่อบุทางเดินอาหารส่วนกลาง ตลอดจนศึกษาการเปลี่ยนแปลงโครงสร้างของเซลล์ของต่อมไฮโพฟาริงค์ (hypopharyngeal glands) และเยื่อบุผิวของทางเดินอาหารส่วนกลาง (midgut) ของผึ้งในกลุ่มต่างๆ ภายใต้กล้องจุลทรรศน์แบบ ใช้แสง (LM) รวมทั้งศึกษาผลของเชื้อต่อการผลิตปริมาณโปรดีนของต่อมไฮโพฟาริงค์

๘๙๕.๗๙๙

ค ๓๘๙๐๗

301509

บทที่ 4

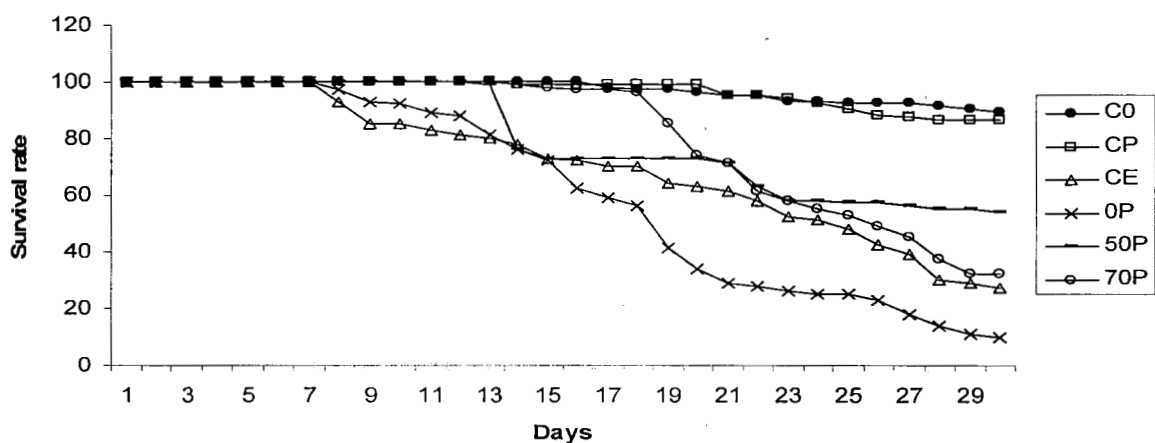
ผลการศึกษา

Results

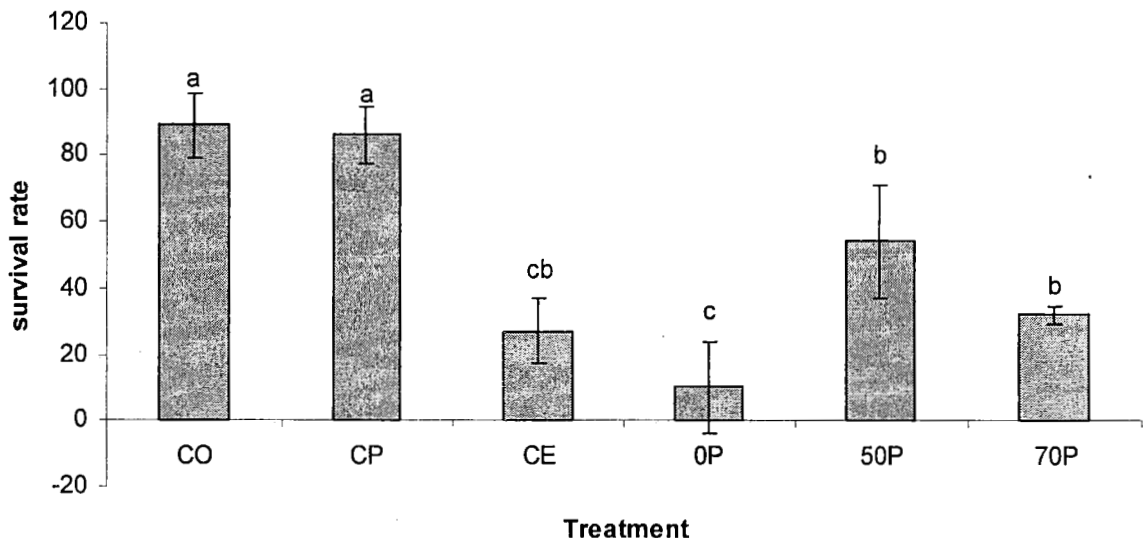
4.1 ผลของพרוพอลิสที่มีต่ออัตราการรอดชีวิต การติดเชื้อ ร้อยละการติดเชื้อภายในเซลล์ และค่าโปรตีนจากต่อมไฮโพฟาริงค์ของผึ้งมี้ม (Effect of propolis on honeybee survival rate, infectivity, infection ratio and protein content of hypopharyngeal glands of *Apis florea*)

4.1.1 อัตราการรอดชีวิตของผึ้งมี้ม (Survival rate of *A. florea*)

การรอดชีวิตของผึ้งมี้ม คือ $89\% \pm 9.89$ $86\% \pm 8.48$ $27\% \pm 9.89$ $10\% \pm 14.14$ $54\% \pm 16.97$ และ $32\% \pm 2.8$ ในกลุ่ม CO CP CE OP 50P และ 70P ตามลำดับ กลุ่มที่ให้พרוพอลิส 50P มีอัตราการรอดสูงกว่ากลุ่ม OP และ CE ส่วน 70P มีอัตราการรอดสูงกว่ากลุ่ม OP แต่ไม่แตกต่างกับกลุ่ม CE กลุ่มที่มีอัตราการรอดชีวิตต่ำสุดคือ OP อย่างไรก็ตามกลุ่มที่มีอัตราการรอดชีวิตสูงที่สุดคือ CO ซึ่งไม่แตกต่างกับกลุ่ม CP ($F_5 = 16.60$, $P < 0.0019$) ดังรูปที่ 4.1 และ รูปที่ 4.2



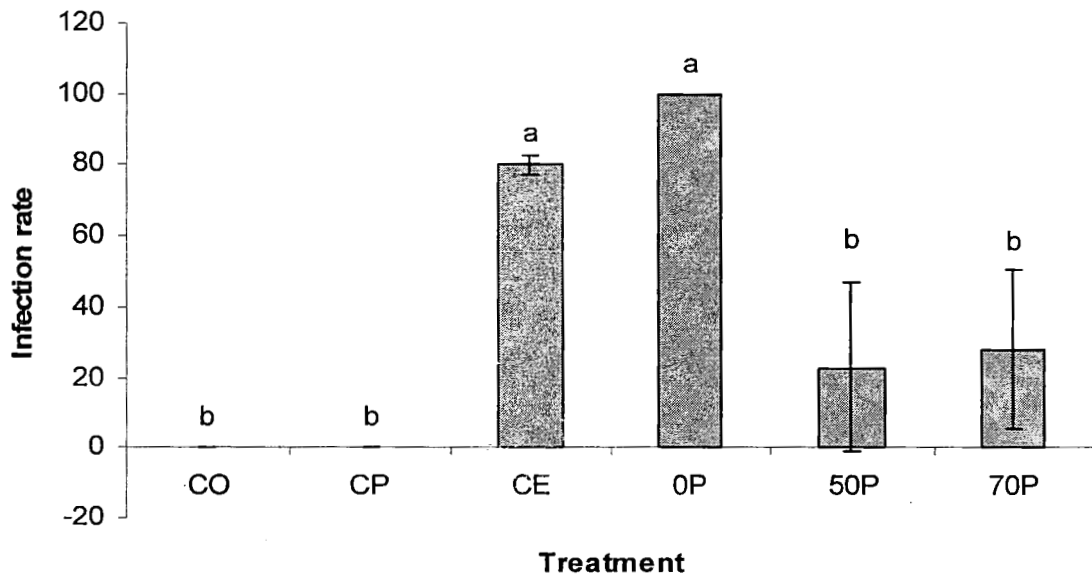
รูปที่ 4.1 แสดงอัตราการรอดชีวิตผึ้งมี้ม (*A. florea*) หลังจากทำการป้อนสปอร์ของเชื้อโนซีมาที่สกัดมาจากผึ้งโพรง (*A. cerana*) ด้วยความเข้มข้นของสปอร์ 80,000 สปอร์ต่อตัว และให้สารละลายพרוพอลิสที่ ระดับความเข้มข้นต่างๆ คือ ความเข้มข้น 0% (OP) ความเข้มข้น 50% (50P) และความเข้มข้น 70% (70P) และกลุ่มควบคุมที่ไม่ได้ให้สารละลายพרוพอลิส 2 กลุ่ม คือ control (CO) and control ethanol (CE) และกลุ่มที่ให้สารละลายพרוพอลิสแต่ไม่ให้เชื้อคือกลุ่ม CP เป็นระยะเวลา 30 วัน (ANOVA- Duncan's multiple range test, ($F_5 = 16.60$, $P < 0.0019$)



รูปที่ 4.2 ค่าเฉลี่ยการรอดชีวิตคิดเป็นร้อยละ \pm SD ของผึ้งมี้ม (*A. florea*) หลังจากทำการป้อนสปอร์ของเชื้อในชีม่าที่สกัดมาจากผึ้งโพรง (*A. cerana*) ด้วยความเข้มข้นของสปอร์ 80,000 สปอร์ต่อตัว และให้สารละลายพרוพอลิสที่ระดับความเข้มข้นต่างๆ คือ ความเข้มข้น 0% (0P) ความเข้มข้น 50% (50P) และความเข้มข้น 70% (70P) และกลุ่มควบคุมที่ไม่ได้ให้สารละลายพרוพอลิส 2 กลุ่ม คือ control (CO) and control ethanol (CE) และกลุ่มที่ให้สารละลายพרוพอลิสแต่ไม่ได้เชื้อคือกลุ่ม CP เป็นระยะเวลา 30 วัน (ANOVA- Duncan's multiple range test, $F_5 = 16.60, P < 0.0019$)

4.1.2 อัตราการติดเชื้อของผึ้งมี้ม (Infection rate of *A. florea*)

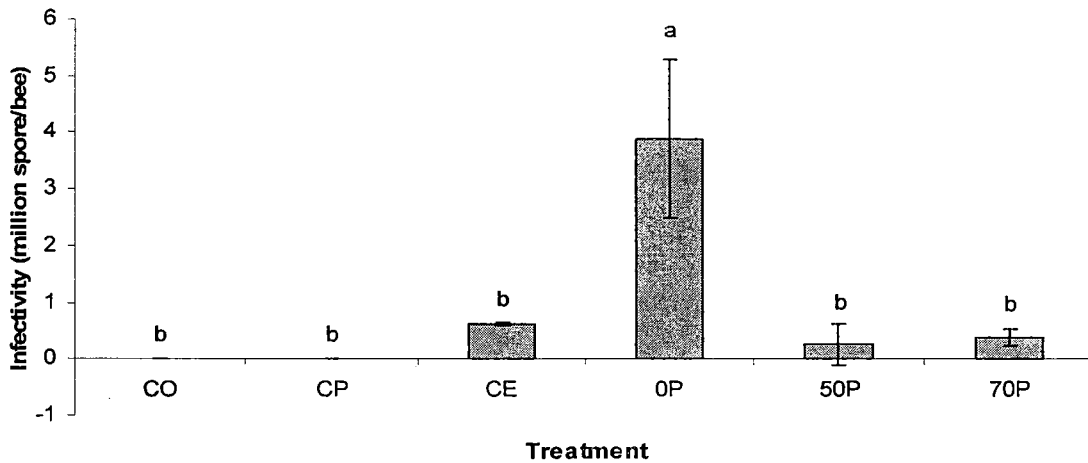
ผึ้งในกลุ่ม CO และ CP ไม่พบติดเชื้อการติดเชื้อตลอดการศึกษาและในกลุ่มทดลองหั้งหมุดพบการติดเชื้อในชีม่า อัตราการติดเชื้อในกลุ่ม OP CE 50P และ 70P คือ 100% 80% \pm 2.82 23% \pm 24.04 และ 28% \pm 22.63 ตามลำดับ เมื่อทดสอบทางสิทธิพิบว่า กลุ่ม OP และ CE ไม่มีความแตกต่างกันแต่แตกต่างกับกลุ่ม CO CP 50P และ 70P อย่างมีนัยสำคัญทางสถิติ ($F_5 = 19.28, P < 0.0012$) อย่างไรก็ตามอัตราการติดเชื้อสูงที่สุดพบในกลุ่ม OP ดังรูปที่ 4.3



รูปที่ 4.3 แสดงค่าเฉลี่ยการติดเชื้อคิดเป็นร้อยละ \pm SD ของผึ้งมีม (A. florea) หลังจากทำการป้อนสปอร์ ของเชื้อในชีมาที่สกัดมาจากผึ้งโพรง (A. cerana) ด้วยความเข้มข้นของสปอร์ 80,000 สปอร์ต่อตัว และให้สารละลายพรอพอลิสที่ระดับความเข้มข้นต่างๆ คือ ความเข้มข้น 0% (OP) ความเข้มข้น 50% (50P) และความเข้มข้น 70% (70P) และกลุ่มควบคุมที่ไม่ได้ให้สารละลายพรอพอลิส 2 กรัม คือ control (CO) and control ethanol (CE) และกลุ่มที่ให้สารละลายพรอพอลิสแต่ไม่ให้เชื้อคือกลุ่ม CP (ANOVA- Duncan's multiple range test, $F_5 = 19.28$, $P < 0.0012$)

4.1.3 ค่าเฉลี่ยจำนวนสปอร์/ตัวของผึ้งมีม (Infectivity of A. florea)

ผึ้งในกลุ่มควบคุมไม่พบการติดเชื้อตลอดการศึกษา (CO และ CP) ผึ้งในกลุ่มที่ให้เชื้อสามารถตรวจพบได้ภายใต้กล้องจุลทรรศน์แบบใช้แสง พบค่าเฉลี่ย $0.631 \times 10^6 \pm 0.028$ (ซึ่งค่าเฉลี่ยของการติดเชื้อ $0.002 \times 10^6 - 2.535 \times 10^6$ สปอร์/ตัว) $3.896 \times 10^6 \pm 1.403$ (ซึ่งค่าเฉลี่ยของการติดเชื้อ $0.013 \times 10^6 - 10.695 \times 10^6$ สปอร์/ตัว) $0.265 \times 10^6 \pm 0.363$ (ซึ่งค่าเฉลี่ยของการติดเชื้อ $0.002 \times 10^6 - 2.490 \times 10^6$ สปอร์/ตัว) และ $0.394 \times 10^6 \pm 0.163$ (ซึ่งค่าเฉลี่ยของการติดเชื้อ $0.003 \times 10^6 - 1.35 \times 10^6$ สปอร์/ตัว) ผึ้งในกลุ่ม CE OP 50 และ 70P ตามลำดับ กลุ่มที่พบการติดเชื้อต่อตัวสูงที่สุดคือ OP ซึ่งแตกต่างจากกลุ่มอื่นอย่างมีนัยสำคัญทางสถิติ ($F_5 = 12.76$, $P < 0.0038$) ดังรูปที่ 4.4



รูปที่ 4.4 ค่าเฉลี่ยจำนวนสปอร์ต่อตัวของผึ้งมีม (A. florea) หลังจากทำการป้อนสปอร์ก่อนเข้าในชีมาที่ สกัดมาจากผึ้งโพรง (A. cerana) ด้วยความเข้มข้นของสปอร์ 80,000 สปอร์ต่อตัว และให้สารละลายพราวพอลิสที่ระดับความเข้มข้นต่างๆ คือ ความเข้มข้น 0% (OP) ความเข้มข้น 50% (50P) และความเข้มข้น 70% (70P) และกลุ่มควบคุมที่ไม่ได้ให้สารละลายพราวพอลิส 2 กลุ่ม คือ control (CO) and control ethanol (CE) และกลุ่มที่ให้สารละลายพราวพอลิสแต่ไม่ได้เข้าคือกลุ่ม CP (ANOVA- Duncan's multiple range test, $F_5=12.76$, $P<0.0038$)

ក្រសាន្តរបស់ខ្លួន និងក្រសាន្តរបស់អ្នកទាំងអស់ និងក្រសាន្តរបស់អ្នកទាំងអស់

ตารางที่ 4.1 กดับ CO คือผิวหนังที่ป้องกันสารละลายในครอง 50% (ระยะเวลาในน้ำก๊อก) และให้อาหารต่อ pollen mix เตรียม pollen 60 กลีบ ผิวหนังสำหรับถ่ายทอดร่อง 50% (ระยะเวลาในน้ำก๊อก) ประมาณ 17 มิตเดือน

ต่อต้านยาเสพติด 4.2 กก./hm² CP ศึกษาและทดลองผลิตภัณฑ์ยาเสพติด 50% (จะลดความเสี่ยงในน้ำภาคลุ่มน้ำ) และให้อาหารแก้ไข pollen mix เตรียม pollen 60 กวัช ผสมกับสารระงับยาเสพติด

ପ୍ରକାଶନ କମିଶନ୍ ଦ୍ୱାରା ପ୍ରକାଶିତ ଏକ ଗୁଣାଙ୍କିତ ପାଠ୍ୟକର୍ମ

ตารางที่ 4.3 กตุน CE คือ ผึ้งมีท่อป้อนส่วนกลางอยู่ครึ่ง 50% (จะถ่ายในรากลับ) มีสปอร์ Nosema 80,000 สปอร์ และให้อาหารด้วย pollen mix เตรียม pollen 60 กวั้ง ผึ้งก้าบสถาระละลายโดยรวม 50% (จะถ่ายใน ethanoil) ปริมาณต่อ 17 มิลลิลิตร

กตุน	จำนวนสปอร์ต่อตัว ($\times 10^6$ สปอร์/ตัว)									
	1	2	3	4	5	6	7	8	9	10
CE1 0.049	0.040	0.011	0.008	0.012	1.105	0.925	0.012	0.011	0.130	0.130
11 0.007	12 0	13 0.031	14 0	15 0	16 0.265	17 0.182	18 2.210	19 0.275	20 0.220	20
21 1.000	22 4.260	23 0.725	24 0.160	25 0.300	26 0.004	27 3.520	28 1.845	29 0.735	30 0.010	30
31 0.020	32 0.010	33 2.535	34 0.300	35 0.240	36 1.854	37 0.960	38 0.021	39 0	40 0	40
41 0.200	42 0.110	43 0.012	44 0.050	45 0.265	46 0	47 0.350	48 0	49 0	50 0	50
1 1.315	2 0	3 0.006	4 0.009	5 4.070	6 0.056	7 0.010	8 0.035	9 0	10 0.087	10
11 0.395	12 0.005	13 0.365	14 0.300	15 0.130	16 0.890	17 0.980	18 1.400	19 0.890	20 0.760	20
21 0	22 2.405	23 0	24 0	25 0	26 0	27 0.890	28 0	29 0	30 0	30
31 0.967	32 0.030	33 1.110	34 0.200	35 0	36 0.900	37 1.230	38 1.300	39 0.880	40 0.020	40
41 0.007	42 0.008	43 0.005	44 0.075	45 1.100	46 0.930	47 0.004	48 0.160	49 0.540	50 0.057	50

ຕາງ່າງ 4.4 ກສຸມ OP ສອ ຜົນນີ້ມີປະໂອນສາຮະລາຍງູ ດຽວ 50% (ຄະລາຍໃນໝັກສິນ) ມືສັບອົງ Nosema 80,000 ຊົບອົງ ແລະ ໃຫ້ອາຫາກີ່ອ pollen mix ເຊື່ຍມ pollen 60 ກສຸມ ພສມກປສາຮະລາຍງູ ດຽວ 50% (ຄະລາຍໃນໝັກສິນ) ປຣມາຕຣ 17 ມືລົດີຕຣ

ກສຸມ	ຈຳນວນສະບັບອົງຕົວ (×10 ⁶ ສັບອົງ/ຕົວ)									
	1	2	3	4	5	6	7	8	9	10
OP1	0.034	0.030	0.615	0.370	1.610	0.350	0.965	0.845	8.100	2.245
	11	12	13	14	15	16	17	18	19	20
3.165	3.975	0.610	3.895	1.855	0.855	2.860	0.715	2.050	7.990	
	21	22	23	24	25	26	27	28	29	30
2.445	0.910	0.535	0.230	3.110	5.830	2.015	2.155	3.985	2.270	
	31	32	33	34	35	36	37	38	39	40
3.535	3.835	2.550	5.565	5.085	4.310	3.520	1.780	1.155	8.095	
	41	42	43	44	45	46	47	48	49	50
5.810	0.030	2.265	2.615	0.013	2.456	8.225	9.707	1.580	6.400	
	1	2	3	4	5	6	7	8	9	10
OP2	0.053	0.056	1.820	0.010	2.570	4.425	7.500	2.200	0.485	5.690
	11	12	13	14	15	16	17	18	19	20
2.130	2.190	8.800	5.470	2.870	0.395	5.265	7.200	5.865	4.385	
	21	22	23	24	25	26	27	28	29	30
3.805	2.145	0.820	6.900	2.155	4.690	4.825	13.500	9.385	5.815	
	31	32	33	34	35	36	37	38	39	40
7.495	3.980	6.630	5.170	5.585	4.440	20.400	8.610	4.485	17.700	
	41	42	43	44	45	46	47	48	49	50
0.090	10.695	4.595	3.070	1.570	0.985	1.140	9.985	1.725	1.810	

ตรางาที่ 4.5 กษร 50P คือ ผึ้งมีทั้งวนsigmaและlambdaโดยครึ่ง 50% (จะถ่ายในนาฬิกา) มีสปอร์ Nosema 80,000 สปอร์ และให้อาหารต่อ pollen mix เตรียม pollen 60 กิรัม ผึ้งมีป่าsigmaและlambdaโดยครึ่ง 50% (จะถ่ายในพืชชนิดอื่น) ปริมาณต่อ 17 มิลลิลิตร

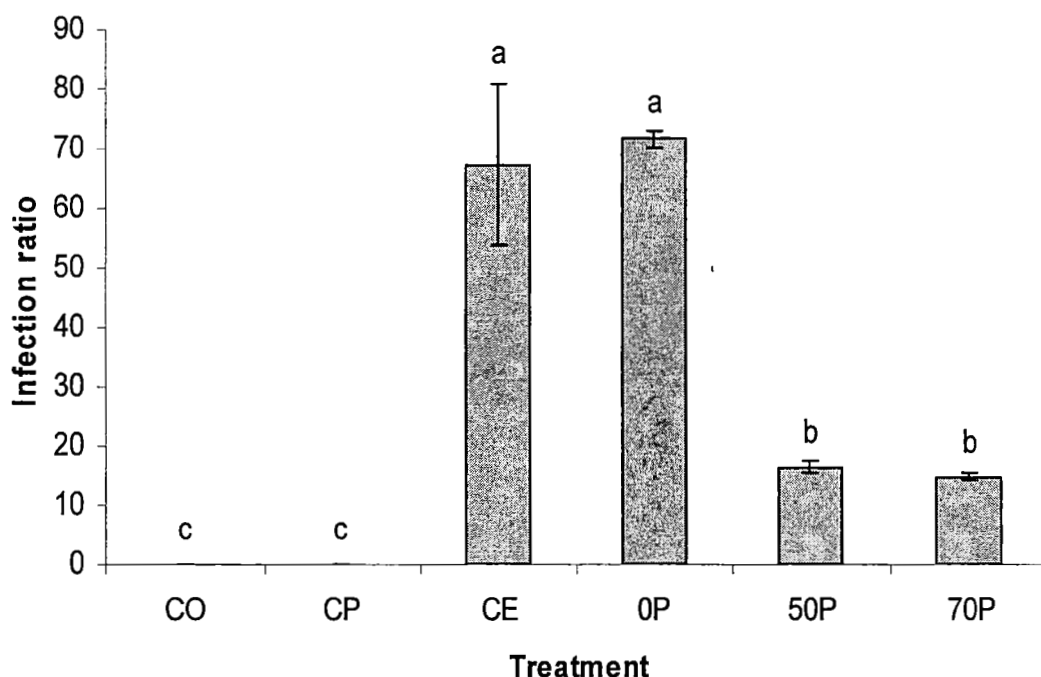
ପାଞ୍ଚମୀ ଶତାବ୍ଦୀ ମଧ୍ୟରେ କିମ୍ବା ଏହାରେ ପରିବର୍ତ୍ତନ ହେଲାମୁଣ୍ଡଳୀରେ କିମ୍ବା ଏହାରେ ପରିବର୍ତ୍ତନ ହେଲାମୁଣ୍ଡଳୀରେ

ตารางที่ 4.6 กลุ่ม 70P ศีว ผึ้งมีที่ป์โอนสาระลากูโคร์ 50% (จะถ่ายในน้ำเกลี้ยง) มีสเปอร์ Nosema 80,000 สเปอร์ และให้อาหารศีว pollen mix เตรียม pollen 60 วินิจฉัย ผึ้งมีป์โอนสาระลากูโคร์ 50% (จะถ่ายในน้ำขorphic 70%) ปริมาณต่อ 17 มิลลิลิตร

กลุ่ม	จำนวนสเปอร์ต่อตัว ($\times 10^6$ สเปอร์/ตัว)									
	1	2	3	4	5	6	7	8	9	10
70P1	0.003	0.540	0.610	0.935	0	0	0.004	0	0.020	0.975
	12	13	14	15	16	17	18	19	20	0
	0	1.350	0	0	0	0.004	0	0.009	0.870	
	21	22	23	24	25	26	27	28	29	30
	0.040	0	0.004	0	0.004	0.003	0	0	0.127	0
	31	32	33	34	35	36	37	38	39	40
	0.065	0.007	0.325	0	0	0	0	0	0	0.245
	41	42	43	44	45	46	47	48	49	50
	0	0	0.004	0	0.003	0.014	0	0	0	
	1	2	3	4	5	6	7	8	9	10
70P1	0.002	0	0.179	0.003	0.003	0.560	0	3.455	0	0
	11	12	13	14	15	16	17	18	19	20
	0.018	0	0.011	0	0	1.055	0.490	0	0	0
	21	22	23	24	25	26	27	28	29	30
	0.435	0	0.008	1.830	0.041	1.215	0	0	0	0.011
	31	32	33	34	35	36	37	38	39	40
	0	0	0.024	0	0	0.016	0	0	0	0.930
	41	42	43	44	45	46	47	48	49	50
	0.980	0.007	0.325	0.700	0	0.003	0	0	0	0

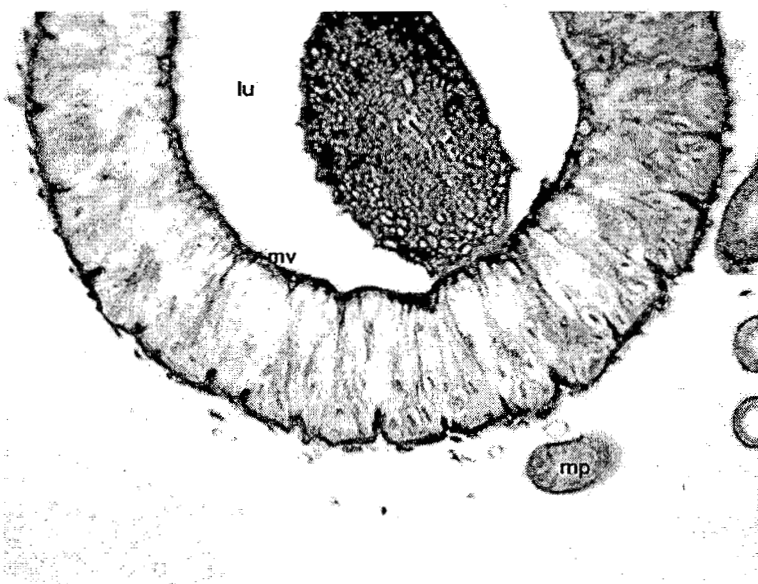
4.1.4 ร้อยละของเชลล์ที่ติดเชื้อและเชลล์ไม่ติดเชื้อ (Infection ratio) วันที่ 14 หลังจากให้เชื้อของผึ้งมีม (Infection ratio of *A. florea*)

กลุ่ม CO และ CP ไม่พบการติดเชื้อภายในเซลล์ และพบการติดเชื้อภายในเซลล์ ในกลุ่ม CE 0P 50P และ 70P คือ $67.23\% \pm 13.68$ $71.53\% \pm 1.6$ $16.40\% \pm 0.98$ และ $14.73\% \pm 0.62$ ตามลำดับ กลุ่ม OP ติดเชื้อภายในเซลล์สูงที่สุดและไม่แตกต่างกันกับกลุ่ม CE ทั้ง OP และ CE แตกต่างกับกลุ่ม 50P และ 70P อย่างมีนัยสำคัญทางสถิติ ($F_5 = 66.69$, $P < 0.0001$) อย่างไรก็ตามเซลล์ที่ติดเชื้อระหว่าง 50P และ 70P ไม่แตกต่างกัน

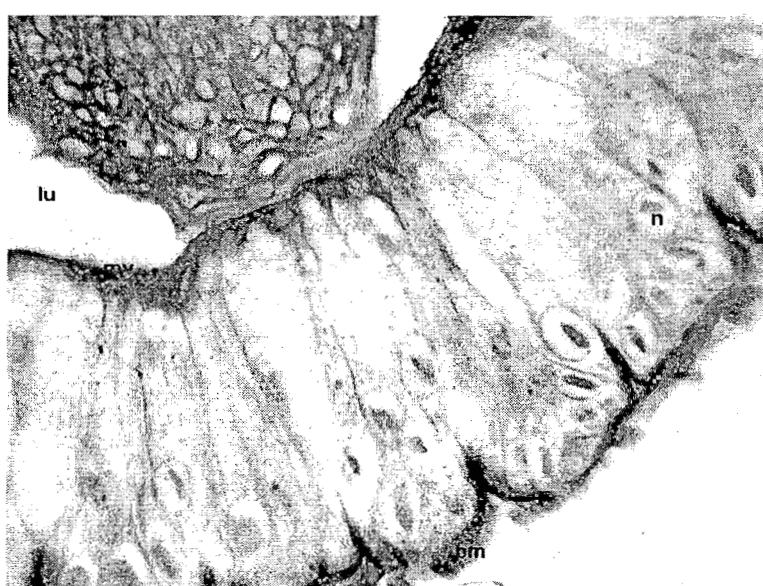


รูปที่ 4.5 แสดงร้อยละของเซลล์ที่ติดเชื้อในอาหารส่วนกลางของผึ้งมีม (*A. florea*) หลังจากการป้อนสปอร์ของเชื้อในตีม่า (วันที่ 14) ที่สกัดมาจากผึ้งพวง (*A. cerana*) ด้วยความเข้มข้นของสปอร์ 80,000 สปอร์ต่อตัว และให้สารละลายพรอพอลิสที่ ระดับความเข้มข้นต่างๆ คือ ความเข้มข้น 0% (OP) ความเข้มข้น 50% (50P) และความเข้มข้น 70% (70P) และกลุ่มควบคุมที่ไม่ได้ให้สารละลายพรอพอลิส 2 กลุ่ม คือ control (CO) and control ethanol (CE) และกลุ่มที่ให้สารละลายพรอพอลิสแต่ไม่ให้เชื้อคือกลุ่ม CP (ANOVA- Duncan's multiple range test, $F_5 = 66.69$, $P < 0.0001$)

ศึกษาภายใต้กล้องจุลทรรศน์แบบใช้แสง (Light microscopic study) ผึ้งมีมีกลุ่มควบคุม (CO) ไม่พบการติดเชื้อในชีวามาในผึ้งกลุ่มควบคุม เซลล์ทางเดินอาหารส่วนกลางของผึ้งมีรูปร่างเป็นแท่งทรงกระบอก (columnar) และบริเวณส่วนยอดของเซลล์มี microvilli อยู่หนาแน่น ส่วนรูปร่างของนิวเคลียสเป็นรูปไข่อยู่บริเวณฐานของเซลล์ จะสังเกตเห็นทางเดินอาหารส่วนกลางมีลักษณะโค้งงอขึ้นลง (folding)



รูปที่ 4.6 แสดงทางเดินอาหารส่วนกลางของผึ้งงานของผึ้งมีมีกลุ่มควบคุมในวันที่ 14 หลังจากการทดลอง (PAS, 400x) (lu, lumen; mv, microvilli; mp, multiphigian tubule)



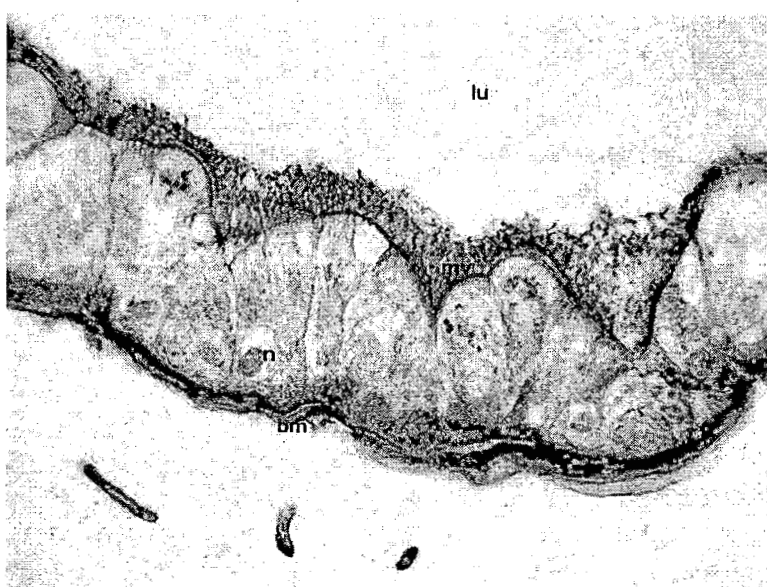
รูปที่ 4.7 แสดงทางเดินอาหารส่วนกลางของผึ้งงานของผึ้งมีมีกลุ่มควบคุมในวันที่ 14 หลังจากการทดลอง (PAS, 1000x) (lu, lumen; mv, microvilli; bm, basement membrane; n, nucleus)

ผึ้งมีม์ในกลุ่มควบคุม (CP)

ไม่พบการติดเชื้อในศีรษะในผึ้งกลุ่ม CP เชลล์ทางเดินอาหารส่วนกลางของผึ้งมีรูปร่างเป็นแท่งทรงกระบอก (columnar) และบริเวณส่วนยอดของเชลล์มี microvilli อยู่หนาแน่น ลักษณะเหมือนกับกลุ่ม CO ส่วนรูปร่างของนิวเคลียสเป็นรูปไข่อยู่บริเวณฐานของเชลล์



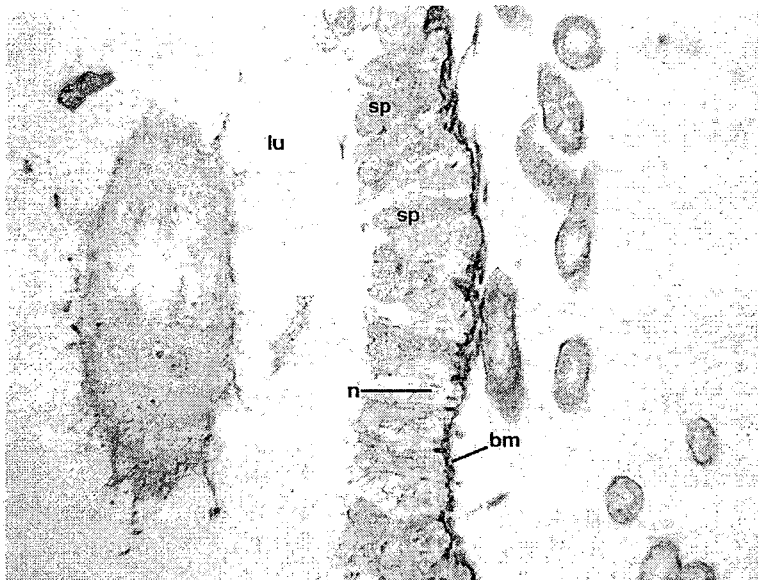
รูปที่ 4.8 แสดงทางเดินอาหารส่วนกลางของผึ้งงานของผึ้งมีม์กลุ่ม CP ในวันที่ 14 หลังจากการทดลอง (PAS, 400x) (lu, lumen; n, nucleus)



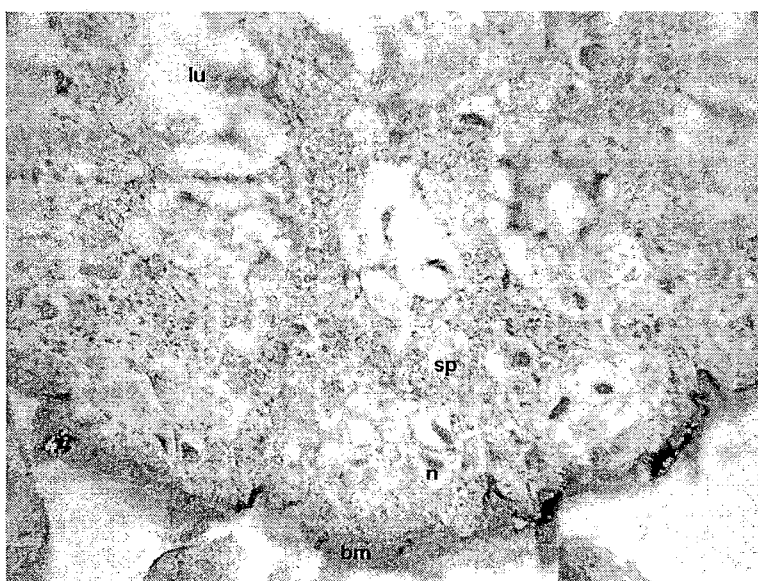
รูปที่ 4.9 แสดงทางเดินอาหารส่วนกลางของผึ้งงานของผึ้งมีม์กลุ่ม CP ในวันที่ 14 หลังจากการทดลอง (PAS, 1000x) (lu, lumen; mv, microvilli; bm, basement membrane; n, nucleus)

ผึ้งมีมีนิกลุ่ม (CE)

โครงสร้างของเซลล์ได้รับความเสียหายจากการติดเชื้อสามารถพบสปอร์โนซีมาได้ในไซโตพลาสซึมของเซลล์ทางเดินอาหารส่วนกลางของผึ้งและที่บริเวณปลายอิสระของเซลล์เสียหาย บริเวณส่วนยอดของเซลล์เยื่อบุผิวที่ติดเชื้อได้รับความเสียหาย และไซโตพลาสซึมขยายใหญ่ขึ้น



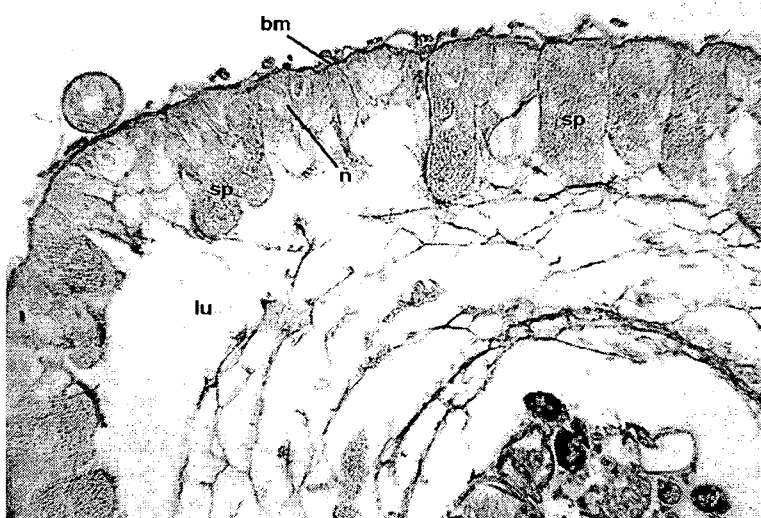
รูปที่ 4.10 แสดงทางเดินอาหารส่วนกลางของผึ้งงานของผึ้งมีมิกลุ่ม CE ในวันที่ 14 หลังจากการตดลอง (PAS, 400x) (lu, lumen; sp, spores; bm, basement membrane; n, nucleus)



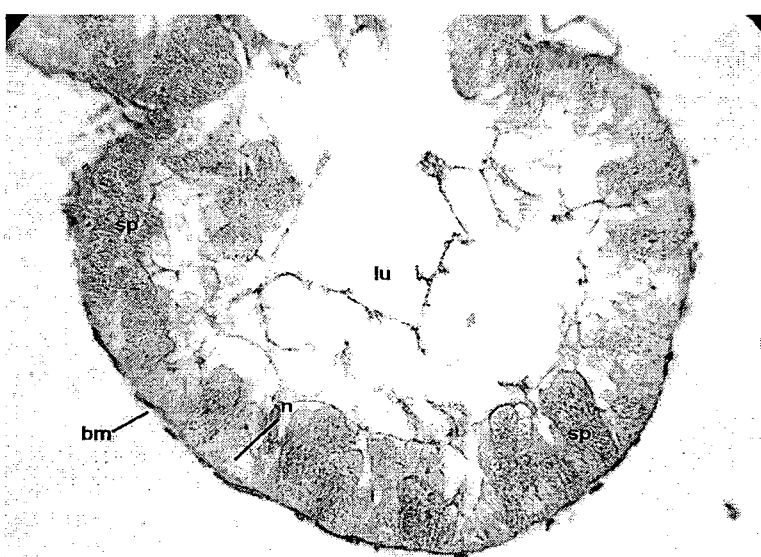
รูปที่ 4.11 แสดงทางเดินอาหารส่วนกลางของผึ้งงานของผึ้งมีมิกลุ่ม CE ในวันที่ 14 หลังจากการตดลอง (PAS, 1000x) (lu, lumen; sp, spores; bm, basement membrane; n, nucleus)

ผึ้งมี้มในกลุ่ม (OP)

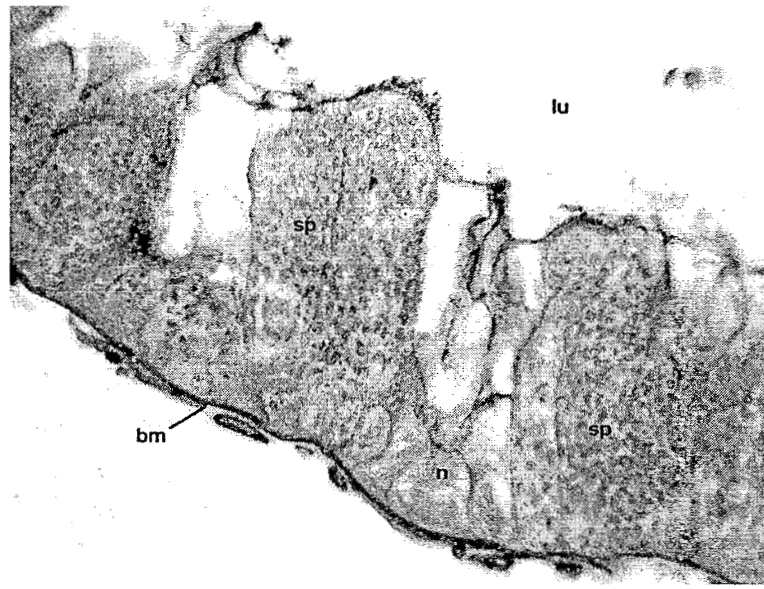
สามารถพบสปอร์ในซีมาได้ในไซโตพลาสซึมของเซลล์ทางเดินอาหารส่วนกลางของผึ้ง สังเกตเห็นสปอร์ที่เจริญเติบโตแล้ว (mature spores) ภายในไซโตพลาสซึมของเซลล์ทางเดินอาหารของผึ้งที่ติดเชื้อ นอกจากนี้ยังพบว่า microvilli ที่บริเวณปลายอิสระของเซลล์เสียหาย บริเวณส่วนยอดของเซลล์เยื่อบุผิวที่ติดเชื้อได้รับความเสียหาย และไซโตพลาสซึมขยายใหญ่ขึ้นซึ่งมีลักษณะ เช่นเดียวกับกลุ่ม CE อย่างไรก็ตามเซลล์ทางเดินอาหารบางเซลล์ไม่ติดเชื้อโดยสามารถพบได้ใกล้กับกลุ่มเซลล์ที่ติดเชื้อ



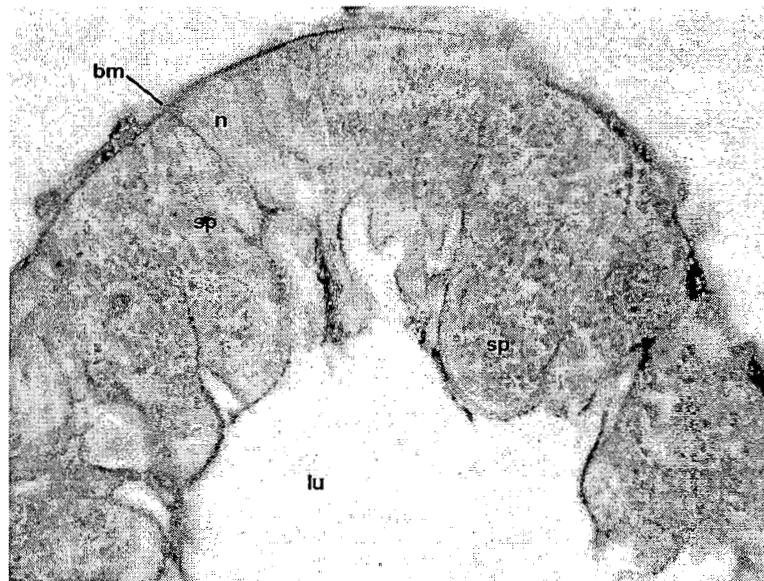
รูปที่ 4.12 แสดงทางเดินอาหารส่วนกลางของผึ้งงานของผึ้งมี้มกลุ่ม OP ในวันที่ 14 หลังจากการทดลอง (PAS, 400x) (lu, lumen; sp, spores; bm, basement membrane; n, nucleus)



รูปที่ 4.13 แสดงทางเดินอาหารส่วนกลางของผึ้งงานของผึ้งมี้มกลุ่ม OP ในวันที่ 14 หลังจากการทดลอง (PAS, 400x) (lu, lumen; sp, spores; bm, basement membrane; n, nucleus)



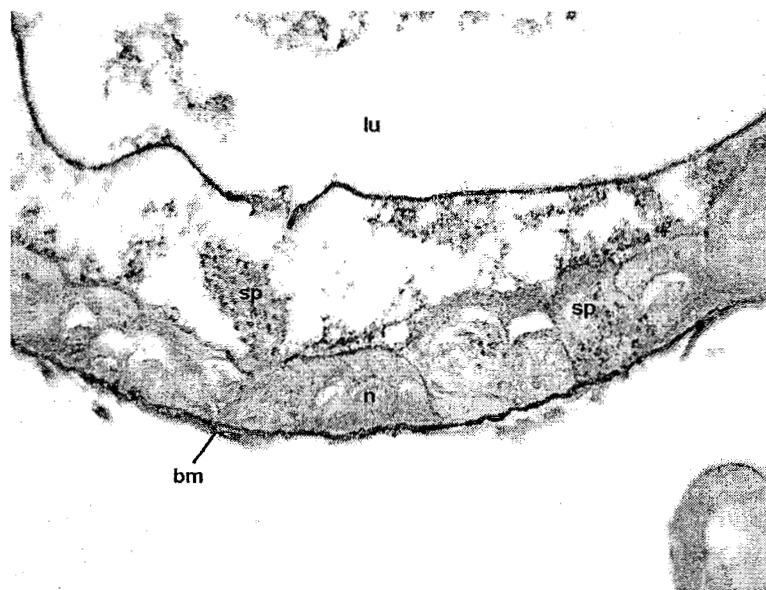
รูปที่ 4.14 แสดงทางเดินอาหารส่วนกลางของผึ้งงานของผึ้งมีมีกลุ่ม OP ในวันที่ 14 หลังจากการทดลอง
(PAS, 1000x) (lu, lumen; sp, spores; bm, basement membrane; n, nucleus)



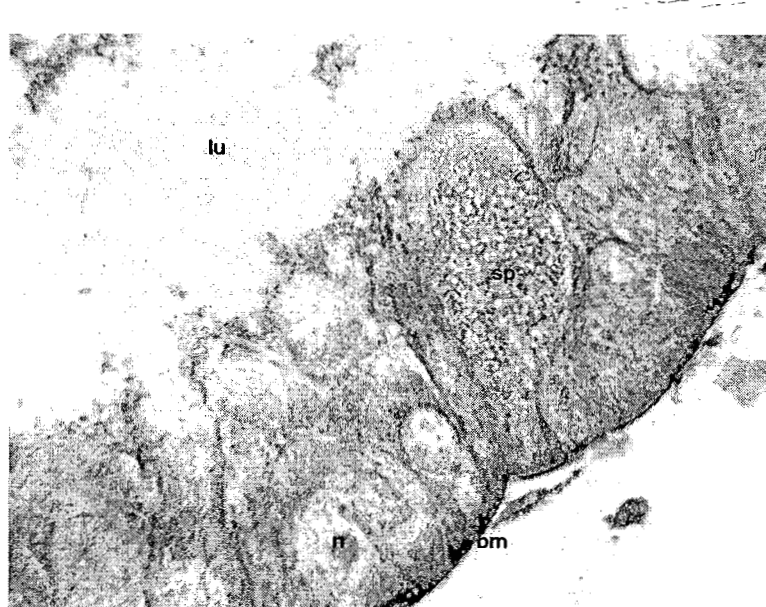
รูปที่ 4.15 แสดงทางเดินอาหารส่วนกลางของผึ้งงานของผึ้งมีมีกลุ่ม OP ในวันที่ 14 หลังจากการทดลอง
(PAS, 1000x) (lu, lumen; sp, spores; bm, basement membrane; n, nucleus)

ผึ้งมีมีในกลุ่ม (50P)

สามารถพบสปอร์ในซีมาได้ในเชิงดิพลาสซีมของเซลล์ทางเดินอาหารส่วนกลางของผึ้งบางเซลล์ โครงสร้างของเซลล์ได้รับความเสียหายไม่มากเมื่อเปรียบเทียบกับกลุ่ม OP



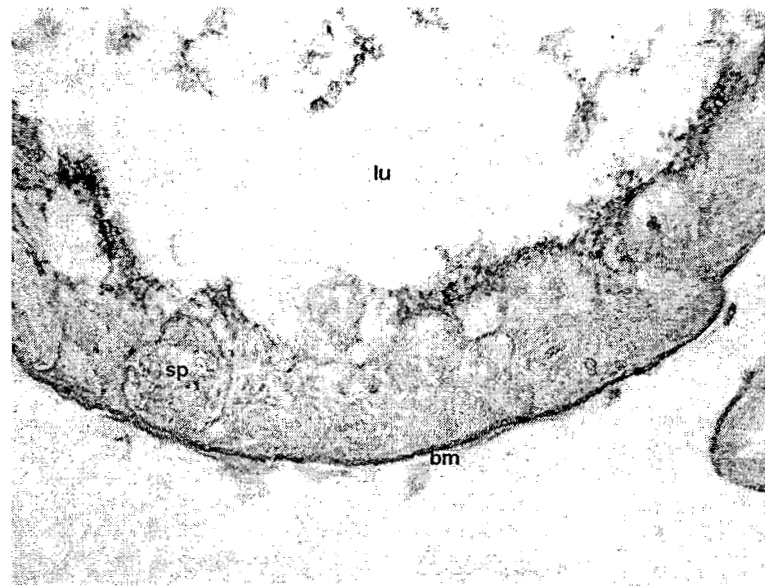
รูปที่ 4.16 แสดงทางเดินอาหารส่วนกลางของผึ้งงานของผึ้งมีมีกลุ่ม 50P ในวันที่ 14 หลังจากการทดลอง (PAS, 400x) (lu, lumen; sp, spores; bm, basement membrane; n, nucleus)



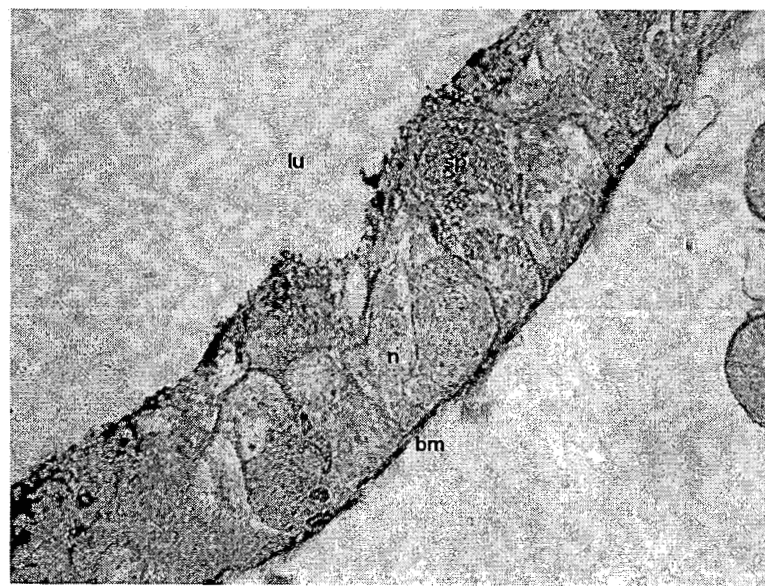
รูปที่ 4.17 แสดงทางเดินอาหารส่วนกลางของผึ้งงานของผึ้งมีมีกลุ่ม 50P ในวันที่ 14 หลังจากการทดลอง (PAS, 1000x) (lu, lumen; sp, spores; bm, basement membrane; n, nucleus)

ผึ้งมีม์ในกลุ่ม (70P)

พบสปอร์โนซีเม่าในไซโตพลาสซึมของเซลล์ทางเดินอาหารส่วนกลางของผึ้งบางเซลล์ เช่นเดียวกับกลุ่ม 50P



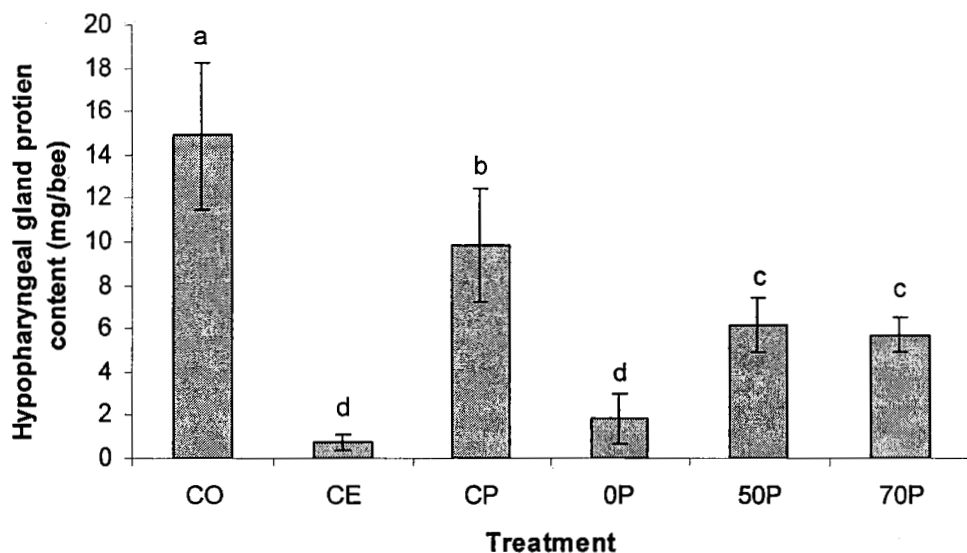
รูปที่ 4.18 แสดงทางเดินอาหารส่วนกลางของผึ้งงานของผึ้งมีม์กลุ่ม 70P ในวันที่ 14 หลังจากการทดลอง (PAS, 400x) (lu, lumen; sp, spores; bm, basement membrane; n, nucleus)



รูปที่ 4.19 แสดงทางเดินอาหารส่วนกลางของผึ้งงานของผึ้งมีม์กลุ่ม 70P ในวันที่ 14 หลังจากการทดลอง (PAS, 400x) (lu, lumen; sp, spores; bm, basement membrane; n, nucleus)

4.1.5 โปรตีนจากต่อมไฮโปฟาริงค์ของผึ้งมีม (Protein contents of hypopharyngeal glands of *A. florea*)

ค่าเฉลี่ยของโปรตีนจากต่อมไฮโปฟาริงค์ของผึ้งมีมในวันที่ 14 หลังจากผึ้งติดเชื้อ คือ 14.86 ± 3.35 มิลลิกรัม/ตัว 0.77 ± 0.36 มิลลิกรัม/ตัว 9.88 ± 2.61 มิลลิกรัม/ตัว 1.81 ± 1.16 มิลลิกรัม/ตัว 6.15 ± 1.27 มิลลิกรัม/ตัว และ 5.68 ± 0.76 มิลลิกรัม/ตัว ในกลุ่ม CO CP CE OP 50P และ 70P ตามลำดับ กลุ่ม CO มีปริมาณโปรตีนสูงที่สุด กลุ่ม 50P และ 70P มีปริมาณโปรตีนไม่แตกต่างกันและทั้งสองกลุ่มยังมีปริมาณโปรตีนมากกว่ากลุ่ม CE และ OP แต่น้อยกว่า กลุ่ม CO และ CP อย่างมีนัยสำคัญทางสถิติ ($F_5 = 21.25$, $P < 0.0001$)

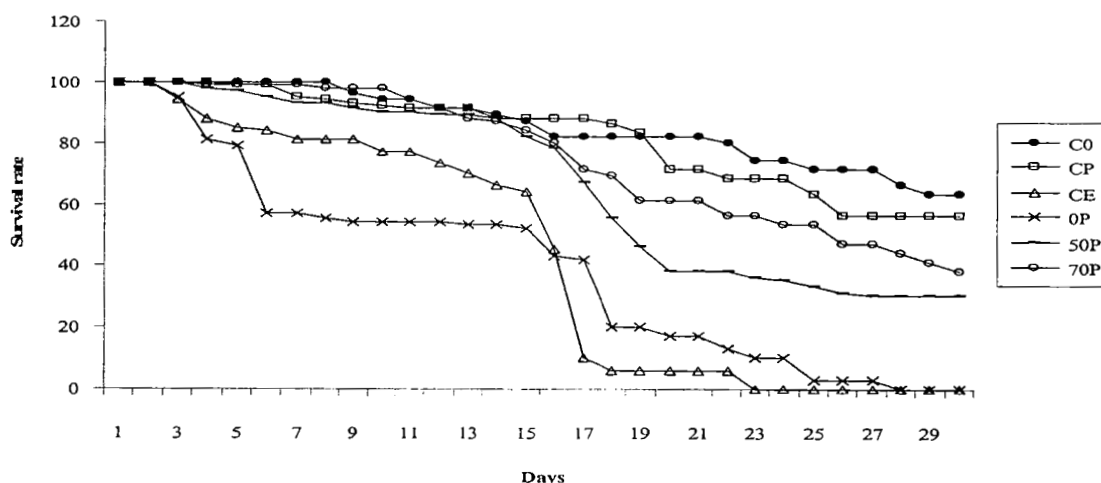


รูปที่ 4.20 ค่าเฉลี่ยความเข้มข้นโปรตีน (มิลลิกรัมต่อตัว) จากต่อมไฮโปฟาริงค์ของผึ้งมีมในวันที่ 14 หลังจากทำการป้อนสปอร์ของเชื้อในเชื้ามาศักดิ์มาจากผึ้งเพวง (*A. cerana*) ด้วยความเข้มข้นของสปอร์ 80,000 สปอร์ต่อตัว และให้สารละลายน้ำตาลพอลิสที่ระดับความเข้มข้นต่างๆ คือ ความเข้มข้น 0% (OP) ความเข้มข้น 50% (50P) และความเข้มข้น 70% (70P) และกลุ่มควบคุมที่ไม่ได้ให้สารละลายน้ำตาลพอลิส 2 กลุ่ม คือ control (CO) and control ethanol (CE) และกลุ่มที่ให้สารละลายน้ำตาลพอลิสแต่ไม่ให้เชื้อคือกลุ่ม CP (ANOVA- Duncan's multiple range test, $F_5 = 21.25$, $P < 0.0001$)

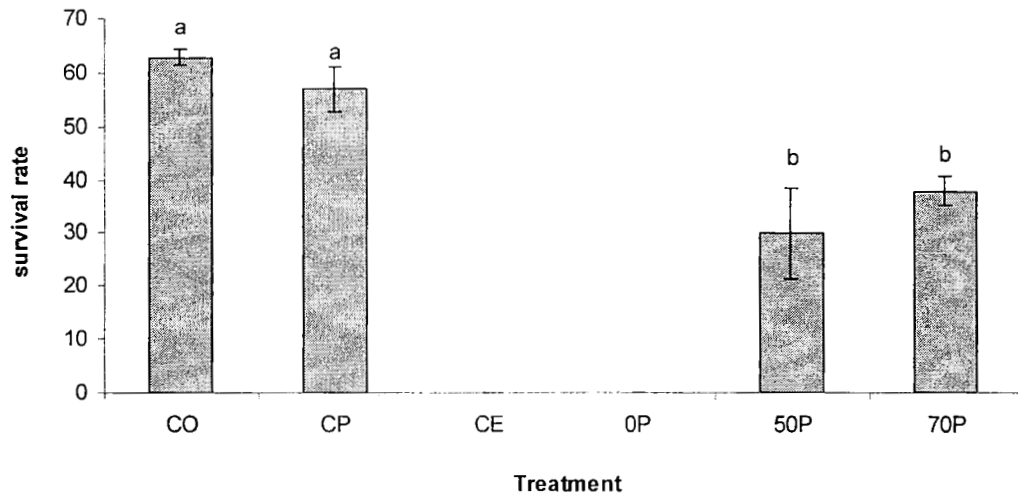
4.2 ผลของพروพอลิสที่มีต่ออัตราการรอดชีวิต การติดเชื้อ ร้อยละการติดเชื้อภายในเซลล์ และค่าโปรตีนจากต่อมไฮโพฟาริงค์ของผึ้งโพรง (Effect of propolis on honeybee survivalrate, infectivity, infection rate, infection ratio and protein content of hypopharyngeal glands of *Apis cerana*)

4.2.1 อัตราการรอดชีวิตของผึ้งโพรง (Survival rate of *A. cerana*)

ศึกษาเปรียบเทียบอัตราการรอดชีวิตหลังจากการป้อนเชื้อในซีมาเป็นระยะเวลา 30 วัน จากการทดลองพบว่าผึ้งในกลุ่มที่ได้รับเชื้อในซีมาจะเริ่มพบรากตาด้วยเร็วกว่ากลุ่มควบคุม โดยเริ่มพบรากตาดายของผึ้งในวันที่ 3 หลังจากการป้อนเชื้อแล้วในขณะที่กลุ่มควบคุมหั้งสองกลุ่ม (CO และ CP) เริ่มพบรากตาดายของผึ้งในวันที่ 7 และ 9 นอกจากนี้ยังพบว่าผึ้งในกลุ่มทดลอง CE และ OP ตายหมดทุกตัวในวันที่ 24 และ 28 ของการทดลอง หั้งสองกลุ่มนี้มีอัตราการรอดชีวิตเป็น 0% ในขณะที่กลุ่ม 50P และ 70P มีอัตราการรอดชีวิตที่สูงกว่าเมื่อเทียบกับกลุ่ม CO และ CP โดยมีอัตราการรอดชีวิตดังนี้คือ $30 \pm 8.48\%$ และ $38 \pm 2.42\%$ ตามลำดับ แต่เมื่อนำอัตราการรอดชีวิตของกลุ่ม 50P และ 70P เทียบกับกลุ่มควบคุมหั้งสองกลุ่ม (CO และ CP) พบรากตาด้วยความแตกต่างกันอย่างมีนัยสำคัญทางสถิติ ($F_5=88.11$, $P<0.0001$) ดังรูปที่ 4.21 และ รูปที่ 4.22



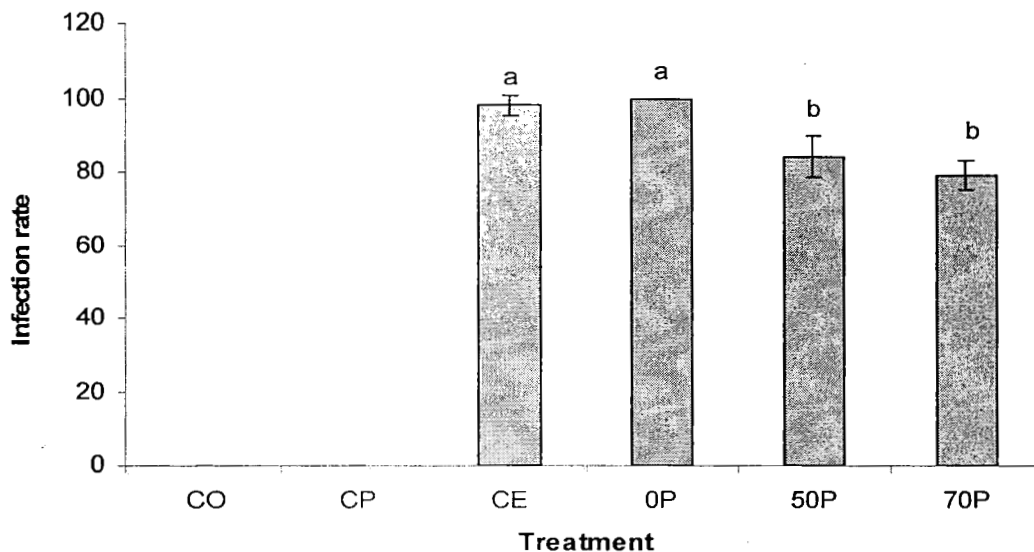
รูปที่ 4.21 แสดงอัตราการรอดชีวิตผึ้งโพรง (*A. cerana*) หลังจากทำการป้อนสปอร์ของเชื้อในซีมาที่สกัดมาจากผึ้งโพรง (*A. cerana*) ด้วยความเข้มข้นของสปอร์ 80,000 สปอร์ต่อตัว และให้สารละลายพروพอลิสที่ระดับความเข้มข้นต่างๆ คือ ความเข้มข้น 0% (OP) ความเข้มข้น 50% (50P) และความเข้มข้น 70% (70P) และกลุ่มควบคุมที่ไม่ได้ให้สารละลายพروพอลิส 2 กลุ่ม คือ control (CO) and control ethanol (CE) และกลุ่มที่ให้สารละลายพروพอลิสแต่ไม่ได้เชื้อคือกลุ่ม CP เป็นระยะเวลา 30 วัน (ANOVA- Duncan's multiple range test, $F_5=88.11$, $P<0.0001$)



รูปที่ 4.22 แสดงค่าเฉลี่ยการรอดชีวิตคิดเป็นร้อยละ \pm SD ของผึ้งโพรง (*A. cerana*) หลังจากทำการป้อนสปอร์ของเชื้อโนซีมาที่สกัดมาจากผึ้งโพรง (*A. cerana*) ด้วยความเข้มข้นของสปอร์ 80,000 สปอร์ต่อตัว และให้สารละลายพรอพอลิสที่ระดับความเข้มข้นต่างๆ คือ ความเข้มข้น 0% (OP) ความเข้มข้น 50% (50P) และความเข้มข้น 70% (70P) และกลุ่มควบคุมที่ไม่ได้ให้สารละลายพรอพอลิส 2 กลุ่ม คือ control (CO) และ control ethanol (CE) และกลุ่มที่ให้สารละลายพรอพอลิสแต่ไม่ได้เชื้อคือกลุ่ม CP เป็นระยะเวลา 30 วัน (ANOVA- Duncan's multiple range test, $F_5=88.11, P<0.0001$)

4.2.2 อัตราการติดเชื้อของผึ้งโพรง (Infection rate of *A. cerana*)

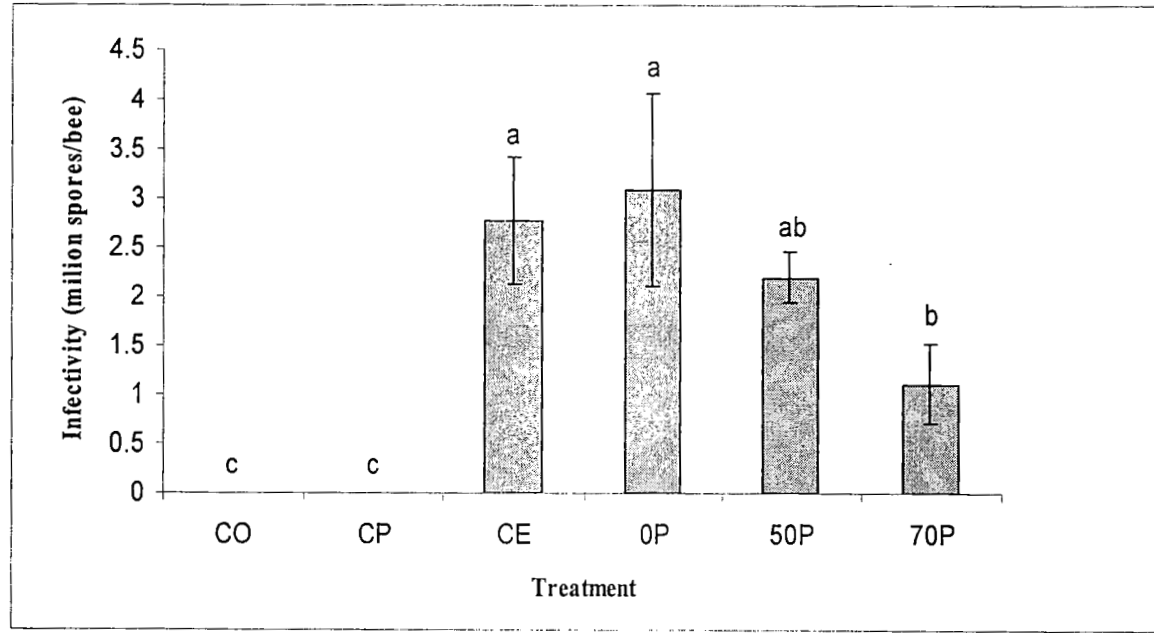
จากการศึกษาอัตราการติดเชื้อพบว่าต่อต้านการศึกษาผึ้งในกลุ่ม CO และ CP ไม่พบการติดเชื้อในขณะเดียวกันผึ้งในกลุ่มทดลองที่เหลือทั้งหมด คือกลุ่ม CE OP 50P และ 70P พบรการติดเชื้อโนซีมา ทุกกลุ่มโดยมี อัตราการติดเชื้อตามลำดับดังนี้ คือ $98 \pm 2.82\%$ 100% $84 \pm 5.65\%$ และ $79 \pm 4.24\%$ ซึ่งจากการทดลองพบว่าในกลุ่ม OP มีอัตราการติดเชื้อสูงสุด แต่เมื่อทดสอบทางสถิติพบว่าอัตราการติดเชื้อของผึ้งในกลุ่ม OP และ CE ไม่มีความแตกต่างกัน แต่เมื่อเปรียบเทียบหงส์สองกลุ่มนี้กับผึ้งในกลุ่ม 50P และ 70P ที่ได้รับสารสกัดพรอพอลิสหลังการติดเชื้อพบว่ามีความแตกต่างกันอย่างมีนัยสำคัญทางสถิติ ($F_5=462.66, P<0.0001$) ดังรูปที่ 4.23



รูปที่ 4.23 แสดงค่าเฉลี่ยการติดเชื้อคิดเป็นร้อยละ \pm SD ของผึ้งโพรง (*A. cerana*) หลังจากทำการป้อนสปอร์ของเชื้อโนเรียที่สกัดมาจากผึ้งโพรง (*A. cerana*) ด้วยความเข้มข้นของสปอร์ 80,000 สปอร์ต่อตัว และให้สารละลายพรอพอลิสที่ ระดับความเข้มข้นต่างๆ คือ ความเข้มข้น 0% (OP) ความเข้มข้น 50% (50P) และความเข้มข้น 70% (70P) และกลุ่มควบคุมที่ไม่ได้ให้สารละลายพรอพอลิส 2 กลุ่ม คือ control (CO) and control ethanol (CE) และกลุ่มที่ให้สารละลายพรอพอลิสแต่ไม่ให้เชื้อคือกลุ่ม CP (ANOVA- Duncan's multiple range test, $F_5=462.66, P<0.0001$)

4.2.3 ค่าเฉลี่ยจำนวนสปอร์/ตัวของผึ้งโพรง (Infectivity of *A. cerana*)

จากการศึกษาปริมาณการติดเชื้อหรือจำนวนสปอร์เฉลี่ยต่อตัวบีโวนทางเดินอาหารส่วนกลางของผึ้งโพรง (*A. cerana*) ภายใต้กล้องจุลทรรศน์แบบใช้แสง พบร่วมในกลุ่มควบคุมคือ กลุ่ม CO และ CP ไม่พบการติดเชื้อตลอดการศึกษา ส่วนผึ้งในกลุ่มที่ให้เชื้อกลุ่มต่างๆ สามารถตรวจพบจำนวนสปอร์เฉลี่ยต่อตัวได้ตามลำดับดังนี้ คือกลุ่ม CE พบรค่าเฉลี่ย $2.77 \times 10^6 \pm 0.64$ (ซึ่งค่าเฉลี่ยของการติดเชื้อ 0 – 20.325×10^6 สปอร์/ตัว) กลุ่ม OP มีค่าเฉลี่ยการติดเชื้อออยู่ที่ $3.08 \times 10^6 \pm 0.98$ (ซึ่งค่าเฉลี่ยของการติดเชื้อ 0.032×10^6 – 47.70×10^6 สปอร์/ตัว) กลุ่ม 50P มีค่าเฉลี่ย $2.19 \times 10^6 \pm 0.26$ (ซึ่งค่าเฉลี่ยของการติดเชื้อ 0 – 9.88×10^6 สปอร์/ตัว) และกลุ่ม 70P มีค่าเฉลี่ย $1.1086 \times 10^6 \pm 0.405$ (ซึ่งค่าเฉลี่ยของการติดเชื้อ 0 – 10.175×10^6 สปอร์/ตัว) ซึ่งพบว่าเป็นกลุ่มที่มีค่าเฉลี่ยการติดเชื้อน้อยที่สุดเมื่อเทียบกับกลุ่มอื่นๆ เมื่อวิเคราะห์ทางสถิติแล้วพบว่าไม่มีความแตกต่างกับกลุ่ม 50P แต่มีความแตกต่างกับกลุ่ม CE และกลุ่ม OP อย่างมีนัยสำคัญทางสถิติ ($F_5=13.82, P<0.0030$) ส่วนกลุ่มที่พบการติดเชื้อต่อตัวสูงที่สุดคือ OP ดังรูปที่



รูปที่ 4.24 ค่าเฉลี่ยจำนวนสปอร์ต่อตัวของผึ้งพวง (*A. cerana*) หลังจากทำการป้อนสปอร์ของเชื้อในรีมาที่สกัดมาจากผึ้งพวง (*A. cerana*) ด้วยความเข้มข้นของสปอร์ 80,000 สปอร์ต่อตัว และให้สารละลายพรอพอลิสที่ระดับความเข้มข้นต่างๆ คือ ความเข้มข้น 0% (OP) ความเข้มข้น 50% (50P) และความเข้มข้น 70% (70P) และกลุ่มควบคุมที่ไม่ได้ให้สารละลายพรอพอลิส 2 กลุ่ม คือ control (CO) and control ethanol (CE) และกลุ่มที่ให้สารละลายพรอพอลิสแต่ไม่ให้เชื้อคือกลุ่ม CP (ANOVA- Duncan's multiple range test, $F_5=13.82$, $P<0.0030$)

ตารางที่ 4.7 กณิม CO ศืด ผึ้งพวงที่ป้อนส่วนผสมละลายน้ำโดยครึ่ง 50% (ละลายน้ำหนึ่งครึ่ง) และให้อาหารต่อ pollen mix เตรียม pollen mix 60 กณิม ผึ้งสมกับสารละลายน้ำโดยครึ่ง

50% (ละลายน้ำหนึ่งครึ่ง) ประมาณ 17 มิลลิลิตร
กณิมในน้ำหนึ่งครึ่ง (มิลลิลิตร)

กณิม	จำนวนสเปอร์ต่อตัว ($\times 10^6$ สเปอร์/ตัว)									
	1	2	3	4	5	6	7	8	9	10
CO1	0	0	0	0	0	0	0	0	0	0
	11	12	13	14	15	16	17	18	19	20
	0	0	0	0	0	0	0	0	0	0
	21	22	23	24	25	26	27	28	29	30
	0	0	0	0	0	0	0	0	0	0
	31	32	33	34	35	36	37	38	39	40
	0	0	0	0	0	0	0	0	0	0
	41	42	43	44	45	46	47	48	49	50
	0	0	0	0	0	0	0	0	0	0
	1	2	3	4	5	6	7	8	9	10
CO1	0	0	0	0	0	0	0	0	0	0
	11	12	13	14	15	16	17	18	19	20
	0	0	0	0	0	0	0	0	0	0
	21	22	23	24	25	26	27	28	29	30
	0	0	0	0	0	0	0	0	0	0
	31	32	33	34	35	36	37	38	39	40
	0	0	0	0	0	0	0	0	0	0
	41	42	43	44	45	46	47	48	49	50
	0	0	0	0	0	0	0	0	0	0
	1	2	3	4	5	6	7	8	9	10

ตามรายงานที่ 4.8 กดง.นว. CP คือ ผู้ผลิตที่ปลูกพืชทางการเกษตร 50% (จะลดลงในปีหน้าก่อตั้ง) และให้อาหารตัวอย่าง pollen mix เหล่านี้กับตัวอย่าง pollen 60 กว่าชนิด แต่พบว่าตัวอย่างที่มีปริมาณต่ำกว่า 17 มีผลต่อตัวอย่าง 50% (จะลดลงในปีหน้าลดตัวอย่าง 70%) ปริมาณต่ำกว่า 17 มีผลต่อตัว

ตารางที่ 4.9 กรณี CE ศืด ผึ่งพวงที่ป้อนสารตัวอย่างโดยครึ่ง 50% (ละลายน้ำเกลือ) มีสเปค์ Nosema 80,000 สปอร์ และให้ความชาร์จ pollen mix เตรียม pollen 60 ก้อน ผสมกับสารตัวอย่างโดยครึ่ง 50% (ละลายนีอิโซโซดาอลูมิโนเซอร์ 17 วินิลลิสติก)

กรณี	จำนวนสเปค์ต่อตัวผึ่ง ($\times 10^6$ สปอร์/ตัว)									
	1	2	3	4	5	6	7	8	9	10
CE1	5.200	1.750	9.420	2.710	2.28	5.705	0.042	0.395	0.340	3.745
	11	12	13	14	15	16	17	18	19	20
	0.185	2.075	0.145	0.087	1.395	1.930	3.378	4.310	0.125	0.112
	21	22	23	24	25	26	27	28	29	30
	0.650	5.585	0.340	2.420	2.340	0.580	0.520	1.620	3.655	5.700
	31	32	33	34	35	36	37	38	39	40
	2.450	7.105	0.595	20.325	6.485	7.550	4.425	0.660	2.090	0.825
	41	42	43	44	45	46	47	48	49	50
	1.735	5.450	2.865	0.450	0.895	3.000	0.610	8.515	13.025	3.340
	1	2	3	4	5	6	7	8	9	10
CE1	0.330	0.190	0.057	0.015	0.120	0.225	0.028	0.054	0.285	0.515
	11	12	13	14	15	16	17	18	19	20
	7.014	0.010	0.025	13.085	0.285	0.545	0	0.045	0.052	2.013
	21	22	23	24	25	26	27	28	29	30
	0.353	0	0.254	3.212	0.254	0.172	1.630	5.360	0.585	0.859
	31	32	33	34	35	36	37	38	39	40
	0.129	0.029	7.52	4.280	4.875	5.430	2.425	9.825	3.495	0.750
	41	42	43	44	45	46	47	48	49	50
	9.280	5.635	10.068	0.073	2.670	4.175	2.106	1.125	3.068	1.237

ตรางาที่ 4.10 กสรุม OP គេ ដែលធ្វើឡើងនាសារតាមពិរកស 50% (លាចាយឈើមាកស្តែង) និងសម្រួល Nosema 80,000 សបកស ឡានាហារទីនេះ pollen mix ត្រីម pollen
60 กរូម ធម្មកំបែសារតាមពិរកស 50% (លាចាយឈើមាកស្តែង) ប្រើបានឈើមាកស្តែង ប្រើបានឈើមាកស្តែង មិនតាមទីរ

ករូម	ចំណាំសបកស្តែងទីតាំង ($\times 10^6$ សបកស្តែង/តុវា)									
	1	2	3	4	5	6	7	8	9	10
OP1	0.035	0.045	0.048	0.008	0.0014	0.154	0.34	0.360	0.074	3.50
	11	12	13	14	15	16	17	18	19	20
	0.240	0.375	0.170	0.0420	0.060	0.375	0.125	7.715	6.385	3.615
	21	22	23	24	25	26	27	28	29	30
	7.350	9.315	0.110	0.958	0.158	0.201	8.720	0.280	4.330	10.835
	31	32	33	34	35	36	37	38	39	40
	8.665	1.740	11.940	9.165	47.700	0.68	0.085	4.355	0.0763	0.053
	41	42	43	44	45	46	47	48	49	50
	2.400	0.920	5.190	6.305	6.365	4.540	5.150	3.600	1.855	2.3850
	1	2	3	4	5	6	7	8	9	10
OP2	0.036	0.028	0.500	0.475	0.315	0.380	0.265	9.500	0.240	0.500
	11	12	13	14	15	16	17	18	19	20
	6.015	4.027	0.200	3.85	0.025	5.195	10.66	7.665	2.950	7.925
	21	22	23	24	25	26	27	28	29	30
	0.223	0.437	5.270	1.135	3.250	1.375	20.360	5.060	0.032	1.930
	31	32	33	34	35	36	37	38	39	40
	1.400	1.070	3.315	4.445	2.395	0.680	2.995	0.054	0.078	0.121
	41	42	43	44	45	46	47	48	49	50
	0.220	0.0720	0.350	0.065	0.525	0.578	0.0250	0.338	0.128	0.876
	1	2	3	4	5	6	7	8	9	10

ตารางที่ 4.11 กะนัม 50P ต่อ ผึ้งพวงที่ป้อนสารละลายน้ำ 50% (ละลายน้ำกลัน) รีสปอร์ Nozema 80,000 สปอร์ และให้ค่าหาต่อ pollen mix เตรียม pollen

60 กะนัม ผสมกับสารละลายน้ำ 50% (ละลายน้ำพอกิ้น 50%) ปริมาณ 17 มิลลิลิตร

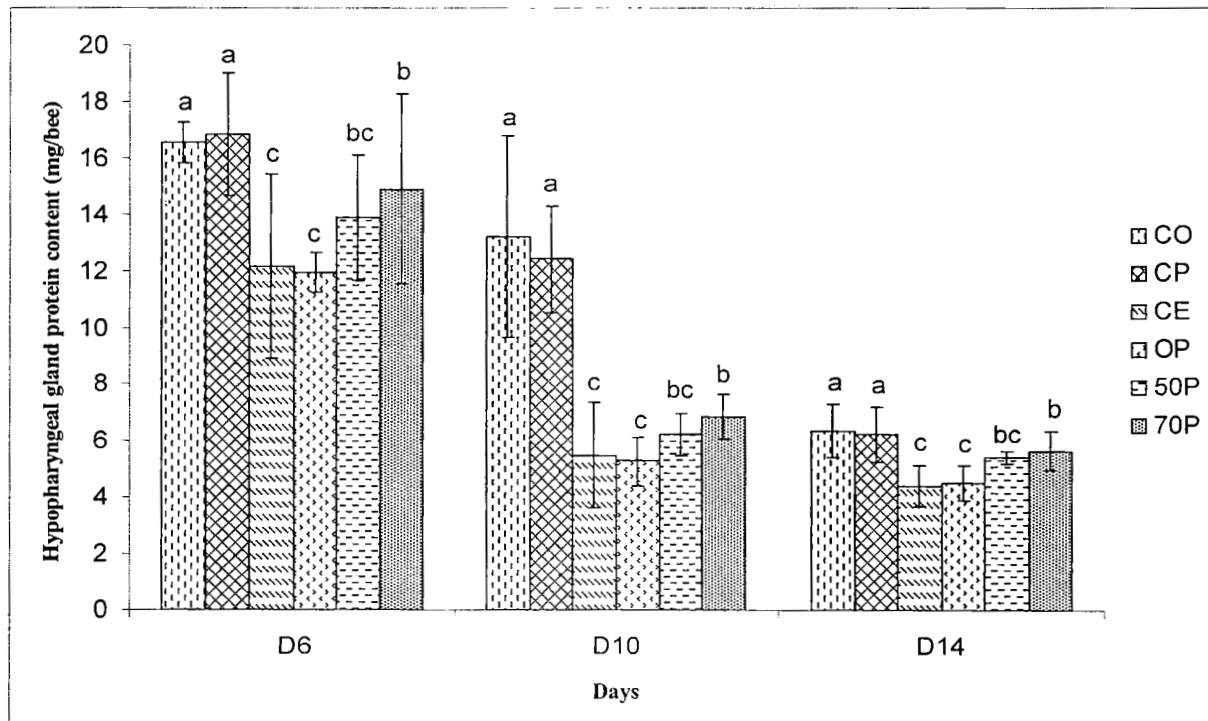
กะนัม	จำนวนสปอร์ต่อตัว ($\times 10^6$ สปอร์/ตัว)									
	1	2	3	4	5	6	7	8	9	10
50P1	0	0.036	0.015	0.045	0.200	0.120	1.995	5.335	3.855	1.855
	11	12	13	14	15	16	17	18	19	20
	0.530	3.940	2.160	2.865	0.020	4.055	3.050	1.505	0.890	0.380
	21	22	23	24	25	26	27	28	29	30
	1.095	3.390	6.985	2.205	2.015	0.035	0.062	0.018	1.415	1.630
	31	32	33	34	35	36	37	38	39	40
	5.360	0.585	9.030	8.115	1.360	9.060	0	0	6.320	5.290
	41	42	43	44	45	46	47	48	49	50
	1.160	2.345	0	0.025	3.920	4.945	9.455	0	0.048	0
	1	2	3	4	5	6	7	8	9	10
50P2	0	0.028	0.027	5.275	5.365	0	2.130	6.900	4.950	1.155
	11	12	13	14	15	16	17	18	19	20
	2.515	6.460	2.595	1.135	9.885	1.635	1.310	13.370	0	0
	21	22	23	24	25	26	27	28	29	30
	0.970	0	0.0325	2.775	0	0.035	6.062	0.018	0.048	0.225
	31	32	33	34	35	36	37	38	39	40
	2.980	0.048	0.225	0.450	0.0250	0.067	0.0250	0.013	0	6.028
	41	42	43	44	45	46	47	48	49	50
	0	0.275	0.560	0.869	2.345	6.820	0	0	5.126	0.047

ตารางที่ 4.12 กษน์ม 70P ดีอู ผึ่งพวงที่ป้ายตราลวดลายญี่โตรส 50% (ฉะล้ายในน้ำกลั่น) เมล็ด Nozema 80,000 สปอร์ และเมล็ด mix pollen เตรียม pollen
60 กกร. ผสานกับสารตัวอย่าง 50% (ฉะล้ายในพวยพอดีส 70%) ปริมาณ 17 มลลิลิตร

กษน์ม	จำนวนเมล็ดต่อตัว ($\times 10^6$ สปอร์/ตัว)									
	1	2	3	4	5	6	7	8	9	10
70P1	0.150	1.035	0.045	0.890	4.300	3.730	0	0	0.225	0
[1]	12	13	14	15	16	17	18	19	20	20
0.109	0.325	1.305	4.280	0	0.123	1.910	1.320	1.0175	0.020	
[2]	22	23	24	25	26	27	28	29	30	
0	0.020	0	0.222	0	0.462	0.075	0.525	0.615	0.240	
[3]	32	33	34	35	36	37	38	39	40	
0.360	0.055	0.840	1.055	0	0.975	0	0	2.115	0.225	
[4]	42	43	44	45	46	47	48	49	50	
1.56	0.026	0	0	0.59	0.108	0.130	0.027	0.212	0.730	
[5]	1	2	3	4	5	6	7	8	9	10
70P1	3.155	2.285	0.485	5.545	0.560	0.340	0.695	2.505	0.835	2.425
[6]	12	13	14	15	16	17	18	19	20	
5.790	1.815	0.610	6.515	1.185	4.310	0.0625	5.230	0.470	0	
[7]	22	23	24	25	26	27	28	29	30	
0	0	0.294	0.540	0.085	0.814	0.220	1.08	0.375	0.130	
[8]	32	33	34	35	36	37	38	39	40	
0	1.175	0	0.975	0	0	2.15	12.00	0.30	0.21	
[9]	42	43	44	45	46	47	48	49	50	
0.517	0.342	0.016	0	0	2.257	0.017	0.43	0.28	0.475	

4.2.4 โปรตีนจากต่อมไฮโปฟาริงค์ของผึ้งโพรง (Protein contents of hypopharyngeal glands of *A. cerana*)

การศึกษาปริมาณโปรตีนจากต่อมไฮโปฟาริงค์ของผึ้งโพรงในวันที่ 6 10 และ 14 หลังจากผึ้งติดเชื้อ พบร่วมกับปริมาณโปรตีนของทุกกลุ่มการทดลอง มีค่าเฉลี่ยสูงสุดในวันที่ 6 และลดลงเมื่อจำนวนวันเพิ่มขึ้น เมื่อวิเคราะห์ทางสถิติพบว่าปริมาณโปรตีนรวมของทุกกลุ่มการทดลอง มีปริมาณสูงกว่าและแตกต่างกันอย่างมีนัยสำคัญทางสถิติเมื่อเทียบกับวันที่ 10 และ 14 ($F_2=117.54$, $P<0.0001$) และเมื่อแยกวิเคราะห์ปริมาณโปรตีนที่พบในแต่ละกลุ่มการทดลองพบว่าในกลุ่มควบคุม CO และ CP มีปริมาณโปรตีนสูงกว่ากลุ่มอื่นๆ แต่ทั้งสองกลุ่มนี้ไม่มีความแตกต่างกันโดยปริมาณโปรตีนเฉลี่ยของต่อมไฮโปฟาริงค์ของ CO มีดังนี้ คือวันที่ 6 มีค่าเฉลี่ย 16.54 ± 0.72 มิลลิกรัม/ตัว วันที่ 10 มีค่าเฉลี่ย 13.21 ± 3.55 มิลลิกรัม/ตัว และวันที่ 14 มีค่าเฉลี่ย 6.34 ± 0.94 มิลลิกรัม/ตัว กลุ่ม CP มีค่าเฉลี่ยในวันที่ 6 16.84 ± 2.117 มิลลิกรัม/ตัว วันที่ 10 มีค่าเฉลี่ย 12.41 ± 1.87 มิลลิกรัม/ตัว และวันที่ 14 มีค่าเฉลี่ย 6.23 ± 0.98 มิลลิกรัม/ตัว ส่วนในกลุ่มผึ้งที่ได้รับสารพารอพอลิสคีอิกลุ่ม 50P และ 70P มีปริมาณโปรตีนรองลงมาจากการกลุ่มควบคุมและสูงกว่ากลุ่ม CE และ OP โดยแต่ละกลุ่มมีปริมาณโปรตีนเฉลี่ยดังนี้คือ กลุ่ม 50P มีค่าเฉลี่ยในวันที่ 6 13.89 ± 2.23 มิลลิกรัม/ตัว วันที่ 10 มีค่าเฉลี่ย 6.23 ± 0.75 มิลลิกรัม/ตัว และวันที่ 14 มีค่าเฉลี่ย 5.44 ± 0.24 มิลลิกรัม/ตัว กลุ่ม 70P มีค่าเฉลี่ยในวันที่ 6 14.9 ± 3.38 มิลลิกรัม/ตัว วันที่ 10 มีค่าเฉลี่ย 6.88 ± 0.79 มิลลิกรัม/ตัว และวันที่ 14 มีค่าเฉลี่ย 5.64 ± 0.69 มิลลิกรัม/ตัว กลุ่ม CE มีค่าเฉลี่ยในวันที่ 6 12.15 ± 3.26 มิลลิกรัม/ตัว วันที่ 10 มีค่าเฉลี่ย 5.47 ± 1.89 มิลลิกรัม/ตัว และวันที่ 14 มีค่าเฉลี่ย 4.4 ± 0.75 มิลลิกรัม/ตัว และกลุ่มสุดท้ายกลุ่ม OP มีค่าเฉลี่ยในวันที่ 6 11.94 ± 0.68 มิลลิกรัม/ตัว วันที่ 10 มีค่าเฉลี่ย 5.28 ± 0.87 มิลลิกรัม/ตัว และวันที่ 14 มีค่าเฉลี่ย 4.51 ± 0.24 มิลลิกรัม/ตัว ($F_5=12.64$, $P<0.0001$) ดังแสดงในรูปที่ 4.25



รูปที่ 4.25 ค่าเฉลี่ยความเข้มข้นโปรตีน (มิลลิกรัมต่อตัว) จากต่อมไฮโพฟาริงค์ของผึ้งพวงในวันที่ 6 10 และ 14 หลังจากทำการป้อนสปอร์ของเชื้อโนซีมาที่สกัดมาจากผึ้งพวง (*A. cerana*) ด้วยความเข้มข้นของสปอร์ 80,000 สปอร์ต่อตัว และให้สารละลายพรอพอลิสที่ระดับความเข้มข้นต่างๆ คือ ความเข้มข้น 0% (OP) ความเข้มข้น 50% (50P) และความเข้มข้น 70% (70P) และกลุ่มควบคุมที่ไม่ได้ให้สารละลายพรอพอลิส 2 กลุ่ม คือ control (CO) and control ethanol (CE) และกลุ่มที่ให้สารละลายพรอพอลิสแต่ไม่ได้เชื้อคือกลุ่ม CP (ANOVA- Duncan's multiple range test, $F_5=12.64$, $P<0.0001$)

บทที่ 5

สรุปและอภิปรายผลการศึกษา

Conclusions and Discussion

5.1 ผลของโนเซมาที่มีต่อผึ้งมี้ม (Effect of Nosema on dwarf honeybees, *Apis florea*)

เชื้อ *N. ceranae* ที่แยกออกจากผึ้งงานของผึ้งพวงและผึ้งมี้ม ที่ติดเชื้ออย่างหนัก หลังจากนั้นทำให้ติดเชื้อในผึ้งมี้มในจำนวนสปอร์ต่างกันโดยความรุนแรงขึ้นอยู่กับจำนวนสปอร์ที่ได้รับ ผลต่อการผลิตโปรตีนของต่อมไฮโปฟาริงค์ ทำให้ผลิตโปรตีนลดลง นอกจากนี้ยังทำให้เพิ่มอัตราการตาย การติดเชื้อ ร้อยละของเซลล์ติดเชื้อ โดยทำให้โครงสร้างภายในเซลล์เสียหายอย่างหนัก ออร์แกเนลล์ต่าง ๆ ได้รับความเสียหาย และถูกทำลาย และเมื่อให้พรอพอลิสที่สกัดจากชันโน่พบว่าการติดเชื้อและความรุนแรงของการติดเชื้อลดลง โดยที่ความเข้มข้นของพรอพอลิสมากทำให้อัตราการรอดชีวิตเพิ่มขึ้น การผลิตโปรตีนของต่อมไฮโปฟาริงค์เพิ่มขึ้น ดังตาราง 5.1

ตารางที่ 5.1 ผลของ *N. ceranae* ต่อผึ้งมี้ม *A. florea* ระหว่างผึ้งงาน

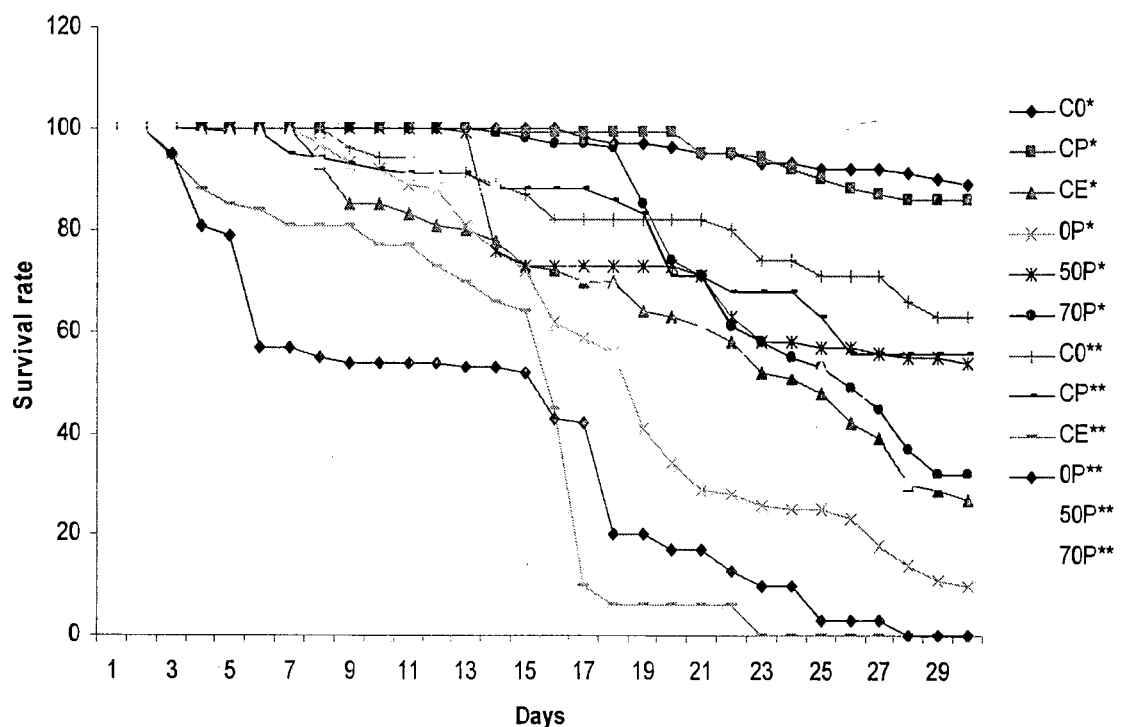
กลุ่มทดลอง*	ผลของ <i>N. ceranae</i> ที่มีต่อผึ้งงานของผึ้งมี้ม			
	อัตราการติดเชื้อค่าเฉลี่ย ± SD (%)	ติดเชื้อต่อตัวค่าเฉลี่ย ± SD (million)	ร้อยละการติดเชื้อในเซลล์วันที่ 14 หลังการติดเชื้อ ค่าเฉลี่ย ± SD (%)	โปรตีนที่วัดได้จากต่อม HPGs (mg/bee) วันที่ 14 หลังการติดเชื้อ
CO	0	0	0	14.86 ± 3.35
CP	0	0	0	0.77 ± 0.36
CE	80 ± 2.82	0.631 ± 0.028	67.23 ± 13.68	9.88 ± 2.61
OP	100	3.896 ± 1.403	71.53 ± 1.6	1.81 ± 1.16
50P	23 ± 24.04	0.265 ± 0.363	16.40 ± 0.98	6.15 ± 1.27
70P	28 ± 22.63	0.394 ± 0.163	14.73 ± 0.62	5.68 ± 0.76

5.2 ผลของโนเซมาที่มีต่อผึ้งพวง (Effect of Nosema on Asiatic honeybees, *Apis cerana*)

N. ceranae ที่แยกออกจากผึ้งงานของผึ้งมี้มที่ติดเชื้ออย่างหนัก สรุปต่อการผลิตโปรตีนที่ได้จากการต่อมไฮโปฟาริงค์ของผึ้ง *A. cerana* เช่นเดียวกับผลกระทบต่อผึ้งมี้ม *A. florea* และยังพบว่าอัตราการตาย การติดเชื้อ ร้อยละของเซลล์ที่ติดเชื้อ มีแนวโน้มไปในทิศทางเดียวกับผึ้ง *A. florea* ด้วยเช่นกัน ดังตารางที่ 5.2

ตารางที่ 5.2 ผลของ *N. ceranae* ต่อผึ้งพวง *A. cerana* วรรณะผึ้งงาน

กลุ่มทดลอง	ผลของ <i>N. ceranae</i> ที่มีต่อผึ้งงานของผึ้งพวง				
	ขัตตราการติดเชื้อค่าเฉลี่ย \pm SD (%)	ติดเชื้อต่อตัวค่าเฉลี่ย \pm SD (million)	โปรตีนที่วัดได้จากต่อม HPGs (mg/bee) หลังการติดเชื้อ		
			วันที่ 6	วันที่ 10	วันที่ 14
CO	0	0	16.54 \pm 0.72	13.21 \pm 3.55	6.34 \pm 0.94
CP	0	0	16.84 \pm 2.117	12.41 \pm 1.87	6.23 \pm 0.98
CE	98 \pm 2.82	2.77 \pm 0.64	12.15 \pm 3.26	5.47 \pm 1.89	4.4 \pm 0.75
OP	100	3.08 \pm 0.98	11.94 \pm 0.68	5.28 \pm 0.87	4.51 \pm 0.24
50P	84 \pm 5.65	2.19 \pm 0.26	13.89 \pm 2.23	6.23 \pm 0.75	5.44 \pm 0.24
70P	79 \pm 4.24	1.1086 \pm 0.405	14.9 \pm 3.38	6.88 \pm 0.79	5.64 \pm 0.69



รูปที่ 5.1 แสดงอัตราการรอดชีวิตผึ้งมิมและผึ้งพวง หลังจากทำการป้อนสปอร์ของเชื้อโนร์มาที่สกัดมาจากผึ้งพวง (*A. cerana*) ด้วยความเข้มข้นของสปอร์ 80,000 สปอร์ต่อตัว

อักษรย่อ:

* คือผึ้งมี้ม

** คือ ผึ้งโพรง

กลุ่ม CO คือ ผึ้งที่ป้อนสารละลายน้ำซูโครส 50% (ละลายในน้ำกลั่น) และให้อาหารคือ pollen mix เตรียม pollen 60 กรัม ผสมกับสารละลายน้ำซูโครส 50% (ละลายในน้ำกลั่น) ปริมาตร 17 มิลลิลิตร

กลุ่ม CP คือ ผึ้งที่ป้อนสารละลายน้ำซูโครส 50% (ละลายในน้ำกลั่น) และให้อาหารคือ pollen mix เตรียม pollen 60 กรัม ผสมกับสารละลายน้ำซูโครส 50% (ละลายในพลดอพอลิส 70%) ปริมาตร 17 มิลลิลิตร

กลุ่ม CE คือ ผึ้งที่ป้อนสารละลายน้ำซูโครส 50% (ละลายในน้ำกลั่น) มีสปอร์ Nosema 80,000 สปอร์ และให้อาหารคือ pollen mix เตรียม pollen 60 กรัม ผสมกับสารละลายน้ำซูโครส 50% (ละลายใน ethanol) ปริมาตร 17 มิลลิลิตร

กลุ่ม OP คือ ผึ้งที่ป้อนสารละลายน้ำซูโครส 50% (ละลายในน้ำกลั่น) มีสปอร์ Nosema 80,000 สปอร์ และให้อาหารคือ pollen mix เตรียม pollen 60 กรัม ผสมกับสารละลายน้ำซูโครส 50% (ละลายในน้ำกลั่น) ปริมาตร 17 มิลลิลิตร

กลุ่ม 50P คือ ผึ้งที่ป้อนสารละลายน้ำซูโครส 50% (ละลายในน้ำกลั่น) มีสปอร์ Nosema 80,000 สปอร์ และให้อาหารคือ pollen mix เตรียม pollen 60 กรัม ผสมกับสารละลายน้ำซูโครส 50% (ละลายในพลดอพอลิส 50%) ปริมาตร 17 มิลลิลิตร

กลุ่ม 70P คือ ผึ้งที่ป้อนสารละลายน้ำซูโครส 50% (ละลายในน้ำกลั่น) มีสปอร์ Nosema 80,000 สปอร์ และให้อาหารคือ pollen mix เตรียม pollen 60 กรัม ผสมกับสารละลายน้ำซูโครส 50% (ละลายในพลดอพอลิส 70%) ปริมาตร 17 มิลลิลิตร

เมื่อเปรียบเทียบอัตราการติดเชื้อเมื่อผึ้งทั้งสองชนิดนี้ได้รับเชื้อในปริมาณเท่ากันพบว่า ผึ้งมี้มมีอัตราการติดเชื้อต่ำกว่าผึ้งโพรง นอกจากนี้ทำให้การผลิตโปรตีนของต่อมไฮโปฟาริงค์ลดลงในผึ้งทั้งสองชนิดสารสกัดจากพรอพอลิสจากชันโรง (stingless bee, *T. Apicalis*) จังหวัดจันทบุรีสามารถยับยั้งหรือลดการติดเชื้อได้ในผึ้งทั้งสองชนิด แต่สามารถยับยั้งเชื้อโนร์มาในผึ้งมี้มได้มากกว่าในผึ้งโพรงและจากรูปที่ 5.1 ในกลุ่มที่ให้พรอพอลิสมีอัตราการรอดชีวิตสูงกว่าในกลุ่มที่ไม่ให้พรอพอลิสทั้งในผึ้งโพรงและผึ้งมี้ม

ເອກສາරົ່ວງອີງ (References)

- Anderson, D. L. and Giacon, H. 1992. Reduced pollen collection by honey bee (Hymenoptera: Apidae) colonies infected with *Nosema apis* and sacbrood virus. *Journal of Economic Entomology* 85(1): 47-51
- Bailey, L. 1955. The infection of the ventriculus of the adult honeybee by *Nosema apis* (Zander). *Parasitology* 45: 86-94
- Bailey, L. 1955. The epidemiology and control of *Nosema* disease of the honeybee. *Annals of Applied Biology* 43: 379-389.
- Bailey, L. and Ball, B. V. 1991. *Honey Bee Pathology*. Academic Press, London.
- Balerrama, N. , Nunze, J. , Giurfa, M. , Torreaba, J. , Alboznoz, G. M. and Almeida, O. L. 1996. A deterrent response in honeybee (*Apis mellifera*) foragers: dependence on disturbance and season. *Journal of Insect Physiology* 42: 463-470.
- Bankova , V., De Castro, S. L. & Marcucci, M. C. 2000. Propolis: recent advances in chemistry and plant origin. *Apidologie* 31, 3–15.
- Blum, M. S. , Fales, H. , Tucker, K. W. and Collins, A. M. F. 1978. Chemistry of sting apparatus of worker honeybee. *Journal of Apicultural Research* 17: 218-221.
- Boch, R. and Shearer, D. A. 1962. Identification of geraniol as the active compound in the Nasonoff pheromone of the honeybee. *Nature* 194: 704- 706.
- Boch, R. and Shearer, D. A. 1971. Chemical releaser of alarm behavior in the honeybee *Apis mellifera*. *Journal of Insect Physiology* 17: 2277-2285.
- Bradford, M. M. 1976. A rapid and sensitive for the quantitation of microgram quantities of protein utilizing the principle of protein-dye binding. *Analytical Biochemistry* 72: 248-254
- Brand, J. M. and Mpuru, S. P. 1993. Dufour's gland and poison gland chemistry of the myrmicine ant, *Messor capensis* (Mayr.). *Journal of Chemical Ecology* 19(7): 1315-1321.
- Brouwers, E. V. M. 1982. Measurement of hypopharyngeal glands activity in the honeybee. *Journal of Apicultural research* 21(4): 193-198.
- Butler, C. G. 1940. The age of the bees in a swarm. *Bee World* 21: 9-10.
- Buyse, B. 1972. *Nosema* in brood. *South African Bee Journal* 44: 2-4.
- Cantwell, G. E. 1970. Standard methods for counting *Nosema* spores. *American Bee Journal* 110: 222-223.

- Cantwell, G. E. and Shimanuki, H. 1970. The use of heat to control *Nosema* and increase production for the commercial beekeeper. *American Bee Journal* 110: 263-265.
- Castaldo, S. and Capasso, F. 2002. Propolis, an old remedy used in modern medicine. *Fitoterapia*, 73 (1), S1-S6.
- Chauzat, M. P., Higes, M., Hernander, R. M., Meana, A., Cougoule, N. and Faucon, J. P. 2007. Presence of *Nosema ceranae* in French honey bee colonies. *Journal of Apicultural Research* 46(2), 127-128
- Chen, Y., Evans, J. D., Smith, I. B. and Pettis, J.S. .2008. *Nosema ceranae* is a long- present and wide-spread microsporidian infection of the European honey bee (*Apis mellifera*) in the United States. *Journal of Invertebrate Pathology* 97: 186-188.
- Chen, Y., Evans, J. D., Zhou, L., Boncristiani, H., Kimura, K., Xiao, T., Litkowski, A. M. and Pettis, J. S. 2009. Asymmetrical coexistence of *Nosema ceranae* and *Nosema apis* in honey bees. *Journal of Invertebrate Pathology* 101, 204-209.
- Chioveanu, G., Ionescu, D. and Mardare, A. 2004. Control of nosemosis- the treatment with "Protofil". *Apicta* 39, 31-81.
- Clark, T. B. 1980. A second misrosporidian in the honeybee. *Journal of Invertebrate Pathology*. 35: 290-294.
- Czekonska, K. 2000. The influence of *Nosema apis* on young honeybee queens and transmission of the disease from queens to workers. *Apidologie* 31: 701-706.
- Czekonska, K. 2007. Influence of carbon dioxide on *Nosema apis* infection of honeybees (*Apis mellifera*). *Journal of Invertebrate Pathology* 95: 84-86.
- De Graaf, D.C., Masschelein, G., Vandergeynst, F., De Brabander, H.F. and Jacobs F.J. 1993. In vitrogermination of *Nosema apis* (Microsporidia:Nosematidae) spores and its effect on their $\alpha\alpha$ -trehalose/D-glucose ratio. *Journal of Invertebrate Pathology* 62: 220-225.
- De Graaf, D. C., Raes, H., Sabbe, G., De Rycke, P.H. and Jacobs F.J. 1994. Early development of *Nosema apis* (Microspora: Nosematidae) in the midgut epithelium of the honeybee (*Apis mellifera*). *Journal of Invertebrate Pathology* 63: 74-81.
- Doull, K. 1961. *Nosema* disease. *The Australasian Beekeeper* 62: 228-235.
- Ellis, J. D., Munn, P. A. 2005. The worldwide health status of honey bees. *Bee World* 86:88-101.

- Engels, W., Rosenkranz, P., Adler, A., Taghizadeh, T., Lubke, G. and Francke, W. 1997. Mandibular gland volatile and their ontogenetic pattern in queen honeybees, *Apis mellifera carnica*. *Journal of Insect Physiology* 43: 307-313.
- Farrar, C. L. (1947) Nosema losses in package bees as related to queen supersedure and honey yields, *Journal of Economic Entomology* 40: 333-338.
- Fries, I., Ekbohm, G. and Villumstead, E. 1983. *Nosema apis*, sampling techniques and honey yield. *Journal of Apicultural Research* 23(2): 102-105
- Fries, I. 1989. Comb replacement and *Nosema* disease (*Nosema apis* Z.) in honey bee colonies. *Apidologie* 19: 343-354.
- Fries, I., Feng, F., Dasilva, A., Slemenda, S.B. and Pieniazek, N.J. 1996. *Nosema ceranae* (microspora, Nosematidae) morphological and molecular characterization of a Microsporidian parasite of the Asian honey bee *Apis cerana* (Hymenoptera, Apidae). *European Journal Protistology* 32, 356-365.
- Fries, I. (1997) Infectivity and multiplication of *Nosema apis* Z. in the ventriculus of the honey bee. *Apidologie* 19: 319-328
- Fries, I., Martin, R., Meana, A., Garcia-Palencia, P. and Higes, M. 2006. Natural infections of *Nosema ceranae* in European honey bees. *Journal Apicultural Research* 45: 230-233
- Furi, P., Wille, H., Gerig, L. and Luscher, M. 1982. Change in weight of pharyngeal glands and haemolymph titres of juvenile hormone, proteins and vitellogenin in worker honeybees. *Journal of Insect Physiology* 14: 39-59.
- Gatehouse, H. S. and Malone, L. A. 1998. The ribosomal RNA gene region of *Nosema apis* (Microspora) : DNA sequence for small and large subunit rRNA genes and evidence of a large tandem repeat unit size. *Journal of Invertebrate Pathology* 71: 92-105
- Gary, N. E. 1992. Activities and behavior of honey bee, *The Hive and The Honey Bee*. Dadant & Sons, Michigan; pp. 269-361.
- Goodwin, M., Ten Houten, A., Perry, J. and Blackmann, R. 1990. Cost benefit analysis of using fumagillin to treat *Nosema*. *N. Z. Beekeeper* 208: 11-12.
- Goodman, G. 2007. Nosema disease in honey bee. Agriculture notes;<http://www.dpi.vic.gov.au>.
- Graham, J. M. (1992) *The Hive and the Honey Bee*. Dadant & Sons, Michigan; 1324 pp.

- Gray, F.H., Cali, A. and Briggs, J. D. 1969. Intracellular stages in the life cycle of the Microsporidian *Nosema apis*. *Journal of Invertebrate Pathology* 14: 391–394
- Hartwig, A. and Przelecka, A. 1971. Nucleic acids in the intestine of *Apis mellifera* infected with *Nosema apis* and treated with fumagillin DCH; cytochemical and autoradiographic studies. *Journal of Invertebrate Pathology* 18: 331-336
- Hassanein, M. H. (1951) The influence of *Nosema apis* on the larval honeybee. *Annual Applied Biology* 38: 844-846
- Hassanein, M. H. 1953. The influence of infection with *Nosema apis* on the activities and longevity of the worker honeybee. *Annual Applied Biology* 40:418–423
- Higes, M., Martin, R. and Meana, A. 2006. *Nosema ceranae*, a new microsporidian parasite in honeybees in Europe. *Journal of Invertebrate Pathology* 92(2): 93-95
- Higes, M., Palencia, P. G., Hernandez, R. M. and Meana, A. 2007. Experimental infection of *Apis mellifera* honey bee with *Nosema ceranae* (Microsporidia). *Journal of Invertebrate Pathology* 94: 211-217
- Higes, M., Hernandez, R. M., Bailon, E. G., Palencia, P. G. and Meana, A. 2007. Detection of infective *Nosema ceranae* (Microsporidia) spores in corbicular pollen of forager honey bees. *Journal of Invertebrate Pathology* 97: 76-78
- Hornitzky, M. 2005. Nosema Disease in Honeybees. <http://www.rirdc.gov.au/reports/HBE/05-055.pdf>
- Huang, W. F., Jiang, J.H. and Wang, C.H. 2005. *Nosema ceranae* infection in *Apis mellifera*. 38th Annual Meeting of Society for Invertebrate Pathology. Anchorage, Alaska.
- Huang, W. F., Bocquet, M., Lee, K. C., Sung, I. H., Jiang, J. H., Chen, Y.W. and Wang, C. H. 2007. The comparison of rDNA spacer region of *Nosema ceranae* isolates from different hosts and locations. *Journal of Invertebrate Pathology* 97: 9-13
- Huang, Z. Y. and Otis, G. W. 1989. Factor determining hypopharyngeal glands activity of worker honeybees. *Journal of Insect physiology* 14: 39-59.
- Invernizzi, C., Abud, C., Tomasco, I. H., Harriet, J., Ramallo, G., Camp, J., Katz, H. , Gardiol, G. and Mendoza, Y. 2009. Presence of *Nosema ceranae* in honeybees (*Apis mellifera*) in Uruguay. *Journal of Invertebrate Pathology* 101, 150-153.

- Kang, Y.B., Kim, D.S. and Jang, D. H. 1976. Experimental studies on the pathogenicity and developmental stages of *Nosema apis*. *Korean Journal of Veterinary Research* 16: 180-184.
- Karmo, E. and Morgenthaler, O. 1939. The development of *Nosema apis* at various temperatures. *Bee World* 20: 57-58.
- Katznelson, H. and Jamieson, C. A. 1952. Control of *Nosema* disease of honey bees with fumagillin. *Science* 115: 70-71.
- Kerr, W. E., Blum, M. S. Pisani, J. F. and Stort, A. C. (1974) Correlation between amounts of 2-heptanone and isopentyl acetate in honeybees and their aggressive behaviour. *Journal of Apicultural Research* 13: 173-176.
- Klee, J., Besana, A. M., Genersch, E., Gisder, S., Nanetti, A., Tam, D. Q., Chinh, T. X., Puerta, F., Ruz, J. M., Kryger, P., Message, D., Hatjina, F., Korpela, S., Fries, I. and Paxton, R. J. 2007. Widespread dispersal of the microsporidian *Nosema ceranae*, an emergent pathogen of the western honey bee, *Apis mellifera*. *Journal Invertebrate Pathology* 96: 1-10.
- Knecht, D. and Kaatz, H. H. 1990. Pattern of larval food production by hypopharyngeal glands in adult worker honey bees. *Apidologie* 21: 457-468.
- Koeniger, N. ; Weiss, J. and Maschwitz, U. 1979. Alarm pheromones of the sting in the genus *Apis*. *Journal of Insect Physiology* 25: 467-476.
- Kubo, T. , Sasaki, M. , Nakamura, J. , Sasagawa, H. , Ohashi, K. , Takeushi, H. and Natori, S. 1996. Change in the expression of hypopharyngeal gland proteins of the worker honeybees (*Apis mellifera* L.) with age and/or role. *Journal of Biochemistry* 119(2): 291-295.
- Klee, J., Tay, W. T. and Paxton, R. 2006. Specific and sensitive detection of *Nosema bombi* (Microsporidia: Nosematidae) in bumble bees (*Bombus* spp.; Hymenoptera: Apidae) by PCR of partial rRNA gene sequences. *Journal of Invertebrate Pathology* 91: 98-104.
- Liu, T. P. (1973) Effects of Fumidil B on the spore of *Nosema apis* and on lipids of the host cell as revealed by freeze-etching. *Journal of Invertebrate Pathology* 22: 364-368.
- Li, J., Feng, M., Zhang, Z. and Pan, Y. 2008. Identification of the proteome complement of hypopharyngeal glands from two strains of honeybees (*Apis mellifera*). *Apidologie* 39: 199-214.

- Malone, L. A., Giaccon, H. A. and Newton, M. R. 1995. Comparison of the responses of some New Zealand and Australian honey bees (*Apis mellifera* L) to *Nosema apis* Z. *Apidologie* 26: 495–502.
- Malone, L. A. and Gatehouse, H. S. 1998. Effects of *Nosema apis* infection on honey bee (*Apis mellifera*) digestive proteolytic enzyme activity. *Journal of Invertebrate Pathology* 71: 169–174.
- Malone, L. A. and Stefanovic, D. 1999. Comparison of the response of two races of honeybees to infection with *Nosema apis*. *Apidologie* 30, 375–382.
- Malone, L. A., Gatehouse, H. S. and Tregidga, E. L. 2001. Effects of time, temperature and honey on *Nosema apis* (Microsporidia: Nosematidae) a parasite of the honey bee *Apis mellifera* (Hymenoptera: Apidae). *Journal of Invertebrate Pathology* 77: 258-268.
- Martín-Hernández, R., Meana, A., Prieto, L., Martínez S. A., Garrido-Bailón, E. and Higes, M. 2007. Outcome of colonization of *Apis mellifera* by *Nosema ceranae*. *Applied and Environmental Microbiology* 73: 6331–6338
- Matheson, A. 1993. World bee health report. *Bee World* 74: 176–212.
- Matheson, A. 1996. World bee health update. *Bee World* 77: 45–51.
- Mattila, H. R. and Otis, G. W. 2006. Effects of pollen availability and *Nosema* infection during the spring on division of labour and survival of worker honey bees. *Environmental Entomology* 35(3): 708-717.
- Moritz, B. and Crailsheim, K. 1987. Physiology of protein digestion in the midgut of the honeybee (*Apis mellifera* L.). *Journal of Insect Physiology* 33(12): 923-931.
- Moffet, J. O., Lackett, J. J. and Hitchcock, J. D. 1969. Compounds tested for control of *Nosema* in honey bees. *Journal Economic Entomology* 62: 886–889
- Otani, H., Oyama, M. and Tokita, F. 1985. Polyacrylamide gel electrophoretic and immunochemical properties of proteins in royal jelly. *Japanese Journal Diary Food Science* 34: 21-25
- Otis, G. W. 1991. A Review of Diversity of Species Within *Apis*, *Diversity in the Genus Apis*. : Westview press, Boulder; pp. 29-49.
- Olsen, P.E., Rice, W.A. and Liu, T.P. 1986. In vitro germination of *Nosema apis* spores under conditions favorable for the generation and maintenance of sporoplasms. *Journal of Invertebrate Pathology* 47: 65–73.

- Park, O. W. 1949. Activities of honeybees, *The Hive and Honeybee*. Dadant & Sons, Hamilton; pp. 79-152.
- Paxton, R. J., Klee, J., Korpela, S. and Fries, I. 2007. *Nosema ceranae* has infection *Apis mellifera* in Europe since at least 1998 and may be more virulent than *Nosema apis*. *Apidologie* 38, 558-565
- Plettner, E., Slesser, K. N., Winston, M. L., Robinson, G. E. and Page, R. E. 1993. Mandibular gland component and ovarian development as measures of caste differentiation in the honeybee (*Apis mellifera*). *Journal of Insect Physiology* 39: 235-240.
- Reith, J. P., Winston, W. T. and Levin, M. D. 1986. Repellent honeybees from insecticides-treated flowers with 2-heptanone. *Journal of Apicultural Research* 25: 78-84.
- Rijk, P. D., Gatehouse, H. S. and Wachter, R. D. 1998. The secondary structure of *Nosema apis* large subunit ribosomal RNA. *Biochimica et Biophysica Acta* 1442: 326-328.
- Rinderer, T. E. and Elliott, K. D. 1977. Worker honey bee response to infection with *Nosema apis*: influence of diet. *Journal of Economic Entomology* 70: 431-433.
- Rinderer, T. E. and Sylvester, H. A. (1978) Variation in response to *Nosema apis*, longevity, and hoarding behavior in a free-mating population of the honey bee. *Annals of the Entomological Society of America* 71: 372-374.
- Rogers, R. E. L., Bishop, B. and MacKenzie, K. 2003. Detection of *Nosema* spores: preparation and examination of honey bee samples. *Hivelights* 16: 10-11
- Ruttner, F. 1988. *The Genus Apis, Biogeography & Taxonomy of Honeybees*. Springer-Verlag, Berlin; pp. 3-11.
- Saforcin, J. M. . 2007. Propolis and the immune system: a review. *Journal of Ethnopharmacology* 113, 1-14.
- Sagili, R. R., Pankiw, T. and Zhu-Salzman, K. 2005. Effects of soybean trypsin inhibitor on hypopharyngeal gland protein content, total midgut protease activity and survival of the honey bee (*Apis mellifera* L.). *Journal of Insect Physiology* 51: 953-957
- Seeley, T. D. (1985) *Honeybee Ecology*. Westview, New Jersey; 165 pp.
- Seely, T. D. 1985. Labour Specialization by Workers. *Honeybee Ecology*. Princeton, New Jersey; pp. 31-35.
- Simpson, J., Inge, B. M. and Wilding, N. 1968. Invertase in hypopharyngeal glands of the honeybee. *Journal of Apicultural Research* 7(1): 29-36.

- Singh, Y. (1975) Nosema in Indian honey bee (*Apis cerana indica*). *American Bee Journal* 115: 59
- Slamovits, C. H., Williams, B. A. P. and Keeling, P. J. 2004. Transfer of *Nosema locustae* (Microsporidia) to *Antonospora locustae* n. comb. Based on molecular and ultrastructural data. *Journal of Eukaryotic Microbiology* 51(2): 207-213.
- Sokot, R., Molska, D. and Siuda, M. 2007. The influence of the invasion of *Nosema apis* on the number of pollen seeds in bee's intestines. *Polish Journal of Natural Sciences* 22(1): 150-156.
- Stoscheck, C. M. 1990. Quantitation of Protein. *Methods in Enzymology* 182: 50-69.
- Suwannaong, G. 2000. *Ultrastructure and Pheromones of the Mandibular Glands of Honeybee Foragers in Thailand*. Ph.D Thesis, Chulalongkorn university. 177 pp
- Suwannapong, G. and Wongsiri, S. 2005. Pheromonal Activities of the Mandibular Gland Pheromones on Foraging Activity of Dwarf Honeybees. *Apimondia 39th Apimondia International Apicultural Congress*, Dublin, Ireland. pp. 89-90.
- Suwannapong, G., Seanbualuang, P. and Wongsiri, S. 2007. A histochemical study of the hypopharyngeal glands of the dwarf honey bees *Apis andreniformis* and *Apis florea*. *Journal of Apicultural Research* 46(4): 260-264.
- Stoscheck, C. M. 1990. Quantitation of Protein. *Methods in Enzymology* 182: 50-69
- Szabo, T. I. and Heikel, D. T. (1987) Effect of dry fumagillin feeding on spring *Nosema* spore counts in overwintered colonies. *American Bee Journal* 127: 210–211.
- Tengeo, J., Hefetz, A., Bertsch, A., Schmitt, U., Luebke, G. and Francke, W. 1991. Species specificity and complexity of Dufour's gland secretion of bumble bees. *Comparative Biochemical Physiology* 99(3): 641-646.
- Thibout, E. , Feary, S. and Auger, J. 1994. Natural and role of sexual pheromones emitted by male of *Acrolepis assectella* (Lep.). *Journal Chemical Ecology* 20(7): 1571-1582.
- Tomoda, G. , Matsuyama, J. and Matsuka, M. 1977. Studies on protein in royal jelly 2 fractionation of water-soluble protein by DEAE-cellulose chromatography, gel filtration and disc electrophoresis. *Journal of Apicultural Research* 16(3): 125-130.
- Vivarès, C. P. and Méténier, G. 2001. The microsporidian Encephalitozoon. *Bioessays* 23: 194-201.

- Witherell, P. C. 1979. Others products of the hive. In Dadant and Sons (eds) *The Hive and the Honeybee*. Dadant and Sons; Hamilton, Illinois; pp. 531-558.
- Wojciechowski, M. and Czekonska, K. 1999. The effect of temperature on *Nosema apis* Zander (Microsporida, Nosematidae) infection in honey bees (*Apis mellifera*). *Parasite* 6: 185–187.
- Yaghoubi, S. M. J., Ghorbani, G. R., Rahmani, H. R. and Nikkhah, A. 2007. Growth, weaning performance and blood indicators of humoral immunity in Holstein calves fed supplemental flavonoids. *Journal of Animal Physiology and Animal Nutrition* 92 (4): 456 – 462.
- Yoshida T. 1999. Bees and beekeeping in Asia. *Farming Japan* 33: 10-17.
- Zander, E. 1909. Tierische parasiten als Krankheitserreger bei der biene. *Leipziger Bienenz.eitung* 24: 147-150, 164-166.